



**appunti**  
www.centroappunti.it

Corso Luigi Einaudi, 55/B - Torino

**Appunti universitari**

**Tesi di laurea**

**Cartoleria e cancelleria**

**Stampa file e fotocopie**

**Print on demand**

**Rilegature**

NUMERO: 1320

ANNO: 2014

# APPUNTI

STUDENTE: Rossi C.

MATERIA: Fisica Nucleare con Applicaz. Biomediche +riassunti +temi + Eserc., Prof.Lavagno

ATTENZIONE QUESTI APPUNTI SONO FATTI DA STUDENTI, NON SONO STATI VISIONATI DAL DOCENTE.  
IL NOME DEL PROFESSORE, SERVE SOLO PER IDENTIFICARE IL CORSO.

# FISICA NUCLEARE CON APPLICAZIONI BIOMEDICHE

andrea.lavagno@polito.it

Il corso si suddivide in 3 PARTI, non completamente separate e distinte:

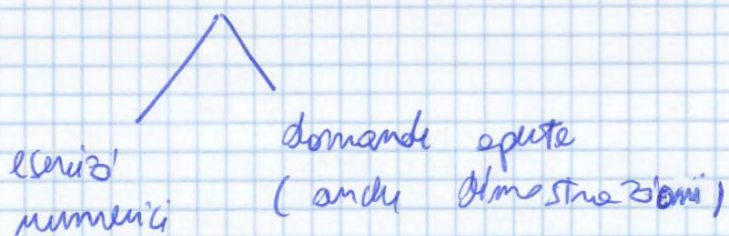
- 1) FISICA NUCLEARE DI BASE
- 2) RADIAZIONI, FUSIONE, FISSIONE NUCLEARE, PRINCIPI DELLE PARTICELLE ELEMENTARI, ACCELERATORI DI PARTICELLE
- 3) INTERAZIONE DELLA RADIAZIONE CON LA MATERIA, RIVELATORI, APPLICAZIONI (MEDICINA NUCLEARE)

## LIBRI

- KRANE (preferibile) → è il + completo, tratta la parte di fisica nucleare
- POWELL → tratta la parte di particelle elementari
- LILLEY → tratta la parte di applicazioni

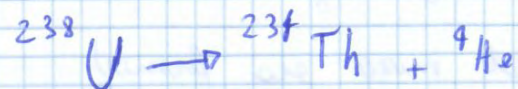
## ESAME

scritto + orale obbligatorio



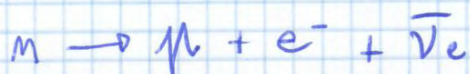
## ESEMPI DI DECADIMENTI

1) decadimento alpha



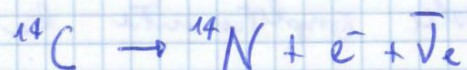
$$M_u - M_{Th} - M_{\alpha} > 0$$

2) decadimento del neutrone



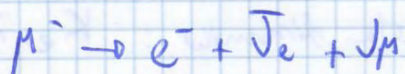
$$M_n - M_p - M_e - M_{\nu} > 0$$

3) decadimento del carbonio 14



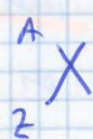
$$M_c - M_n - M_e - M_{\nu} > 0$$

4) decadimento del muone



$$M_{\mu} - M_e - M_{\nu_e} - M_{\mu} > 0$$

NUMERO ATOMICO = NUMERO DI MASSA

$A$   
 $Z$  

$X \rightarrow$  elemento

$A = N + Z \rightarrow$  n° di masse

$Z \rightarrow$  n° atomico

$N \rightarrow$  n° di neutroni

massa elettrone convertita in energia  $M_e C^2 = 0,5 \text{ MeV}$

ATTENZIONE

In tutti i decadimenti, le masse prima e dopo la reazione

non sono uguali: il bilancio di massa tra stato finale e iniziale è sempre positivo

Le trasformate di Galileo permettono di passare da un sistema all'altro.

Il tempo è sempre uguale per tutti, è invariante ad ogni sistema invariante.

$$\begin{cases} x' = x - vt \\ y' = y \\ z' = z \\ t' = t \end{cases}$$

TRASFORMATE DI GALILEO

$$\dot{x}' \xrightarrow{?} \dot{x}$$

$$\dot{x}' = \frac{dx'(t)}{dt} = \frac{dx(t)}{dt} ; \quad \dot{y}' = \frac{dy'(t)}{dt} ; \quad \dot{z}' = \frac{dz'(t)}{dt}$$

trasformate per le velocità:

$$\begin{cases} \dot{x}' = \dot{x} - v \\ \dot{y}' = \dot{y} \\ \dot{z}' = \dot{z} \end{cases}$$

L'istruzione è banale (ricordando  $t = t'$ )

$$\begin{cases} x = x' + vt' \\ y = y' \\ z = z' \end{cases}$$

$$\begin{cases} \dot{x} = \dot{x}' + v \\ \dot{y} = \dot{y}' \\ \dot{z} = \dot{z}' \end{cases}$$

Calcolando le velocità relative:

$$\begin{cases} \dot{x}' = \dot{x} \\ \dot{y}' = \dot{y} \\ \dot{z}' = \dot{z} \end{cases}$$

$$\boxed{\dot{x}' = \dot{x}}$$

(infatti si parla di sistemi immobili)

Quindi l'elettromagnetismo non è invariante rispetto a diversi sistemi di riferimento inerziali.

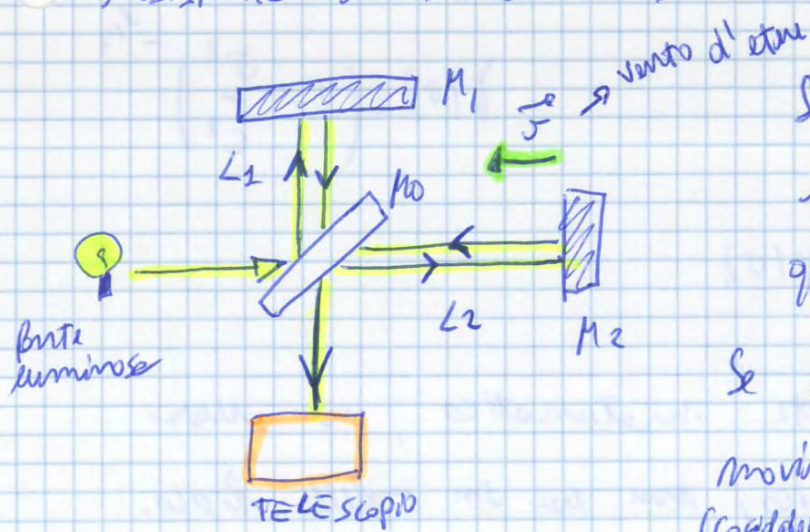
A fine 800, per risolvere questa contraddizione, si suppose che le onde elettromagnetiche fossero un fenomeno a parte, dato che le onde hanno bisogno di un mezzo per propagarsi.

Per poter si suppone che anche le luce si dovesse propagare in un mezzo: l'**eten** (si suppone la l'esistenza di questo mezzo).

L'eten dovrebbe essere solido con il movimento della Terra, trasportato dalla Terra con velocità relativa rispetto ad essa.

dal fenomeno di aberrazione (spostamento del telescopio per osservare le stelle) si capì che l'eten dovrebbe avere velocità relative.

Con l'esperimento di **Michelson - Morley (1887)** si volle scoprire l'esistenza o meno dell'eten.



Se  $L_1 + L_2$  sono grandi, l'onda fa lo stesso percorso, quindi non c'è interferenza.

Se esistesse un eten in movimento con velocità  $v$  (cosiddetto vento d'eten) modificherebbe il tempo di percorrenza di un solo percorso (tra  $L_1 + L_2$ ) e quindi ci produrrebbe ~~assorbozione~~ interferenza.

mentre le dimensioni Mentre mentre i segnali, i approssimate, vale solo in certi paesi regimi.

### PRINCIPI DELLA RELATIVITÀ

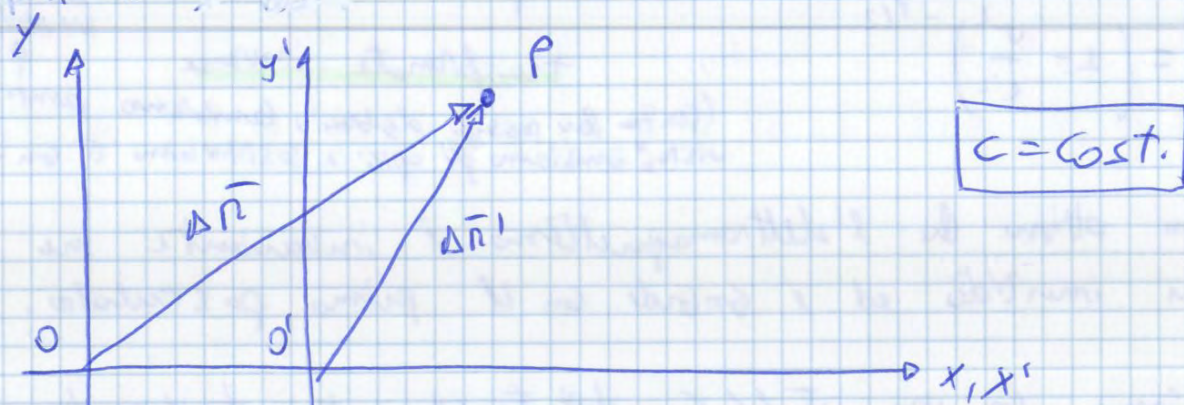
1) Tutte le leggi della fisica sono invarianti per tutti i sistemi di riferimento inerti.

Quindi l'etere non esiste, l'elettromagnetismo non è una eccezione, è invariante assoluto anche esso!

2) La velocità della luce nel vuoto ha lo stesso valore in tutti i sistemi di riferimento inerti, indipendentemente dalla velocità dell'osservatore e della sorgente che emette la luce.

Quindi  $c = \text{cost.}$  in qualsiasi sistema di riferimento inerito.

La seconda è un'affermazione molto pesante, dato che implica l'esistenza di uno stato universale. Conseguenze importanti:



Il punto P si muove con velocità  $c$  in tutti due i sistemi di rif.

O misura la velocità della luce come  $\frac{|\Delta R|}{\Delta t}$

O misura la velocità della luce come  $\frac{|\Delta R'|}{\Delta t'}$

Se è valido il secondo principio  $\frac{|\Delta R'|}{\Delta t'} = \frac{|\Delta R|}{\Delta t}$  quindi

nessuno  $\Delta t \neq \Delta t'$  dato che  $|\Delta R| \neq |\Delta R'|$

$$u_x' \xrightarrow{?} u_x$$

$$u_x' = \frac{dx'}{dt'}$$

NB questa volta non possiamo più sostituire  
 $t' \text{ con } t, t' \neq t$ !

Componente  $x$   
di  $u$  al punto  $P$

$$dt' \neq dt$$

( $t'$  è funzione di  $t$ !)

$$\frac{dt'}{dt} = \left(1 - \frac{v u_x}{c^2}\right) \gamma(v)$$

$$u_x' = \frac{dx'}{dt} \frac{dt}{dt'} = \frac{(u_x - v) \gamma(v)}{\left(1 - \frac{v u_x}{c^2}\right) \gamma(v)} = \frac{u_x - v}{1 - \frac{v u_x}{c^2}} = u_x$$

$$u_y' = \frac{dy'}{dt'} + u_y = \frac{dy}{dt}$$

$$u_y' = \frac{dy'}{dt} \cdot \frac{dt}{dt'} = \frac{u_y}{\left(1 - \frac{v u_x}{c^2}\right) \gamma(v)}$$

$$u_z' = \frac{u_z}{\left(1 - \frac{v u_x}{c^2}\right) \gamma(v)}$$

Se uscire otteniamo di nuovo le trasformate di Galileo.

TRASFORMATE PER LA VELOCITÀ:

INVERSE

$$\begin{cases} u_x = \frac{u_x' + v}{1 + \frac{v u_x'}{c^2}} \\ u_y = \frac{u_y'}{\left(1 + \frac{v u_x'}{c^2}\right) \gamma(v)} \\ u_z = \frac{u_z'}{\left(1 + \frac{v u_x'}{c^2}\right) \gamma(v)} \end{cases}$$

DIRETTE

$$\begin{cases} u_x' = \frac{u_x - v}{1 - \frac{v u_x}{c^2}} \\ u_y' = \frac{u_y}{\left(1 - \frac{v u_x}{c^2}\right) \gamma(v)} \\ u_z' = \frac{u_z}{\left(1 - \frac{v u_x}{c^2}\right) \gamma(v)} \end{cases}$$

$$L(v) = \frac{x_2'}{f} + vt_2 - \left( \frac{x_1'}{f} + vt_1 \right)$$

obbliamo visto  $x' = (x - vt) f$

0' si muove  
con velocità  $v$   
rispetto ad 0

in 0 vediamo l'  
oggetto in movimento  
con velocità  $v$   
in 0' vediamo l'oggetto  
fermo

$$L(v) = \frac{x_2' - x_1'}{f(v)} = \frac{L(0)}{f(v)}$$

$$L(v) = \frac{L(0)}{f(v)}$$

effetto di contrazione  
delle lunghezze

$L(v)$  sono minori di  $L(0)$  dato che  $f(v) > 1$  a  $v=1$

2) Per un orologio in moto il tempo scorre più lentamente di  
per un orologio identico in quiete (dilatazione del tempo).

Calcoliamo le distanze temporali  $\Delta t$ , un intervallo di  
tempo tra due fenomeni.

Ad esempio misuriamo 4 secondi tra due lampi di luce  
quando le sorgenti si fermano.

$$\Delta t(0) = t_2' - t_1' \quad (x_2' = x_1' \text{ dato che le sorgenti si fermano})$$

Calcoliamo lo stesso intervallo di tempo tra i due lampi  
se luce si le sorgenti si muovono. Calcoliamo  $\Delta t(v)$   
con la trasformata di Lorentz.

$$\Delta t(v) = t_2 - t_1 = \left( t_2' + \frac{v x_2'}{c^2} \right) f(v) - \left( t_1' + \frac{v x_1'}{c^2} \right) f(v)$$

$$\Delta t(v) = (t_2' - t_1') f(v) = \Delta t(0) f(v)$$

$$\boxed{\Delta t(v) = f(v) \Delta t(0)}$$

effetto di dilatazione del tempo

# Il puzzle della vita media dei muoni

## La Terra è bombardata ogni giorno dallo spazio

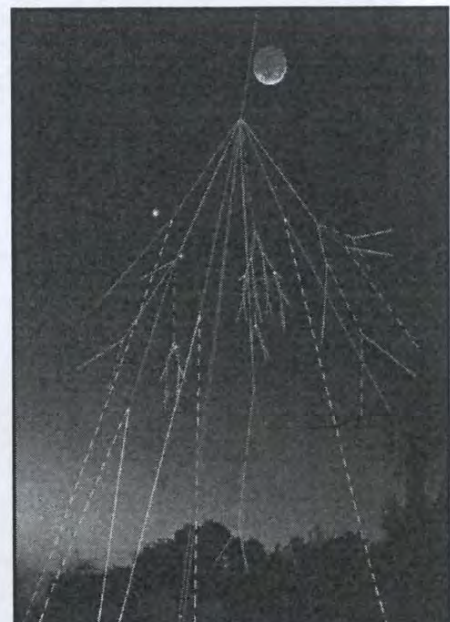
Già dai primi anni del 1900 i Fisici sapevano che la Terra è soggetta quotidianamente a una vera e propria pioggia di particelle di provenienza extraterrestre

Questa radiazione è formata da:  
protoni (86%), He (13%), nuclei (1%),  
elettroni (2%) e pochissimi raggi  $\gamma$

Il nome dato a queste particelle provenienti dal cosmo è:

### raggi cosmici

L'energia dei protoni va da circa 100 MeV a 10 TeV  
(e in piccolissima misura anche oltre)



N.B. Elettronvolt = 1 elettronvolt (eV) equivale all'energia acquisita da un elettrone quando sottoposto a una differenza di potenziale pari a 1 Volt ( 1MeV =  $10^6$  eV & 1 TeV=  $10^{12}$  eV)

## I Raggi Cosmici...

Nei primi anni del secolo scorso  
alcuni esperimenti effettuati  
da ricercatori avventurosi



hanno messo in  
evidenza l'esistenza  
di una forma di  
radiazione fino ad  
allora sconosciuta,  
la cui intensità  
cresce con l'altezza...

...al contrario di quanto  
ci si aspetterebbe se la  
radiazione (come altre forme  
naturali) fosse prodotta  
dalle rocce terrestri...

scartate tutte le  
altre ipotesi  
come per  
esempio la  
provenienza dal  
Sole o  
dall'interno del  
sistema solare



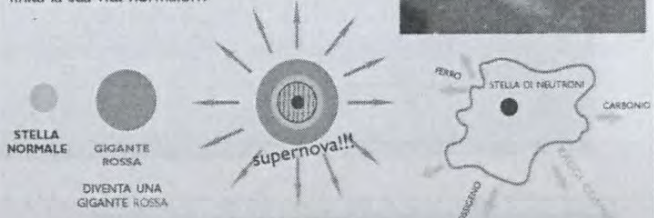
rimaneva un'unica  
ipotesi possibile,  
che la radiazione  
provenisse  
dall'Universo...  
da cui il nome  
di Raggi Cosmici

La radiazione  
misurata con  
appositi  
strumenti  
aumenta  
all'aumentare  
dell'altezza

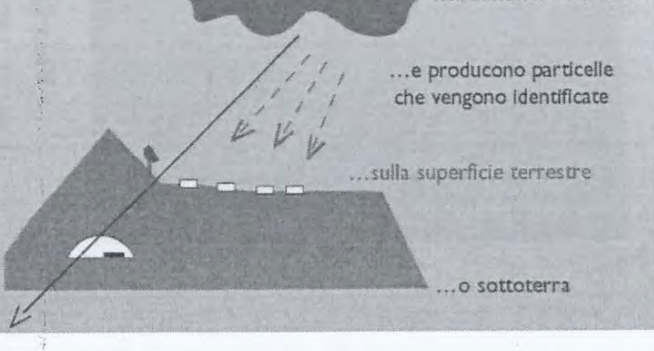
1 km  
5 km  
10 km  
40 km  
80 km  
100 km  
1000 km  
a terra

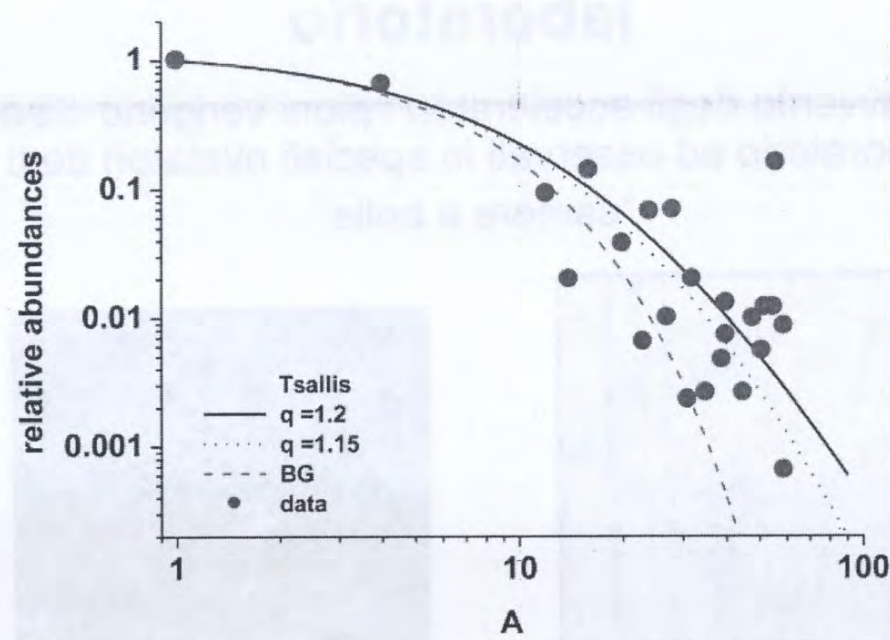
### Da dove vengono?

La maggior parte dei raggi cosmici  
è prodotta quando una stella,  
finita la sua vita normale...



Oppure sono prodotti  
in lontanissime  
Galassie

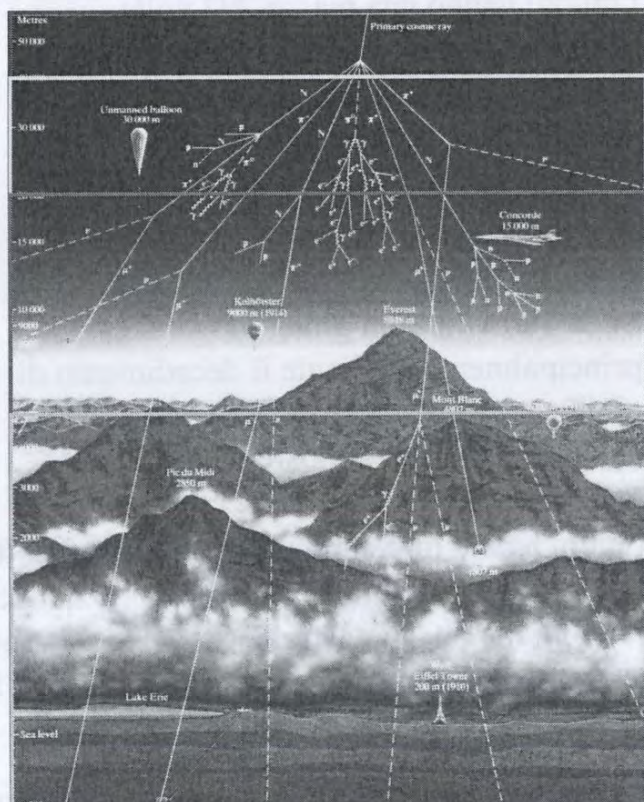




The chemical composition of cosmic rays (relative to hydrogen at 1 TeV)

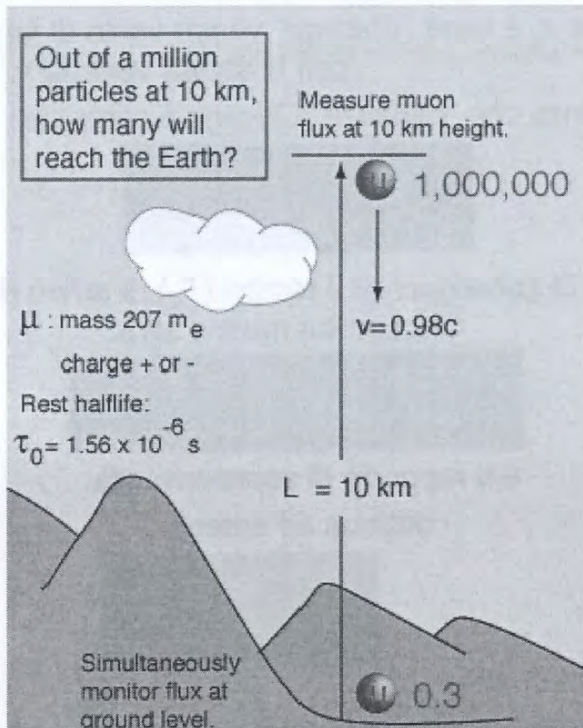
## La popolazione di particelle nell'atmosfera

- **A 35 Km slm:** inizio atmosfera, prime interazioni protoni-nuclei dell'aria
- **tra 20 e 35 km slm:** avvengono i processi descritti, sono presenti in prevalenza protoni e nuclei, i pioni decadono dando vita a muoni, elettroni e  $\gamma$
- **tra 5 e 20 km slm:** elettroni e  $\gamma$  si convertono gli uni negli altri moltiplicandosi e perdendo energia, costituiscono il grosso del flusso della radiazione
- **dal livello del mare a 5 km slm:** muoni ( $\mu$ ) e neutrini prodotti **PIÙ IN ALTO** sono la maggioranza delle particelle sopravvissute



## Come è possibile osservare i muoni sulla terra?

### Teoria non-relativistica



$$\text{Distanza: } L = 10^4 \text{ m}$$

Il tempo necessario al muone per arrivare sulla terra è:

$$T = \frac{L}{v} = 34 \cdot 10^{-6} \text{ s} = 21.6 \cdot \tau_0$$

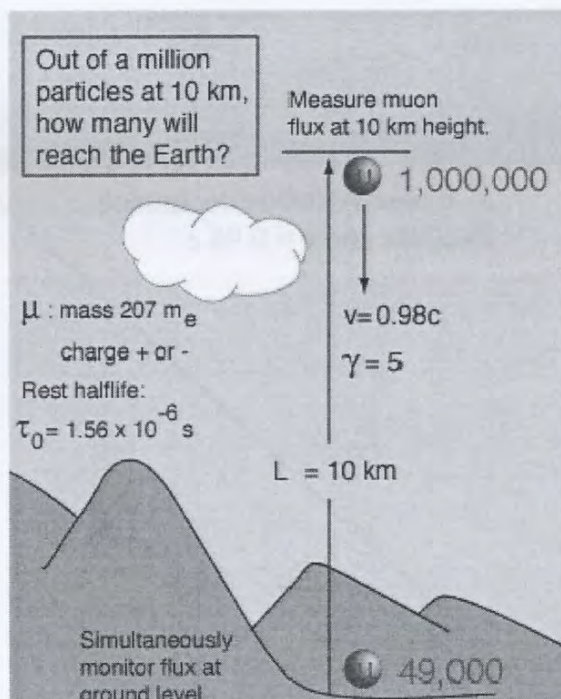
Dove  $\tau_0 = 1.56 \times 10^{-6} \text{ s}$  è la vita media dei muoni nel sistema di riferimento a riposo

### IL RAPPORTO DI SOPRAVVIVENZA:

$$\frac{I}{I_0} = 0.27 \cdot 10^{-6}$$

Secondo la meccanica classica solo 0.3 muoni su 1.000.000 arriverebbero sulla Terra!!  
Non è ciò che si osserva !

## Teoria relativistica: sistema di riferimento della Terra (dilatazione dei tempi)



Poiché i muoni viaggiano ad una velocità  $v = 0.98 c$ , l'osservatore a riposo sulla Terra lo vedrà vivere un tempo medio:

$$\tau = \gamma \tau_0 = 5 \cdot 1.56 \times 10^{-6} s = 7.8 \times 10^{-6} s$$

Di conseguenza il tempo ( $T_T$ ) di arrivo del muone su "Chicago" sarà:

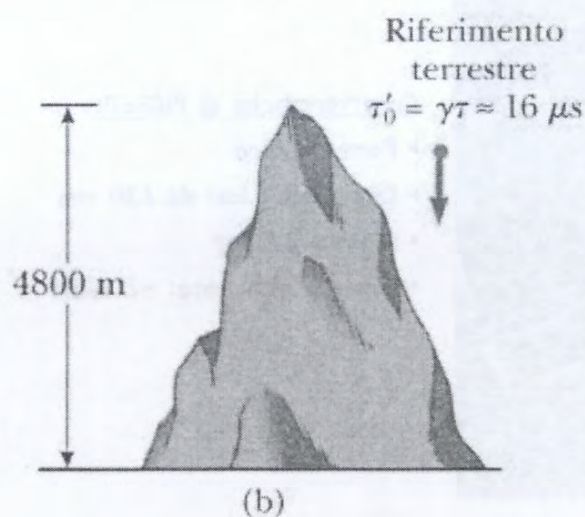
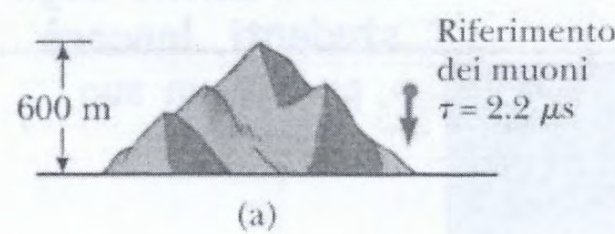
$$T_T = \frac{L}{v} = 34 \cdot 10^{-6} \text{ s} = 4.36 \cdot \tau$$

Il rapporto di sopravvivenza:

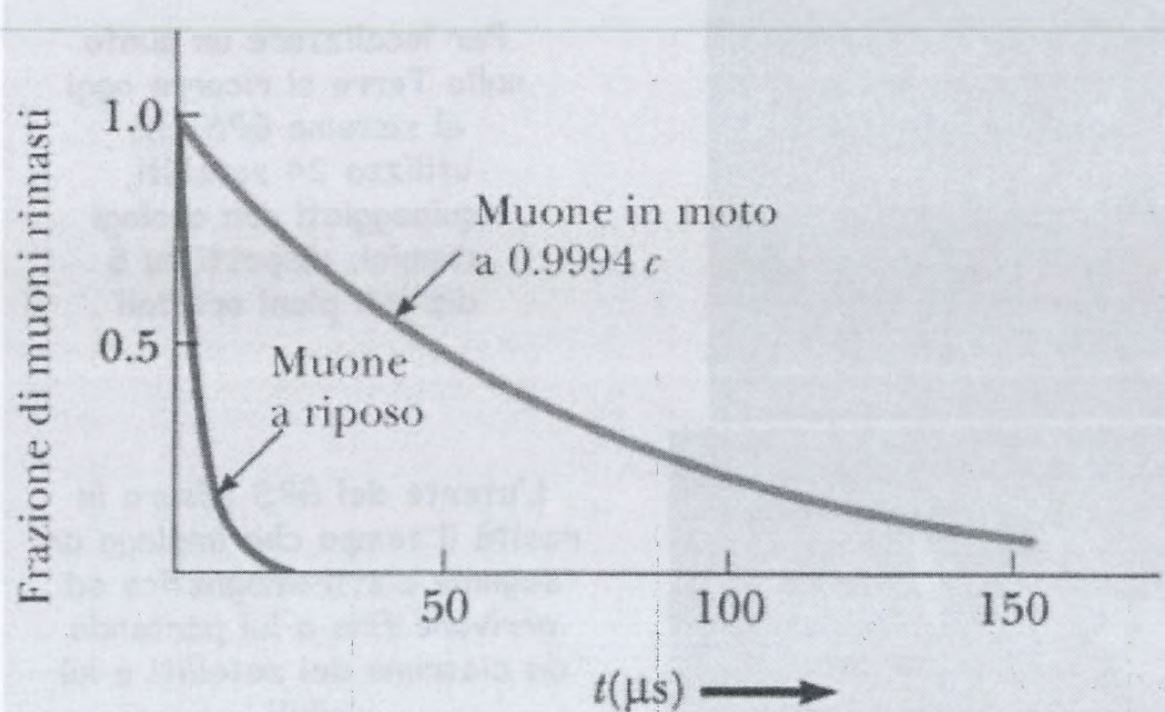
$$\frac{I}{I_0} = 0.049$$

Su 1.000.000 di muoni 49.000 arriveranno sulla Terra.

I dati sperimentali confermano il calcolo!

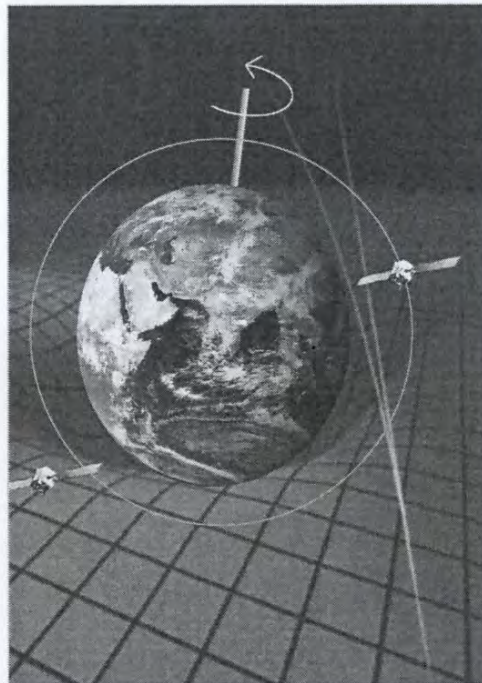


(a) Muoni che percorrono solo 600 m secondo le misure fatte nel loro riferimento proprio, ove la loro vita media è di circa  $2.2 \mu\text{s}$ . A causa della dilatazione dei tempi, la vita media dei muoni misurata dall'osservatore sulla Terra risulta più lunga. (b) I muoni che vanno alla velocità di  $0.99 c$  percorrono circa 4800 m per un osservatore posto sulla Terra.

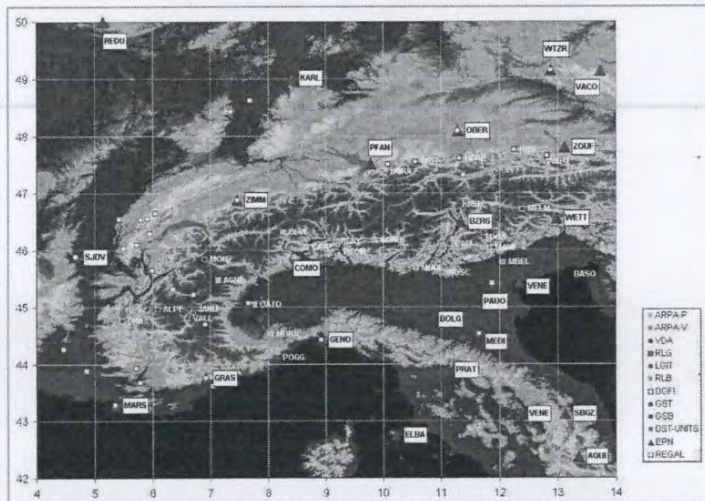


**Senza considerare gli effetti relativistici il GPS risulterebbe fortemente impreciso**

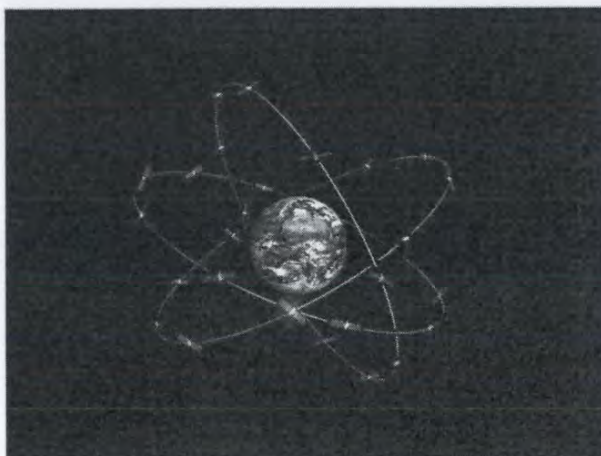
Effetto del campo gravitazionale  
Dilatazione dei tempi  
Sincronizzazione



**Effetto netto relativistico:  
l'orologio in orbita è più veloce di quello a Terra di 38600 ns al giorno che corrispondono a 11,58 km**



**Il GPS ha molte applicazioni diverse tra le quali, ad esempio, il monitoraggio delle deformazioni della crosta terrestre**



**Il GPS sarà presto affiancato, con migliori prestazioni, dal nuovo posizionamento globale europeo denominato GALILEO, che utilizzerà 30 satelliti, distribuiti su 3 piani orbitali, inclinati di 56 gradi rispetto al piano equatoriale**

## DINAMICA RELATIVISTICA

Nella dinamica newtoniana si mette l'equivalenza

massa invariabile = massa gravitazionale

Nella dinamica relativistica questa equivalenza cade!

Prendiamo un particelle di massa  $m$  in un sistema di riferimento

isotro e nato:  $K=0$ ,  $E_{tot}=0$ . Queste particelle i discritte da:

$$\begin{cases} K = \frac{1}{2} m \dot{\sigma}^2 \\ \vec{P} = m \vec{\sigma} \end{cases} \quad \text{sono eccezioni} \quad K = \frac{\vec{P}^2}{2m}$$

(equazioni non relativistiche)

Ma non siamo più sul campo delle trasformazioni di Galileo, le

Velocità non si compengono semplicemente sommando (inoltre vi è

una velocità max che non si può superare = velocità delle luce)

possiamo quindi pensare le quantità di moto come  $\vec{P} = m \vec{\sigma} f(\sigma)$   
 più complete di rispetto a  $\vec{P}$  (in modo a includere il 2° principio  
 della relatività)

$$\vec{P} = m \vec{\sigma} f(\sigma) \quad \text{Condizione } f(0) = 1$$

Già prima dell'avvento della relatività erano noti decadimenti radioattivi  
 in cui <sup>vi</sup> era differenza di massa tra stato iniziale e finale a comparsa di energia cinetica.  
 L'impostazione che si fa è esserci una certa energia  
 associata ad una massa  $m$  anche se la massa è a riposo.

Per avere l'equivalenza  $E = m$  manca una costante con le  
 dimensioni di una velocità al quadrato (per poter dare le unità di misura).  
 Einstein scelse come costante la velocità delle luce

$$E = c^2 m$$

$$= \frac{1}{2} m v^2 \quad \text{energia cinetica classica!}$$

I conti tornano, abbiamo il corrispondente classico grande  $\frac{1}{2}mv^2$

PERCORSO PER LA CORRISPONDENZA

$$K_i + m_i c^2 = K_f + m_f c^2 \quad \Rightarrow \quad E_i = E_f$$

Esercizio

Esercizio

$$\begin{cases} K(v) = m c^2 (\gamma(v) - 1) \\ \gamma(v) = \gamma(v) m v \end{cases} \Rightarrow K(p) = ?$$

$$\gamma(v) = \left(1 - \frac{v^2}{c^2}\right)^{-1/2} = \frac{1}{\sqrt{1 - \frac{v^2}{c^2}}}$$

$$p^2 = \gamma^2 m^2 v^2 \quad \rightarrow \quad p^2 c^2 = c^2 \gamma^2 m^2 v^2 \quad (1)$$

$$K^2 = m^2 c^4 (\gamma^2 - 2\gamma + 1) \quad (2)$$

$$\begin{cases} (1) \\ (2) \end{cases} ?$$

$$(1) - (2) \Rightarrow c^2 p^2 - K^2 = m^2 c^2 (\gamma^2 v^2 - \gamma^2 c^2 + 2\gamma c^2 - c^2).$$

entrambi si moltiplicano per una energia, li possiamo sottrarre

$$\begin{aligned} p^2 c^2 - K^2 &= m^2 c^2 \left[ \frac{v^2 - c^2}{1 - \frac{v^2}{c^2}} + 2\gamma c^2 - c^2 \right] = m^2 c^2 \left[ -c^2 + 2\gamma c^2 - c^2 \right] \\ &= m^2 c^2 2c^2 (\gamma - 1) = 2m c^2 \cdot \underbrace{m c^2 (\gamma - 1)}_K = 2m c^2 K \\ &\Rightarrow K^2 + 2m c^2 K = p^2 c^2 \end{aligned}$$

Più ed estremo consideriamo la situazione positiva:

$$E = \sqrt{p^2 c^2 + m^2 c^4}$$

NB Abbiamo visto che se  $m \neq 0$ , quando  $\frac{v}{c} \rightarrow 1$ ,  $E \rightarrow \infty$

Quindi una particella massiva non può raggiungere una velocità più e quindi ci vorrebbe una lunghezza infinita alle equazioni diventando.

$$p = m \gamma v \quad (2)$$

$$E = m c^2 \gamma \quad (1)$$

$$\frac{(2)}{(1)} \Rightarrow \gamma = c^2 \frac{p}{E} = c^2 \frac{p}{\sqrt{p^2 c^2 + m^2 c^4}} = c \frac{1}{\sqrt{1 + \frac{m^2 c^2}{p^2}}}$$

Se  $m \neq 0$ ,  $\gamma$  è misseriormente minore di  $c$  (struttura minore)

ed è minore di un fattore  $\frac{1}{\sqrt{1 + \frac{m^2 c^2}{p^2}}}$

Se  $m \neq 0 \quad \gamma < c$

$$\text{Se } m=0 \quad \gamma = c \quad \Rightarrow \quad E \equiv K = pc \quad \Rightarrow \quad p = \frac{E}{c}$$

Se lo si può esen intutitivo in maniera corpuscolare, ma con le condizioni di misserioramento  $m=0$

$$\text{NB} \quad \begin{cases} p = m \gamma v \\ E = m c^2 \gamma \end{cases} \quad \text{Se } m=0, \gamma = c \Rightarrow v = \infty \rightarrow \text{sono forse indeterminata!}$$

Se  $m=0 \rightarrow \gamma = c$

$$C = \lambda \nu, \quad E_J = h \nu, \quad \underbrace{p = \frac{E}{c} = \frac{h \nu}{c} = \frac{h}{\lambda}}_{\text{e quantità corpuscolari delle onde elettromagnetiche}}$$

### Esercizio

Si calcoli l'energia del fotone relativo alla luce avente lunghezza d'onda 400 nm (violetto) e a quella di 800 nm (rosso). (Queste sono all'incirca le lunghezze d'onda estreme dello spettro visibile.)

L'energia di un fotone con lunghezza d'onda di 400 nm è:

$$E = h\nu = \frac{hc}{\lambda} = \frac{1240 \text{ eV} \cdot \text{nm}}{400 \text{ nm}} = 3.1 \text{ eV}$$

L'energia di un fotone con lunghezza d'onda di 800 nm è:

$$E = \frac{1240 \text{ eV} \cdot \text{nm}}{800 \text{ nm}} = 1.55 \text{ eV}$$

### Esercizio

La lunghezza di soglia dell'effetto fotoelettrico per il potassio è 564 nm. Qual è il lavoro di estrazione  $\varphi$  per il potassio? Qual è l'energia cinetica massima degli elettroni emessi, se si usa luce avente lunghezza d'onda di 400 nm?

Il lavoro di estrazione, pari all'energia minima da fornire perché si verifichi l'effetto fotoelettrico è:

$$\varphi = h\nu = \frac{hc}{\lambda_{\text{soglia}}} = \frac{1240 \text{ eV} \cdot \text{nm}}{564 \text{ nm}} = 2.2 \text{ eV}$$

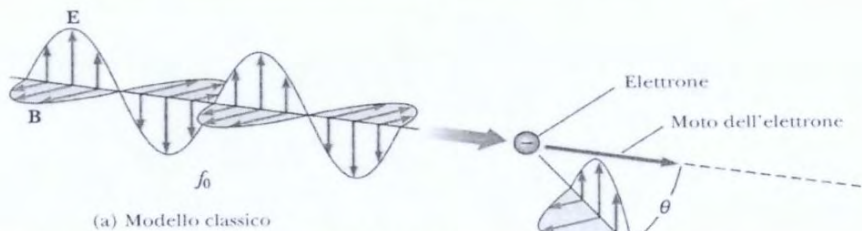
L'energia di un fotone con lunghezza d'onda di 400 nm è:

$$E = \frac{1240 \text{ eV} \cdot \text{nm}}{400 \text{ nm}} = 3.1 \text{ eV} > 2.2 \text{ eV}$$

per cui l'effetto fotoelettrico può verificarsi e gli elettroni emessi hanno un'energia cinetica non nulla. L'energia cinetica massima degli elettroni emessi è pari a:

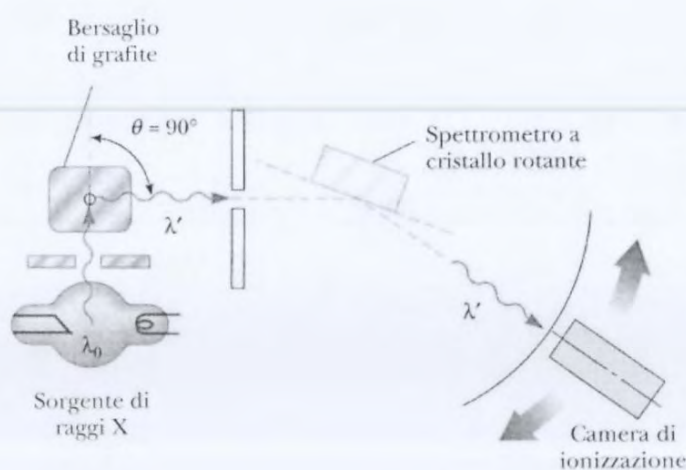
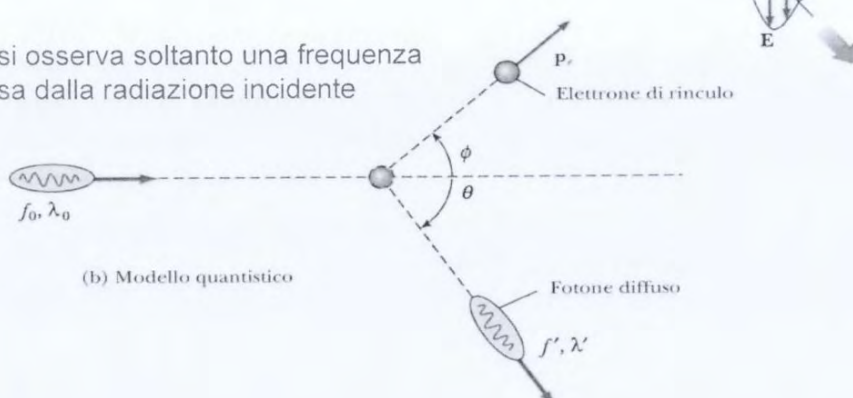
$$\left(\frac{1}{2}mv^2\right)_{\text{max}} = E - \varphi = (3.1 - 2.2) \text{ eV} = 0.9 \text{ eV}$$

# Effetto Compton (1923)



Modello classico: un'onda EM incidente ad una certa frequenza pone in vibrazione gli elettroni, i quali emettono onde EM alla stessa frequenza incidente.

Ad un dato angolo si osserva soltanto una frequenza di radiazione, diversa dalla radiazione incidente

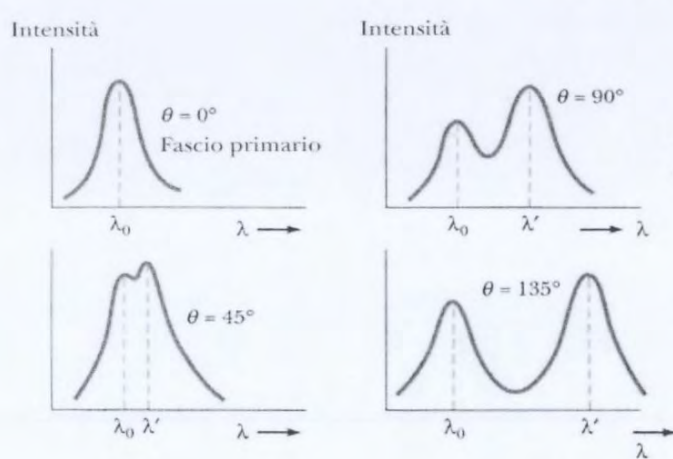


$$h = 6.63 \times 10^{-34} \text{ J s}$$

$$\lambda' - \lambda_0 = \frac{h}{m_e c} (1 - \cos \vartheta)$$

$$\lambda_C = \frac{h}{m_e c} = 0.00243 \text{ nm}$$

Lunghezza d'onda Compton dell'elettrone



Radiologia: I raggi X vengono diffusi dagli elettroni del corpo in tutte le direzioni

↓  
pareti assorbenti, grembiule di piombo per ridurre l'esposizione

$$x_0 = x_i = \frac{h}{v_i} \quad , \quad x^1 = x_f = \frac{h}{v_f}$$

Ottawa

$$\lambda' - \lambda_0 = \frac{h}{mc} (1 - \cos \alpha)$$

Se definisce

$$\lambda_c = \frac{h}{m_e c} = 0,00243 \text{ nm} \quad \text{lunghezza d'onda Compton dell'elittone}$$

## Corrispondenza tra aspetto corporeo e aspetto psicologico

$$M = 0 \quad \textcircled{P} = \frac{E_r}{c} = \frac{h\nu}{c} = \frac{h}{\lambda}$$

↳ Wie kann man im Gruppenarbeitsraum vorgehen?

$$m \neq 0 \quad \lambda = \frac{h}{p} \quad \text{DE BROGLIE}$$

Une partie massive de cette immeubles est détruite

## Esercizio

Se

$$p = mc \Rightarrow J = ? , K = ?$$

$$E = mc^2(\gamma - 1)$$

$$P = m \sigma v = mc \Rightarrow \sigma = \frac{c}{v}$$

$$r = c \sqrt{1 - \frac{v^2}{c^2}} = \sqrt{c^2 - v^2} \Rightarrow r^2 = c^2 - v^2 \Rightarrow 2r^2 = c^2$$

$$v^2 = \frac{c^2}{\gamma} \Rightarrow \gamma = \frac{c}{v} \Rightarrow \gamma = \sqrt{2}$$

$$K = m c^2 (\sqrt{2} - 1)$$

Oppm

$$E = \sqrt{p^2 c^2 + m^2 c^4} = \gamma m c^2 \Rightarrow \gamma \xrightarrow{J} \sqrt{m^2 c^2 c^2 + m^2 c^4} = \sqrt{2} m c^2 = \sqrt{2} m c^2 \Rightarrow \sqrt{2} m c^2 = \sqrt{2} m c^2 \Rightarrow \gamma = \sqrt{2}$$

Si capì che l'atomo non poteva avere una carica e una massa

uniformi, ma avere una massa concentrata in un nucleo positivo e il resto del volume gassoso nudo.

Rutherford misurò e calcolò anche il diametro del nucleo e il diametro totale dell'atomo.



$$d_n \approx 10^{-14} \text{ m} \approx 10 \text{ fm}$$

$$d_A \approx 10^{-10} \text{ m}$$

$$\underline{\text{NB}} \quad 1 \text{ fm} = 10^{-15} \text{ m} = 10^{-13} \text{ cm}$$

La dimensione d è dovuta alle interazioni cariche.

Calcoliamo l'energia cinetica delle particelle che sondano il nucleo:

~~massa elettrica~~

$$\text{NB} \quad \text{tasse } \hbar c = 200 \text{ MeV} \cdot \text{fm}$$

$$\tau = \frac{\hbar}{p} = \frac{\hbar c}{p c} = \frac{\hbar c}{\sqrt{k^2 + 2mc^2 k}} \quad \left\{ \begin{array}{l} \frac{\hbar c}{\sqrt{2mc^2 k}} \quad mc^2 \gg k \\ \frac{\hbar c}{k} \quad mc^2 \ll k \end{array} \right.$$

$\hbar^2 p^2 c^2 = k^2 + 2mc^2 k$

Nel caso dell'esperimento di Rutherford  $mc^2 \gg k$  dato che  $M_e c^2 \approx 4000 \text{ MeV}$  mentre  $k \approx 5 \div 6 \text{ MeV}$

Possiamo sondare il nucleo anche con degli elettroni, che hanno massa molto piccola  $\rightarrow m_e c^2 \approx 0,5 \text{ MeV}$

Più sondano otteniamo bisogno di  $\tau_e \approx 1 \text{ fm}$

$$\tau_e \approx \frac{\hbar c}{K_e} \Rightarrow K_e \approx \frac{\hbar c}{1 \text{ fm}} \Rightarrow K_e \approx 200 \text{ MeV}$$

Ottieniamo quindi gli elettroni con  $K_e \approx 200 \text{ MeV}$  per sondare il nucleo  $\rightarrow$  regime ultrarapido  $K_e \gg m_e c^2$

$$[\sigma] = [A] \quad \sigma \text{ ha le dimensioni di un'area}$$

$$\sigma \approx 10^{-28} \text{ m}^2$$

Nelle unità di misura: Barn

$$1 \text{ Barn} = 1 \text{ b} = 10^{-28} \text{ m}^2$$

### SEZIONE DIFFERENZIALE

Possiamo calcolare anche una sezione d'urto non totale, ma solo una certa porzione su una certa ~~area~~ di problema di angolo solido

$$\frac{d\sigma}{d\Omega}$$

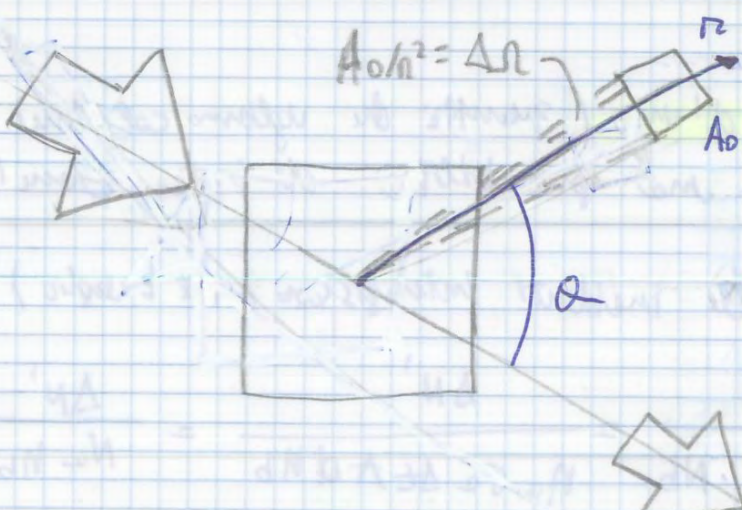
non sono differenziali, sono differenti fisici

il  $\frac{d}{d\Omega}$  è solo indicativo, non ha significato fisico matematico.

Lo si calcola quando si ha un rivelatore che copre solo una parte dell'angolo solido, non misura completamente  $\sigma$ .

Per ottenere  $\sigma$  totale, facciamo diverse misure con il rivelatore e poi:  
↳ a diversi angoli

$$\sigma = \int \frac{d\sigma}{d\Omega} d\Omega = \int_0^{2\pi} d\phi \int_{-1}^1 d\cos\theta \frac{d\sigma(\theta, \phi)}{d\Omega}$$



$$\int_{\bar{J}_i}^{\bar{J}_A} d\bar{U} = \int_0^{\pi/2} k_e \frac{2 \pi e^2}{m R^2} \bar{u}_n d\phi$$

$$m R^2 \frac{d\phi}{dt} = L \quad \text{momento angolare orbitale}$$

ost! Lo si consente perché le forze sono d'ordine 1 e contrarie  
MOTTO SU UN PIANO

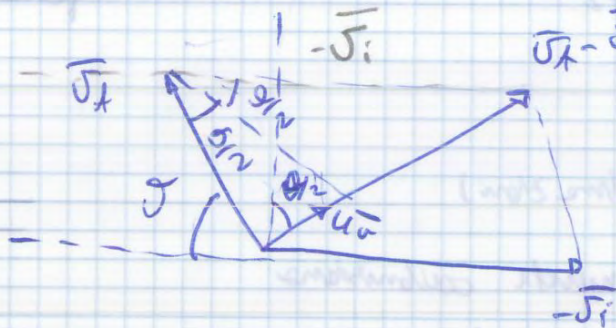
$$\int_{\bar{J}_i}^{\bar{J}_A} d\bar{U} = k_e \frac{2 \pi e^2}{m R^2} \int_0^{\pi/2} \bar{u}_n d\phi$$

$$L = m \bar{v} b$$

$$|\bar{U}_r| = |\bar{J}_i| = J$$

$$\int_{\bar{J}_i}^{\bar{J}_A} d\bar{U} = \bar{J}_A - \bar{J}_i = |\bar{J}_A - \bar{J}_i| / \bar{U}_r = 2J \sin\left(\frac{\alpha}{2}\right) / \bar{U}_r \quad \text{triang. isoscele}$$

$$|\bar{J}_A| = |\bar{J}_i|$$

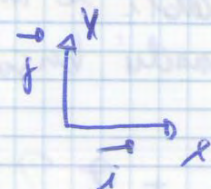
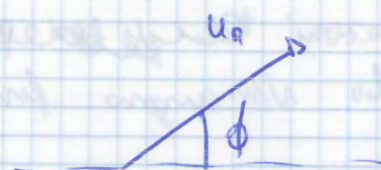


$$J = |\bar{U}_r| \frac{\alpha}{2} \quad |\bar{J}_i| = J$$

$$J \sin\left(\frac{\alpha}{2}\right) \rightarrow |\bar{J}_A - \bar{J}_i|$$

$$\bar{U}_r = \cos\left(\frac{\alpha}{2}\right) \bar{J} + \sin\left(\frac{\alpha}{2}\right) \bar{J}_i$$

$$\int_0^{\pi/2} U_n(\phi) d\phi =$$



$$= \int_0^{\pi/2} [\cos\phi \bar{i} + \sin\phi \bar{j}] d\phi = \bar{i} \int_0^{\pi/2} \cos\phi d\phi + \bar{j} \int_0^{\pi/2} \sin\phi d\phi$$

$$\int_0^{\pi/2} \cos\phi d\phi = \sin\phi \Big|_0^{\pi/2} = 1 \quad \bar{i} = \sin\theta \bar{i} + (1 + \cos\theta) \bar{j}$$

$$\begin{cases} \sin\theta = 2 \sin\frac{\alpha}{2} \cos\frac{\alpha}{2} \\ \cos\theta = 2 \cos^2\frac{\alpha}{2} - 1 \end{cases}$$

$$= 2 \sin\frac{\alpha}{2} \cos\frac{\alpha}{2} \bar{i} + 2 \cos^2\frac{\alpha}{2} \bar{j}$$

$$F = \frac{1}{2} M \dot{\theta}^2$$

↳

massa molto & se vogliamo considerare il nucleo non ferme

$$M = \frac{m_N}{m + m}$$

ma  $m \approx m$  (il nucleo ha massa molto  
se  $m \ll M$  più grande dell'elettrone)

$$b = \frac{a}{2} \cot \frac{\theta}{2}$$

$$a = K e \frac{2,72 e^2}{K}$$

$b \rightarrow$  parametro d'urto

Se l'energia  $K$  è più alta, e è più piccolo, quindi anche  $b$  è più piccolo! Le particelle sono una regione più vicina al nucleo.

$$d\Omega = 2\pi \sin \theta d\theta$$

Ad ogni angolo solido  $d\Omega$  corrisponde un angolo  $\theta$ , da è l'angolo con cui le particelle viene deflessa.

Ad una variazione di  $b$ , corrisponde una variazione di  $\theta$  in particolare

$$b \rightarrow b + db \Leftrightarrow \theta \rightarrow \theta - d\theta$$

se  $b$  aumenta,  
 $\theta$  diminuisce



Area conica circolare di raggio  $db$ :  $2\pi b db$

$$\frac{2\pi b db}{A} = \frac{2\pi a \cot \frac{\theta}{2}}{2A} \cdot \frac{a}{2} \left| - \frac{d\theta}{2 \sin^2(\frac{\theta}{2})} \right| =$$

normalizziamo l'area di tutta la  
del nucleo  
per avere una probabilità

$$= \frac{2\pi a^2 \cos^2 \frac{\theta}{2} d\theta}{8 + \sin^3 \frac{\theta}{2}} = \frac{2\pi \sin^2 \theta a^2}{16 \sin^4(\frac{\theta}{2})} = \frac{a^2 d\theta}{16 A \sin^2(\frac{\theta}{2})}$$

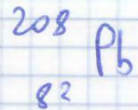
frazione di area

area totale = probabilità che le particelle vengano diffuse secondo un  
dato angolo solido (singole particelle incidente in  
un singolo nucleo ben solo)

ESEMPIO

$$1) K_2 = 6 \text{ MeV}$$

$$\theta = 60^\circ$$



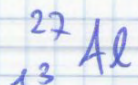
$$b = K_2 \frac{2 \cdot 82 e^2}{2 K_2} \cdot \cot \frac{\theta}{2} = 11,3 \text{ fm}$$

$$\text{NB} \quad K_2 \frac{e^2}{\hbar c} = \frac{1}{137} = \alpha$$

$$\hbar c = 197,3 \text{ MeV} \cdot \text{fm}$$

$$K_2 e^2 = 1,47 \text{ MeV} \cdot \text{fm}$$

$$2) K_2 = 6 \text{ MeV}$$



$$\theta = 30^\circ \quad \left| \frac{d\sigma}{d\Omega} \right|_{30^\circ} = 5,42 \text{ barn}$$

Le formule appena trovate sono valide quando le particelle si avvicinano al nucleo, senza entrare nel volume occupato dal nucleo.

Rutherford non poteva varicare  $K_2$ , quindi non poteva varicare il parametro  $\alpha$  (la sorgente radioattiva emette particelle a sempre con stesse  $K_2$ ).

Rutherford quindi misurò solo a dire di <sup>Raggio</sup> il ~~diametro~~ del nucleo  $\bar{r} \leq b$ .

La soluzione di Rutherford non rispetta più i veri sperimenti quando le velocità delle particelle (quindi l'energia cinetica, diventa tale da uscire e sondare ~~l'esperimento~~ il volume del nucleo, non possono più considerare le particelle puntiformi, entro in più altre piste).

Proviamo a fare il calcolo della sezione d'urto differenziabile nel regime quantistico.

### II REGOLE D'ORO DI FERMI

La seconda regola d'oro di Fermi assicura che vi è una certa probabilità di transizione  $W$  dallo stato  $f$  allo stato  $i$ .

$$W = \frac{2\pi}{\hbar} \left| \langle \Psi_f | \hat{H}_{\text{int.}} | \Psi_i \rangle \right|^2 f_f(e')$$

$f_f(e')$  = densità degli stati finali  $\hat{H}_{\text{int.}} \rightarrow \hat{H}$  di interazione elettrica

Le particelle incidenti: che oscurano per condurre la struttura del nucleo sono elettroni?

$$f_f(e') = \frac{dn}{de'}$$

stati compresi tra  $K$  e  $K + dk$

Pesa la probabilità che lo stato finale sia possibile

La formula si può ottenere in regime perturbativo: infatti nelle formule compare l' $H$  di interazione elettrica non l'intero hamiltoniano.

$2|\Psi_f\rangle$  e  $2|\Psi_i\rangle$  sono stati delle particelle non interagenti

Quindi se pesa da uno stato iniziale  $i$  uno stato finale  $f$  non interagendo con probabilità  $W$ .

$$\vec{p} = \hbar \vec{k} \quad \rightarrow \quad \vec{p}' = \hbar \vec{k}'$$

Se l'urto è elastico  $|\vec{p}'| = |\vec{p}|$ , il modulo della quantità di moto non cambia, ma cambia solo la direzione, quindi l'angolo tra  $\vec{p}$  e  $\vec{p}'$ .

$dn$ : numero di stati compresi tra due valori di  $\vec{p}$  nello spazio delle fasi.

$$\sigma = \frac{V}{50} \frac{2\pi}{h} \left| \langle \Psi_f | \hat{H}_{int} | \Psi_i \rangle \right|^2 p_f(\epsilon')$$

$$\sigma = \frac{V}{50} \frac{2\pi}{h} \left| \langle \Psi_f | \hat{H}_{int} | \Psi_i \rangle \right|^2 \frac{dn}{d\epsilon'}$$

$$\boxed{\frac{d\sigma}{dn} = \frac{V}{50} \frac{2\pi}{h} \left| \langle \Psi_f | \hat{H}_{int} | \Psi_i \rangle \right|^2 \frac{p^2}{(2\pi\hbar)^3} \sqrt{\frac{dp'}{d\epsilon'}}$$

Entriamo nel calcolo: usiamo elettroni accelerati con  $E = 200 \text{ MeV}$ , ipotizziamo i nuclei fermi e gli urti completamente elasticci ( $|p_i| = |p'|$ )

Siamo in regime relativistico

$$K \gg m_ec^2 = 0,5 \text{ MeV}$$

$$K \approx 200 \text{ MeV}$$

Quindi  $p^2 c^2 = K^2 + 2m_e c K$

Posiamo trascurare la massa dell'elettrone a riposo:

$$p = \frac{E}{c} \quad \text{in prima approssimazione possiamo condurre } \frac{E}{c} \text{ con } c$$

$$\frac{dp'}{d\epsilon'} = \frac{dp}{d\epsilon'} = \frac{1}{c}$$

Quindi:

$$\frac{d\sigma}{dn} = \frac{V^2}{50} \frac{2\pi}{h} \left| \langle \Psi_f | \hat{H}_{int} | \Psi_i \rangle \right|^2 \frac{E^2}{c^2} \cdot \frac{1}{c} \frac{1}{(2\pi\hbar)^3} =$$

$$\boxed{\frac{d\sigma}{dn} = \frac{V^2}{(2\pi)^2} \frac{E^2}{(h c)^2} \left| \langle \Psi_f | \hat{H}_{int} | \Psi_i \rangle \right|^2}$$

Dobbiamo far comparire  $\Delta \phi$  nella formula!

### TEOREMA DI GREEN

$$\int (u \Delta \phi - \sigma \Delta u) d^3 n = 0$$

$$\Delta \left[ e^{\frac{i \vec{q} \cdot \vec{n}}{\hbar}} \right] = -\frac{q^2}{\hbar^2} e^{\frac{i \vec{q} \cdot \vec{n}}{\hbar}} \Rightarrow e^{\frac{i \vec{q} \cdot \vec{n}}{\hbar}} = -\frac{\hbar^2}{q^2} \Delta e^{\frac{i \vec{q} \cdot \vec{n}}{\hbar}}$$

Quindi

GREEN

$$\langle U_f | H_{int} | U_i \rangle = -\frac{e}{V} \frac{\hbar^2}{q^2} \int \phi(n) \Delta e^{\frac{i \vec{q} \cdot \vec{n}}{\hbar}} d^3 n = -\frac{e}{V} \frac{\hbar^2}{q^2} \int \Delta \phi e^{\frac{i \vec{q} \cdot \vec{n}}{\hbar}} d^3 n =$$

GRANSS

$$= \frac{e}{\epsilon_0 V} \frac{\hbar^2}{q^2} \int P(\vec{n}) e^{\frac{i \vec{q} \cdot \vec{n}}{\hbar}} d^3 n$$

↓  
dipende dalla distribuzione delle cariche elettriche nel  
centro di fusione

DEFINIZIONE

$$F(\vec{q}) \stackrel{\Delta}{=} \int P(\vec{n}) e^{\frac{i \vec{q} \cdot \vec{n}}{\hbar}} d^3 n$$

TRASFORMATA DI  
FOURIER DI  $P(\vec{n})$

$F(\vec{q})$  è denominato FATTORE DI FORMA e descrive la  
distribuzione delle cariche nel medio bersaglio

$\& P(n) = \frac{J(n)}{2\pi}$  (caso puntiforme) altra  $F(q) = 1$ , se  $P(n) \neq \text{costante} \Rightarrow F(q) \neq 1$   
Ritornando al calcolo iniziale

e se  $\vec{q}$  è composta da  
soltane d'urto

$$\frac{d\sigma}{d\Omega} = \frac{V^2}{(4\pi)^2} \frac{E^2}{(\hbar c)^4} \frac{e^2}{\epsilon_0^2 V^2} \frac{1}{q^4} |F(\vec{q})|^2$$

• minore effetto inquinante

$$\boxed{\frac{d\sigma}{d\Omega} = \frac{Z^2 e^2}{(4\pi\epsilon_0)^2} \cdot 4 \cdot \frac{E^2}{(qL)^4} |F(\vec{q})|^2}$$

Se vogliamo passare in regime non relativistico, allora

$$p = mv \quad K = \frac{1}{2}mv^2 \quad E \approx mc^2 \quad \text{per} \quad mc^2 \gg K$$

$$z_1^2 e^4 \rightarrow (z_1 z_2 e^2)^2$$

Sostituendo nelle formule relativistiche trovate prima, otteniamo esattamente le azioni d'urto di Rutherford ottenute con il calcolo classico, con l'unica differenza che vi è in più la correzione  $|F(\vec{q}')|^2$ .

Quindi, quantisticamente e in regime non relativistico otteniamo:

$$\frac{d\sigma}{dr} = \frac{(z_1 z_2 e^2)^2}{(4\pi\epsilon_0)^2} \frac{4E^2}{(qc)^4} |F(\vec{q}')|^2 = \frac{z_1^2 z_2^2 e^4}{(4\pi\epsilon_0)^2} \frac{E^2}{c^4} \frac{4|F(\vec{q}')|^2}{(2)^4 p^4 \sin^2(\frac{\alpha}{2})} =$$

$$\frac{4z_1^2 z_2^2 e^4 m^2 c^4 |F(\vec{q}')|^2}{(4\pi\epsilon_0)^2 16 p^4 m^2 c^4 \sin^2(\frac{\alpha}{2})} = \frac{z_1^2 z_2^2 e^4}{(4\pi\epsilon_0)^2} \frac{4}{m^2 c^4} \frac{|F(\vec{q}')|^2}{16 \sin^2(\frac{\alpha}{2})} =$$

$$= K_e^2 \frac{z_1^2 z_2^2}{K^2} \cdot \frac{1}{16 \sin^2(\frac{\alpha}{2})} |F(\vec{q}')|^2$$

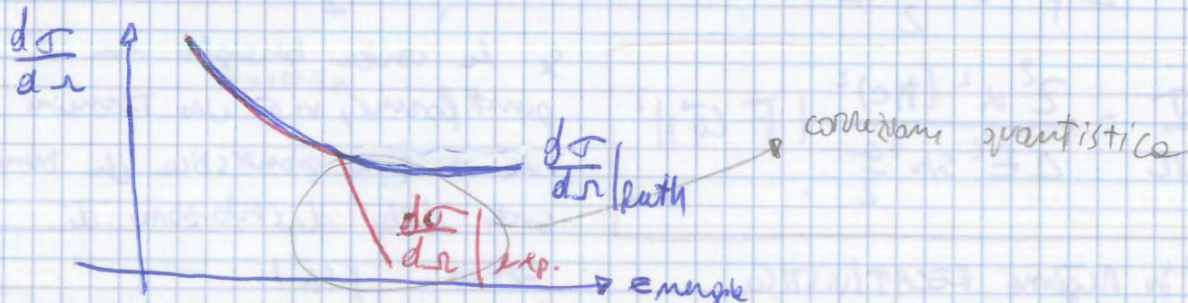
$$\boxed{\frac{d\sigma}{dr}_{\text{exp.}} = \frac{d\sigma}{dr}_{\text{Ruth.}} |F(\vec{q}')|^2}$$

sezione d'urto di particelle  
e distanza

Se  $F(q) = 1$   $\Rightarrow \frac{d\sigma}{dr} = \frac{d\sigma}{dr}_{\text{Ruth.}}$

(densità di carica puntiforme)

La correzione  $|F(\vec{q}')|^2$  giustifica il grafico della sezione d'urto misurata



$$= 2\bar{a} \int_{-1}^1 \left( \int_0^{+\infty} f(n) n^2 dn \right) e^{i \frac{qn}{\hbar} x} dx =$$

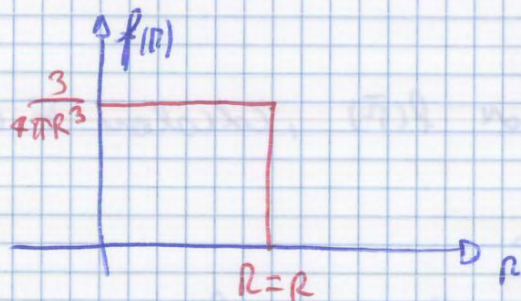
Calcoliamo prima

$$\int_{-1}^1 e^{i \frac{qn}{\hbar} x} dx = 2 \left( \frac{e^{i \frac{qn}{\hbar}} - e^{-i \frac{qn}{\hbar}}}{2i \frac{qn}{\hbar}} \right) = 2 \frac{\sin\left(\frac{qn}{\hbar}\right)}{\frac{qn}{\hbar}}$$

Quindi

$$F(q) = 4\pi \int_0^{+\infty} f(n) \frac{\sin\left(\frac{qn}{\hbar}\right)}{\frac{qn}{\hbar}} n^2 dn$$

CASO SFA R<sup>3</sup> RIGIDA o MAGNETICA



$$\int_0^{+\infty} f(n) d^3 n = \int_0^{+\infty} f(n) n^2 dn \int_{-1}^1 d\cos\theta \int_0^{2\pi} dy = 4\pi \int_0^R f(n) n^2 dn =$$

$$= 4\pi \frac{3}{4\pi R^3} \left[ \frac{n^3}{3} \right]_0^R = 1 \quad \text{è effettivamente normalizzato!}$$

Possiamo usare la nostra scelta di f(n)!

Faccendo il calcolo di  $F(\vec{p})$  ottieniamo:

$$F(\vec{p}) = \frac{3}{5^3} [\sin y - 9 \cos y]$$

$$\text{con } y = \frac{qR}{\hbar}$$

Facciamo uno sviluppo per  $\frac{qR}{h} \ll 1$  delle funzione  $F(\vec{q})$

$$F(\vec{q}) = \int f(R) e^{i \frac{\vec{q} \cdot \vec{R}}{\hbar}} d^3 R = \int f(R) \sum_{m=0}^{+\infty} \frac{1}{m!} \left( i \frac{qR}{\hbar} \cos \varphi \right)^m d^3 R =$$

$$= \int_0^{2\pi} d\varphi \int_{-1}^1 d \cos \varphi \int_0^{\infty} r^2 dr \left[ 1 + \frac{i q R \cos \varphi}{\hbar} - \frac{1}{2} \left( \frac{q R}{\hbar} \right)^2 \cos^2 \varphi \right] f(r) =$$

Una funzione dispari integrata  
in un intervallo simmetrico  
NON DA CONTRIBUTO

$$= \int_0^{2\pi} d\varphi \int_{-1}^1 d \cos \varphi \int_0^{\infty} r^2 f(r) dr - 2\pi \frac{q^2}{\hbar^2} \frac{2}{3} \cdot \frac{1}{2} \int_0^{\infty} r^2 f(r) r^2 dr =$$

$\int f(r) d^3 r = 1$        $\int_{-1}^1 \cos^2 \varphi d \cos \varphi = \frac{2}{3}$

NORMAIZZATO!

$$= 1 - \frac{q^2}{6\hbar^2} \cdot \int_0^{\infty} 4\pi r^2 f(r) r^2 dr$$

RAGGIO QUADRATICO MEDIO

$$F(\vec{q}) \simeq 1 - \frac{q^2}{6\hbar^2} \langle r^2 \rangle$$

$$\langle r^2 \rangle = -6\hbar^2 \frac{dF(q^2)}{dq^2}$$

Si definisce parametru  $t$  (spessore della pelle del nucleo) quando

$\frac{P(0t)}{P(0)}$  scende dal 90% al 10%

DEFINIZIONE

$$t \equiv r \left( \frac{P(0t)}{P(0)} = 0,1 \right) = r \left( \frac{P(0t)}{P(0)} = 0,9 \right)$$

$$t = 2 \times \ln 9$$

$t$  è dell'ordine dei fm

Inoltre

$$\Leftrightarrow R = \frac{R_0 A}{A} = R_0 A^{1/3} = 1,07 t^{1/3}$$

LEGGE  
EMPIRICA

Il raggio del nucleo reale è proporzionale, con un fattore di potenza, al numero di messe  $A$ .

Per nuclei pesanti la densità  $P(0)$  nel primo tratto è quasi costante per poi decrescere velocemente a zero.

Questo dal punto di vista delle forze nucleari ha un effetto curioso: se aumenta  $A$  (aggiungo neutroni, aumento le parti delle del nucleo) la densità non cambia, quindi le forze nucleari devono essere attrattive e maggiori delle forze elettromagnetiche, inoltre agiscono su uno spazio piccolissimo rispetto alle dimensioni del nucleo. Le forze nucleari sono a corto raggio d'azione, più piccole del nucleo, dell'ordine dei fm.

Vele

$$M_{\text{nucleo}} \approx A M_A$$

Ma è approssimabile alle masse di un nucleo, poiché la massa dell'elettrone è trascurabile ( $\approx 500 \text{ eV}$ )

Abbiamo detto che lo spessore del nucleo può essere espresso tramite  $t$

$$t = 2 a \ln 9 \Rightarrow a = \frac{t}{2 \ln 9} \approx 0,54 \text{ fm}$$

$t$  è fissato automaticamente per tutti i nuclei radio-pesanti indipendentemente da  $A$ .

$$\langle r^2 \rangle = \int f(r) r^2 d^3 r = 4\pi \int_0^{+\infty} f(r) r^2 dr$$

$$\Rightarrow \sqrt{\langle r^2 \rangle} = r_0 \cdot A^{1/3}$$

questa volta con  $r_0 = 9.94 \text{ fm}$  (dim $\text{m}^3$ )

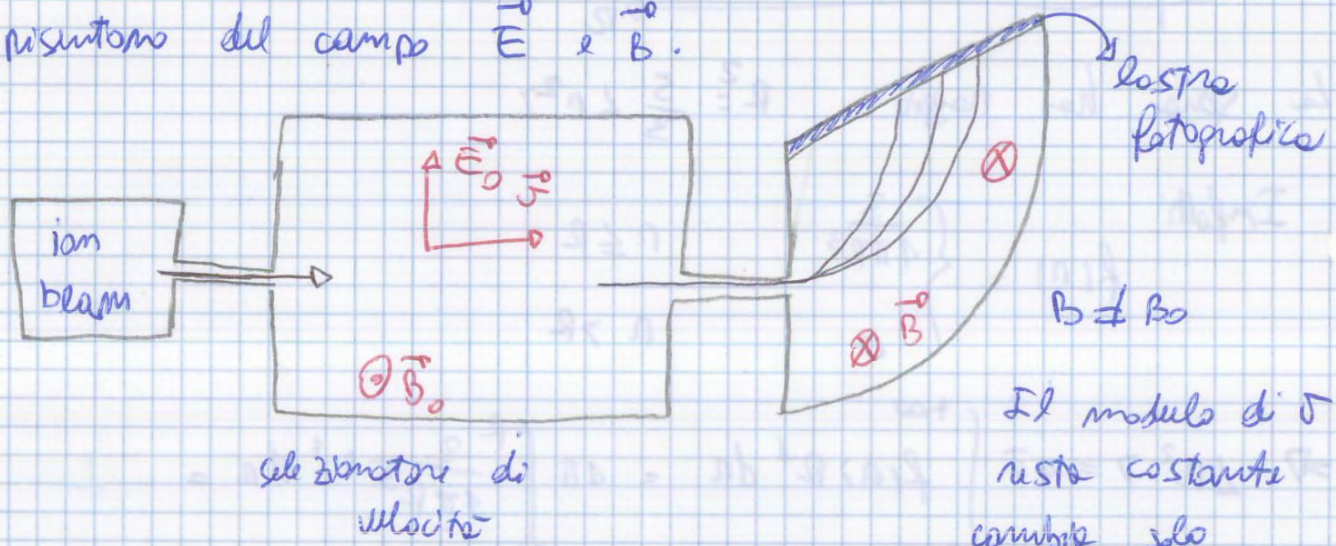
NB In generale (non per tutti i nuclei) la distribuzione di carica è uguale a quella di massa poiché  $p$  (protone) e  $n$  (neutron) hanno massa comparabile e tra di loro hanno una interazione molto maggiore dell'interazione coulombiana  
(approfondimento dopo!)

## SPETROMETRO DI MASSA

La massa si misura con lo spettrometro di massa.

$$\vec{F} = q \vec{E} + q \vec{v} \times \vec{B}$$

Se abbiamo atomi ionizzati, la loro massa coincide con la massa del nucleo, inoltre hanno carica positiva, quindi misuriamo del campo  $\vec{E}$  e  $\vec{B}$ .



Se vibratore di  
velocità

La velocità è misurata  
variando  $\vec{E}$  e  $\vec{B}$  in modo  
che le traiettorie siano rettilinee  
e questo avviene quando le  
forze elettrica e magnetica  
hanno lo stesso modulo

$$q \vec{E}_0 = q \vec{v} B_0 \Rightarrow$$

$$v = \frac{E_0}{B_0}$$

$$q v B = m \frac{v^2}{R}$$

in  
moto  
ciclico  
uniforme

$$m = \frac{q R}{v} B = \frac{q R B_0 B}{E_0}$$

$$M_N \approx A M_H$$

Le cose più semplici da pensare è che avendo la distribuzione di carica e di massa  $M_N \approx A M_H$

Identifichiamo  $A$  come il numero degli oggetti positivi elementari che compongono  $H^+$  e li chiamiamo protoni, quindi:

Vi sono anche evidenze sperimentali:

- Thompson trova atomi con diverse masse ma uguali  $Z$ .
- Misure con statistica di Bose-Einstein e Fermi-Dirac

ESEMPIO

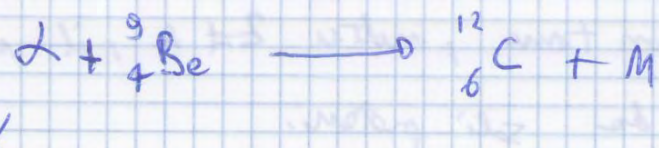
$$\frac{14}{7} N \quad N_e = A - Z = 7$$

$$N_{\text{particelle}} = 14 + 7 = 21$$

Dovrebbe essere un fermione (tutte le particelle hanno spin semi-intero) quindi si comporta come un BOSONE.

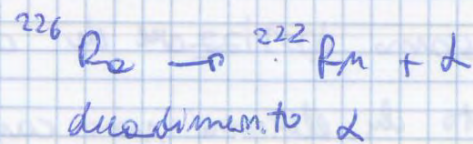
I dubbi sulla struttura del nucleo furono risolti completamente da Chadwick nel 1932 con la scoperta del neutrone.

### SCOPERTA DEL NEUTRONE



I prodotti da

una sorgente radioattiva → ad esempio



La reazione produceva una particella neutra, con massa comparabile a quella del protoni (essendo neutri era molto difficile da trovarli, da individuare).

Considerando  $K_{Be}^{(1)} \approx 0$ , per la conservazione dell'energia, vale:

$$\left\{ \begin{array}{l} M_p c^2 + M_{Be} c^2 + K_n = M_{^{12}C} c^2 + M_m c^2 + K_e + K_m \\ \overrightarrow{p}_p = \overrightarrow{p}_e + \overrightarrow{p}_m \end{array} \right.$$

*1 di  $p$*   
*trasanabile*

Risolvendo, possiamo ottenere la massa  $M_m$  dei neutrini (che comprende le masse del nucleo)

$$A = Z + N \quad \text{protoni neutrino con } M_p \approx 938.2 \text{ MeV}, M_m \approx 939.3 \text{ MeV}$$

Effettivamente ora  $Q_n = Z_e$ . La fine stimata è una distribuzione di carica elettrica (quindi dei protoni). Essa può essere confusa anche con le distribuzioni di massa perché  $M_m \approx M_p$ .

## DEFINIZIONE

$$\frac{1}{2} B.E. \stackrel{\text{def.}}{=} M_{\text{NUCLEO}} - (N M_n + Z M_p)$$

$$B.E. \approx M_{\text{ATOMICA}} - [N M_n + Z (M_p + M_e)]$$

(B.E. è di segno negativo)

Quando i nucleoni interagiscono, formando il nucleo, diminuiscono le loro masse, in quanto una

parte si trasforma in energia di legame (equivalente massa-energia). I nucleoni liberi hanno una certa massa, invece ci nucleoni legati si osserva una massa effettiva minore.

Quando la massa dei singoli costituenti liberi è maggiore della somma delle masse del nucleo.

Questo perché l'interazione fa diminuire l'energia totale (e dunque l'equivalente anche le masse!)

energie di legame media di ogni nucleone sul nucleo:  $\frac{B.E.}{A}$   
 energia di legame per partecella

diminuzione di una singola massa nucleonica (di ogni nucleone)

Un nucleo è stabile quando non tende in un altro stato in un tempo comprensibile con la vita delle Tns. La stabilità di un nucleo è relativa, ma lo consideriamo stabile in queste condizioni:

Se magari un nucleo stabile potrebbe decadere per un tempo  $>$  della vita delle Tns

(notte in media l'interazione p-m è più forte di quelle p-p e n-n)

I nuclei sono stabili per  $N = Z = \frac{A}{2}$

Vediamo che l'interazione p-m o m-p è equivalente, inoltre, per questo fatto, il nucleo tende ad essere simmetrico!  
 (per nuclei molto leggeri, vedi esercizi)

A sx delle regioni di stabilità, i nuclei trovano vantaggio nel legarsi tra di loro  $\rightarrow$  FISSIOPĒ NUCLĒARE  
(in determinate condizioni)

A dx delle regioni di stabilità, i nuclei trovano vantaggio nel scindersi in due nuclei che risalgono le curve di stabilità  
 $\rightarrow$  FISSIOPĒ NUCLĒARE

Il problema dell'interazione nucleare, è che non conosciamo l'andamento, l'espressione dell'interazione nucleare (non abbiamo una funzione che la modellizza).

Possiamo solo approssimarla per via phenomenologica.

Parametrizziamo le energie di legame come somma di polinomi, e mai noti, dipendenti da  $A, Z$ , cercando di ottenere il grafico sperimentale.

$$M_{\text{ATOMICA}}^{(A, Z)} = \sum_{i=0}^s f_i(A, Z)$$

$$f_0(A, Z) = Z(M_p + M_e) + (A - Z)M_n$$

$\rightarrow$  termine libero

i termini superiori  $f_1, f_2, \dots$  rappresentano l'energia di legame

$$f_1(A, Z) = -\alpha \frac{1}{A}$$

$\rightarrow$  rappresenta la zona di stabilità (è importante il volume)  
 $\rightarrow$   $\propto$   $\frac{1}{A}$  più volume  $\rightarrow$  densità costante

$$f_2(A, Z) = +\beta \frac{1}{A^{2/3}}$$

$\rightarrow$  rappresenta i nuclei leggeri (è importante la superficie)

$$f_0 \approx \text{cost} \rightarrow R = R_0 A^{1/3} \quad \begin{matrix} \rightarrow V \frac{A}{R^3} \propto A^{2/3} \\ \rightarrow S \frac{A}{R^2} \propto A^{1/3} \end{matrix}$$

i nuclei sulla superficie hanno meno  $\frac{1}{A}$  primi vicini, sono meno legati

costanti

$$\left\{ \begin{array}{l} \alpha_r \approx 15,56 \text{ MeV}/c^2 \\ \alpha_{\text{sup}} \approx 17,23 \text{ MeV}/c^2 \\ \alpha_{\text{col}} \approx 0,71 \text{ MeV}/c^2 \\ \alpha_{\text{sum}} = 23,28 \text{ MeV}/c^2 \end{array} \right.$$

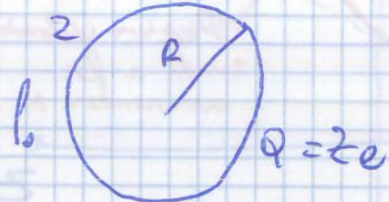
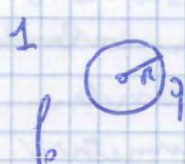
$$b_i = \alpha_i c^2$$

$b_i$  sono aggietti alle energie e  $\alpha_i$  sono aggietti alle masse.

### MODELLO SEMICLASSICO PER IL CALCOLO DI b Coulombiano

Partiamo da due sfere corte d'raggio  $R$  e carica  $Q$

e vogliamo trovare ad una sfera cava d'raggio  $R$  e carica  $Q = 2e$  (le due sfere hanno stessa densità  $\rho_0$ )



Possiamo pensare di partire una cava da sulla superficie delle sfere 1 e forse fino ad arrivare ad una cava  $Q$

$$U = \int_0^Q \frac{1}{4\pi\epsilon_0} \frac{q dq}{r(q)}$$

$$\rho_0 = \frac{Q}{\frac{4}{3}\pi R^3} = \frac{Q}{\frac{4}{3}\pi R^3} = \rho_0$$

$$R(q) = R \left( \frac{q}{Q} \right)^{1/3} \quad \text{perché?}$$

$$U = \frac{1}{4\pi\epsilon_0} \cdot \frac{Q^{4/3}}{R} \int_0^Q q^{2/3} dq = \frac{1}{4\pi\epsilon_0} \frac{Q}{R} \frac{3}{5} Q^{5/3}$$

$$U = \frac{3}{5} \frac{1}{4\pi\epsilon_0} \frac{Q^2}{R} = \frac{3}{5} \frac{1}{4\pi\epsilon_0} \cdot \frac{Z^2 e^2}{R} = \frac{3}{5} \frac{e^2}{4\pi\epsilon_0 R_0} \frac{Z^2}{A^{1/3}} = 6 \text{ coul} \frac{Z^2}{A^{1/3}}$$

### CARATTERISTICHE GENERALI DELLE FORZE NUCLEARI

- all'interno del nucleo la forza nucleare è esso più intensa delle interazioni elettromagnetiche
- le forze nucleari sono proporzionali alla distanza
- le forze nucleari hanno un raggio di azione molto limitato (1-2 fm, pari alla distanza media tra i nucleoni in un nucleo)
- le forze nucleari hanno proprietà di selezione,  $\text{Z}$

- # escludo le densità Grandi pressioni esistono per tutti i nuclei
- l'intensità delle forze nucleari non può essere misurata direttamente dalle energie di legame osservate nei nuclei in quanto esse i contributo di trazione di carica (positivo) confrontabile con il termine di energia potenziale
  - le forze nucleari dipende non soltanto dalla distanza relativa tra due nucleoni ma anche da gradi di libertà intrinseci: lo spin e le cariche
  - l'atto nucleone-nucleone a grande lunghezza ( $7200 \text{ fm}$ ) mostra che a distanze relative molto piccole l'interazione diventa fortemente repulsiva

$$Z_{\min} = \frac{M_m - M_p - m_e + \alpha_{\text{core}} A^{-1/3} + 4 \cdot \alpha_{\text{sym}}}{8 \alpha_{\text{sym}} A^{-1} + 2 \alpha_{\text{core}} A^{-1/3}}$$

$$M_m - M_p - m_e \approx 0,5 \text{ MeV/c}^2 \ll 4 \cdot \alpha_{\text{sym}} \approx 4,23 \text{ MeV/c}^2$$

$$\alpha_{\text{core}} A^{-1/3} \ll 4 \cdot \alpha_{\text{sym}}$$

$$(\alpha_{\text{core}} \approx 971 \text{ MeV/c}^2)$$

$$Z_{\min} \approx \frac{4 \cdot \alpha_{\text{sym}}}{8 \alpha_{\text{sym}} A^{-1} + 2 \alpha_{\text{core}} A^{-1/3}} = \frac{A}{2} \cdot \frac{1}{1 + \frac{1}{4} \left( \frac{\alpha_{\text{core}}}{\alpha_{\text{sym}}} \right) A^{2/3}}$$

$$Z_{\min} \approx \begin{cases} \frac{A}{2} & \text{per } K \ll 1 \\ \frac{A}{2} & \text{per } K \approx 1 \end{cases}$$

$$\frac{1}{4} \frac{\alpha_{\text{core}}}{\alpha_{\text{sym}}} A^{2/3} = 1$$

$$A^{2/3} = \frac{4 \alpha_{\text{sym}}}{\alpha_{\text{core}}}$$

$$A = \left( \frac{4 \alpha_{\text{sym}}}{\alpha_{\text{core}}} \right)^{3/2} = 1975$$

$$\Rightarrow K \approx 1 \text{ se } A = 1975$$

NUCLEI PESANTI

$K \ll 1$  se  $A < 1975$

$K \approx 1$  se  $A > 1975$

A	K
5	0,0225
205	0,2683
905	0,4221
605	0,552
903	0,722
1105	0,819
1805	0,9681
1705	1,1014
1905	1,1859

AD ESEMPIO:

$$^{197}_{79} \text{Au} \rightarrow \frac{Z}{A} \approx 0,4$$

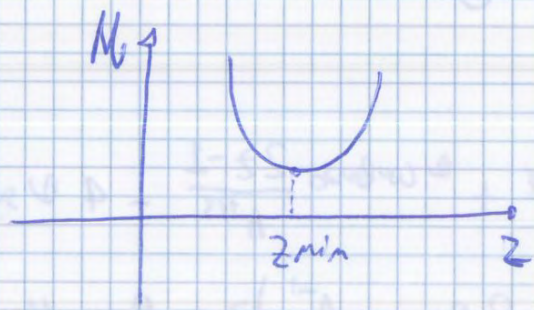
$$^{208}_{82} \text{Pb} \rightarrow \frac{Z}{A} \approx 0,44$$

$$^{63}_{29} \text{Cu} \rightarrow \frac{Z}{A} \approx 0,46$$

$$\times \quad A = 140$$

$$Z_{\min} = 57,8$$

$$^{140}_{58} \text{Ge}$$



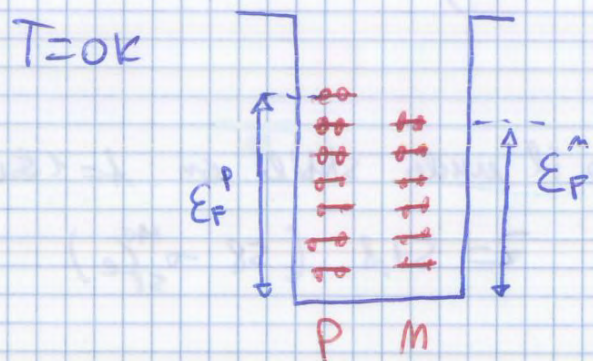
Consideriamo subito gli spazi quantistici, i quattro termini a delle forme semi-empirico.

Consideriamo ora il termine di simmetria

Protoni e neutroni sono particelle dotate di spin semintero ( $\frac{1}{2}$ ) e quindi obbediscono alle statistiche di Fermi - Dirac.

A  $T=0K$  si sistemano sui vari livelli energetici in modo tale da obbedire alla statistica, al principio di Pauli: (statistica di Fermi-Dirac)

Consideriamo protoni e neutroni confinati in una buca di potenziale (nucleo).



$E_F^P$  e  $E_F^N$  = livelli di Fermi di protoni e neutroni.

$$E_F^P + E_F^N \approx N \frac{\hbar^2}{2}$$

Consideriamo un modello a GAS DI FERM: protoni e neutroni liberi che si muovono in una buca di potenziale, obbedendo solo al principio di Pauli.

possiamo calcolare il energia di Fermi.

$$\sum \rightarrow dN$$

$\rightarrow p$  quantità di moto

$$dN = \frac{4\pi p^2 dp}{(2\pi\hbar)^3} \cdot V$$

$N$  di stati il volume delle quantità di moto

Se assumiamo che il volume occupato da protoni e neutroni sia uguale e diciamo che  $\frac{4}{3}\pi r^3$  è il raggio ~~interazionario~~ <sup>(R\_0)</sup> dei protoni e neutroni, allora:

$$V = \frac{4}{3}\pi R_0^3 A \quad (\text{Nucleo approssimato a sfera})$$

$$R_0 = 1.21 \text{ fm}$$

$$e \quad N = Z = \frac{1}{2} \quad p_F^m = p_P^p = p_F$$

$$\frac{A}{2} = \frac{\frac{4}{3}\pi R_0^3 A}{3\pi K \hbar^3} p_F^3$$

$$p_F = \left(\frac{9\pi}{8}\right)^{1/3} \frac{\hbar c}{mc} \approx 250 \frac{\text{MeV}}{c}$$

$$E_F = \frac{p_F^2}{2m} \approx 33 \text{ MeV}$$

Per p\_F hanno una quantità di moto molto alta solo per il fatto di dover obbedire al principio di Pauli.

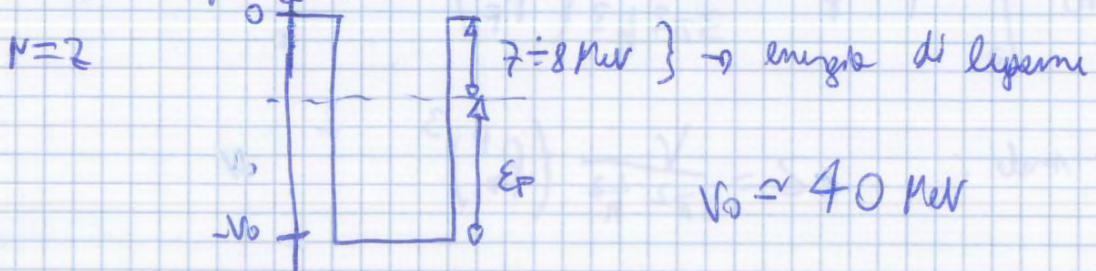
Siamo in regime non relativistico  $K \ll mc^2$

Possiamo ottenere lo stesso risultato con il principio di indeterminazione:  $\Delta x \Delta p \approx \hbar$

$$\Delta p \approx \frac{\hbar c}{\Delta x c} \approx 20 \frac{\text{MeV}}{c}$$

$$\Delta x \approx 1 \text{ fm}$$

Ottieniamo l'elenco delle barriere di potenziale come somme di energie di fermi più energie di espansione dei nucleoni.



$$V_0 \approx 40 \text{ MeV}$$

$$N = \frac{\frac{4}{3}\pi r_0^3 A}{3\pi^2 n^3} (p_F^m)^3 = \frac{4}{9} \frac{r_0^3 A}{\pi^2 n^3} (p_F^m)^3 = \frac{4 r_0^3 A}{9 \pi^2 n^3} (p_F^m)^3$$

$$p_F^m = \left(\frac{9\pi}{4}\right)^{1/3} \frac{\pi}{r_0} \frac{N^{1/3}}{A^{1/3}}$$

$$\langle K_{\text{tot}} \rangle = \frac{3}{16M} \left(\frac{9\pi}{4}\right)^{2/3} \left(\frac{\pi}{r_0}\right)^2 \left[ \frac{N^{5/3} + Z^{5/3}}{A^{2/3}} \right]$$

$\hookrightarrow A = N + Z$

Abbiamo un minimo di  $\langle K_{\text{tot}} \rangle$  per  $N = Z = \frac{A}{2}$

NB non stiamo considerando interazioni! L'unico ingrediente è il principio di Pauli, per il resto sono particelle libere!

Consideriamo

$$\left. \begin{array}{l} N = \frac{A+\Delta}{2} \\ Z = \frac{A-\Delta}{2} \end{array} \right\} A \text{ e } \Delta \text{ sono costanti! } A = N+Z$$

$$\Delta = N-2$$

$$\left( \frac{N^{5/3} + Z^{5/3}}{A^{2/3}} \right) = \frac{1}{A^{2/3}} \left[ \left( \frac{A+\Delta}{2} \right)^{5/3} + \left( \frac{A-\Delta}{2} \right)^{5/3} \right]$$

Consideriamo  $\Delta$  piccolo rispetto a  $N, Z \rightarrow$  sviluppiamo in serie!

$$(1+x)^a \approx 1 + ax + \frac{a}{2} (a-1)x^2 + \dots$$

$$= \frac{\left(\frac{A}{2}\right)^{5/3}}{A^{2/3}} \left[ \left(1 + \frac{\Delta}{A}\right)^{5/3} + \left(1 - \frac{\Delta}{A}\right)^{5/3} \right] \underset{\Delta \ll A}{\approx} \frac{A}{2^{5/3}} \left[ 1 + \frac{5}{3} \frac{\Delta}{A} + \frac{1}{2} \frac{5}{3} \frac{2}{3} \left(\frac{\Delta}{A}\right)^2 \right]$$

$$+ 1 - \frac{5}{3} \frac{\Delta}{A} + \frac{1}{2} \frac{5}{3} \frac{2}{3} \left(\frac{\Delta}{A}\right)^2 = \frac{A^2}{2^{5/3}} \left(1 + \frac{5}{9} \frac{\Delta^2}{A^2}\right) = \frac{A}{2^{2/3}} \left(1 + \frac{5}{9} \frac{\Delta^2}{A^2}\right)$$

Energie di separazione per un protone (differenza tra energia di legame)

$$S_Z = BA(Z, N) - BA(Z-1, N)$$

$$S_m = BA(Z, N) - BA(Z, N-1)$$

Energie di separazione per un neutrone

La differenza tra l'energia di separazione trovata sperimentalmente dovrebbe coincidere con quelle previste dalla prima semiempirica, ma non è così. Consideriamo l'energia di separazione tra due protoni e due neutroni:

$$S_{2Z} = BA(Z, N) - BA(Z-2, N)$$

$$S_{2m} = BA(Z, N) - BA(Z, N-2)$$

per i neutroni

per non introdurre nella formula il termine di pairing, qui viene già considerato, non vi è insomma dovuto al fatto di pairing passato da 4 pari ad 4 dispari

Le discontinuità di lunghezza di separazione si hanno in corrispondenza di  $N=2, 8, 20, 28, 50, 82, 126$  (per i protoni).

Se consideriamo l'energia di separazione, le discontinuità si hanno in corrispondenza degli stessi numeri  $Z=2, 8, 20, 28, 50, 82, 126$

$2, 8, 20, 28, 50, 82, 126$  sono detti "numeri magici".

Come per le energie di ionizzazione, esistono nuclei con energia di legame particolarmente elevata, struttura molto legata, molto superiore alle medie

→ gradi delle energie di separazione più i numeri corrispondenti al numero magico

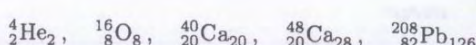
→ si hanno quando  $N, Z =$  ad un numero magico

Esistono nuclei doppiati ancora più legati, si hanno sia  $N$  che  $Z$  pari a un numero magico → un nucleo con numero doppiamente magico

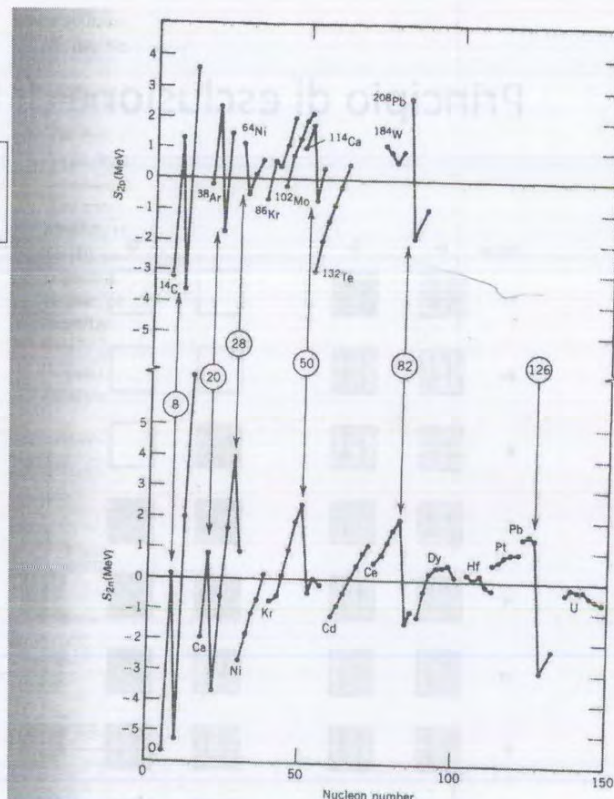
A differenza degli elettroni in un nucleo, i nucleoni sono legati da un potenziale che non considera (ma che sappiamo di non dipendere) tutti i nucleoni, dato che la forza nucleare è a scalo (a lungo raggio).

Da questo esperimento capiamo che il potenziale deve essere tale che il rimpicciolimento di tutto  $\star$ ; livelli energetici deve allineare in corrispondenza dei numeri magici → rimpicciolimento di tutto l'elenco  $\Rightarrow$  stabilità massima (in analogia con gli elettroni).

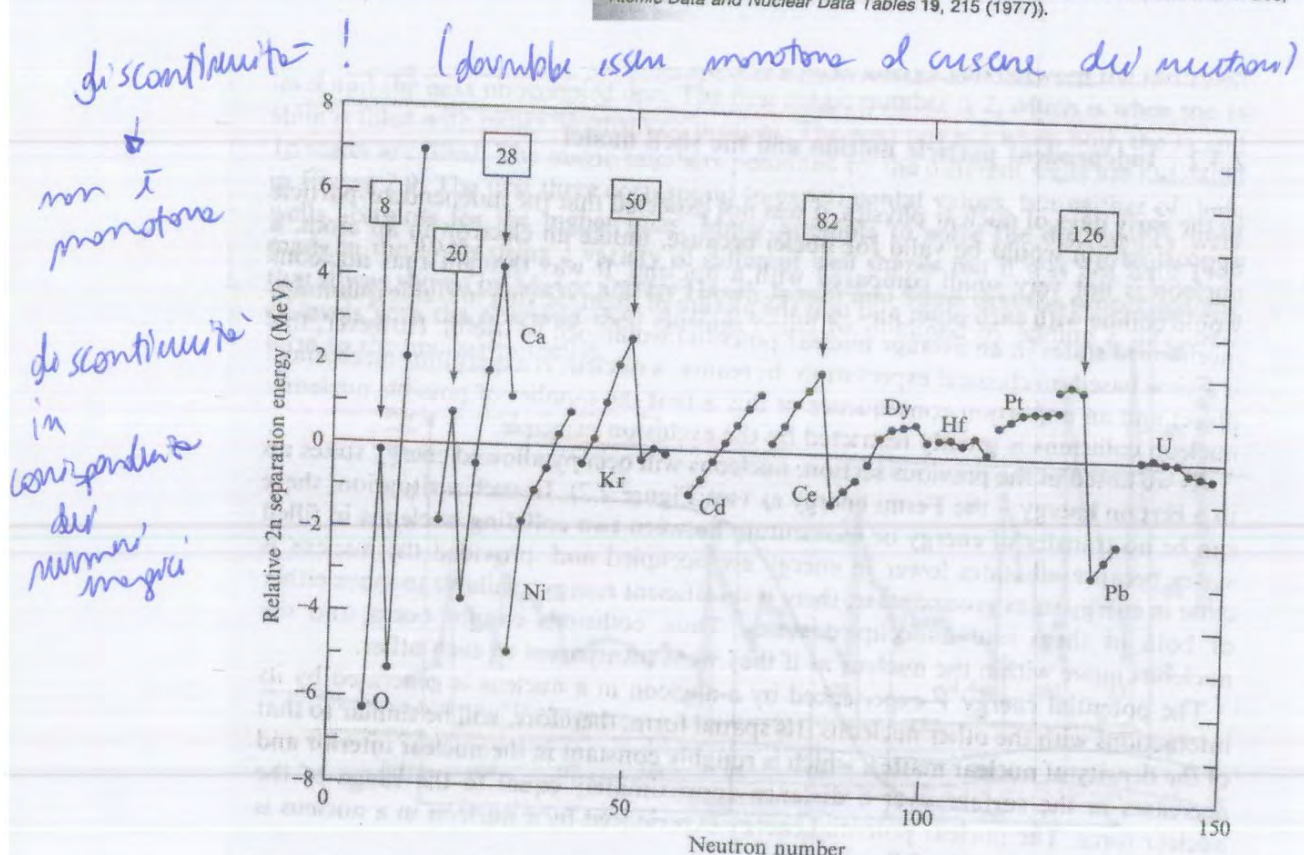
## Modello a Shell



Nuclei doppiamente "magici"



**Figure 5.2** (Top) Two-proton separation energies of sequences of isotones (constant  $N$ ). The lowest  $Z$  member of each sequence is noted. (Bottom) Two-neutron separation energies of sequences of isotopes. The sudden changes at the indicated "magic numbers" are apparent. The data plotted are differences between the measured values and the predictions of the semiempirical mass formula. Measured values are from the 1977 atomic mass tables (A. H. Wapstra and K. Bos, *Atomic Data and Nuclear Data Tables* 19, 215 (1977)).



**Figure 2.7** The difference between measured two-neutron separation energies and those predicted by the SEMF, plotted against neutron number. The lines connect sequences of isotopes. Discontinuities in the otherwise smooth trend are evident.

Inoltre molti nuclei doppiamente magici hanno i primi livelli di eccitazione più elevati, ed analogo per le altre due classi di nuclei non magici.

livelli energetici

$$E_N = \left(N + \frac{3}{2}\right) \hbar \omega$$

$$N = 2(m-1) + l$$

$$m = 1, 2, 3, 4$$

$$N = 2n' + l$$

$$n' = m-1 = 0, 1, 2, \dots$$

$$l = 0, 1, 2, 3, \dots$$

$$\begin{matrix} \downarrow & \downarrow & \downarrow & \downarrow \\ s & p & d & f \end{matrix}$$

$m_l \rightarrow$  configuration spettroscopica dei livelli  
in l identifica un singolo stato

Potremo di parlare di  $m_l \rightarrow$  lo spin è fissato!  $s = \frac{1}{2}$  ( $m_s = \pm \frac{1}{2}$ )

$$|l, m_l, \pm \frac{1}{2}, m_s\rangle$$

degenerazione  
di un singolo livello

$$2(2l+1) \leftarrow l$$

↑  
spin

degenerazione totale di livelli energetici (a fisso  $N$ ):

$$d = 2 \sum_{l=0}^N 2l+1$$

$N = \text{fisso} \Rightarrow l \rightarrow l = 0 \text{ ad } N$  ( $l = 0 \rightarrow m = 0$ )

$$N = 2m' + l \quad (m' = m-1)$$

$$l = N - 2m'$$

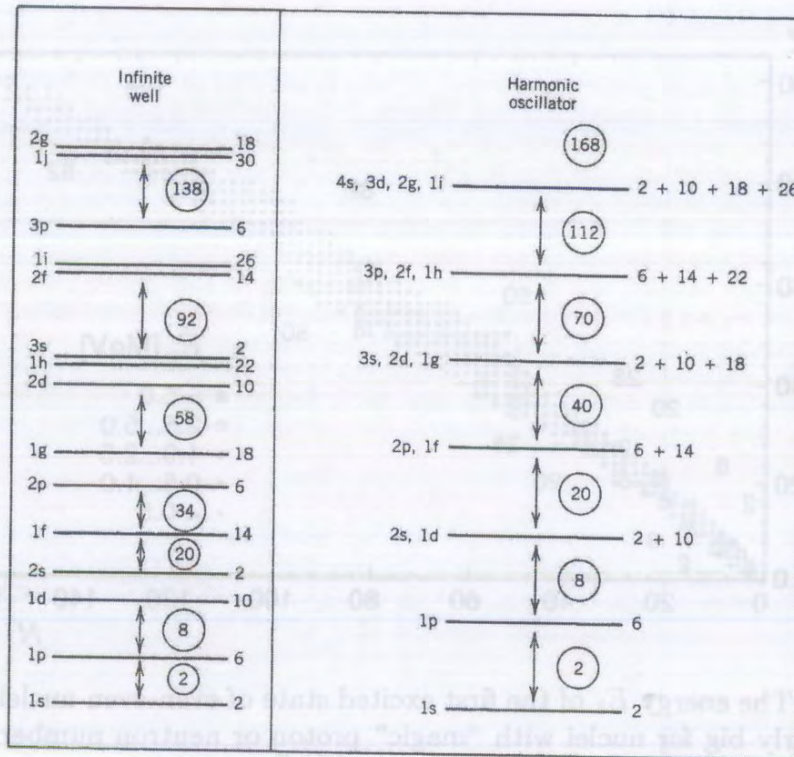
$$d = 2 \sum_{m'=0}^{\frac{N}{2}} [2(N-2m') + 1] = 2 \sum_{m'=0}^{\frac{N}{2}} (2N+1) - 8 \sum_{m'=0}^{\frac{N}{2}} m' = 2(2N+1)\left(\frac{N}{2}+1\right) - 8 \cdot \frac{1}{8} N(N+2)$$

$$l=0 \Rightarrow m' = \frac{N}{2}, \quad l=N \Rightarrow m'=0$$

$$\sum_{m'=0}^{\frac{N}{2}} m' = 0+1+2+\dots+\frac{N}{2}$$

$$\frac{\frac{N}{2} + \frac{N}{2} - 1 + \dots + 1 + 0}{\underbrace{\frac{N}{2} + \frac{N}{2} - 1 + \frac{N}{2} + \frac{N}{2}}_{\frac{N}{2} + 1 \text{ termini}}} \rightarrow \frac{1}{2} \frac{N}{2} \left( \frac{N}{2} + 1 \right) - \frac{1}{8} N(N+2)$$

$$d = \frac{1}{2}(2N+1)(N+2) - N(N+2) = (N+2)(N+1)$$

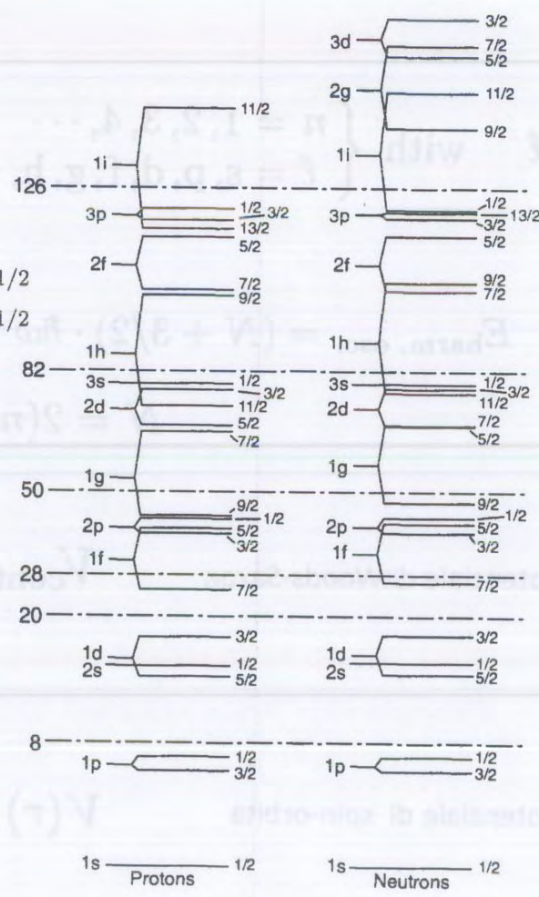


Shell structure obtained with infinite well and harmonic oscillator potentials. The capacity of each level is indicated to its right. Large gaps occur between the levels, which we associate with closed shells. The circled numbers indicate the total number of nucleons at each shell closure.

$$V(r) = V_{\text{centr}}(r) + V_{\ell s}(r) \frac{\langle \ell s \rangle}{\hbar^2}$$

$$\frac{\langle \ell s \rangle}{\hbar^2} = \frac{j(j+1) - \ell(\ell+1) - s(s+1)}{2} = \begin{cases} \ell/2 & \text{for } j = \ell + 1/2 \\ -(\ell+1)/2 & \text{for } j = \ell - 1/2 \end{cases}$$

$$\Delta E_{\ell s} = \frac{2\ell + 1}{2} \cdot \langle V_{\ell s}(r) \rangle$$



Non riusciamo quindi a comprendere i numeri magici manca un ulteriore potenziale di Woods-Saxon (come funzione di Fermi).

Introduciamo il potenziale di spin-orbita:

$$\tilde{V}_{LS}(r) \vec{l} \cdot \vec{s} = V_{LS}$$

Il potenziale totale è:

$$V(r) = V_{\text{centrale}} - \frac{V_{LS}(r)}{r} \vec{l} \cdot \vec{s}$$

ma da  
quelli studiati prima

$$|l, m_l, \frac{1}{2}, m_s\rangle$$

$\downarrow$   $\downarrow$

non vanno più bene! Non commutano più con l'hamiltoniana  
mentre gli altri vanno bene

$$[L^2, \vec{l} \cdot \vec{s}] = 0$$

$$[S^2, \vec{l} \cdot \vec{s}] = 0$$

Dobbiamo introdurre due diversi numeri quantici, quindi ~~del nuovo~~<sup>un</sup> spazio di commutazione l'hamiltoniana:  $\vec{J}$  cioè la somma  
dei due momenti angolari

$$|J, m_J, l, s\rangle$$

$$\vec{J} = \vec{l} + \vec{s} \Rightarrow J = \sqrt{J(J+1)} = m_J$$

$$J^2 = L^2 + S^2 + 2 \vec{l} \cdot \vec{s}$$

$$|l-s| \leq J \leq l+s$$

$$\vec{l} \cdot \vec{s} = \frac{1}{2} (J^2 - L^2 - S^2)$$

ma si può solo assumere i valori  $\pm \frac{1}{2}$   
quindi  $J$  assume solo due valori  $\#$

Possono ad un sistema descritto dai numeri quantici  $(J, m_J, l, s)$

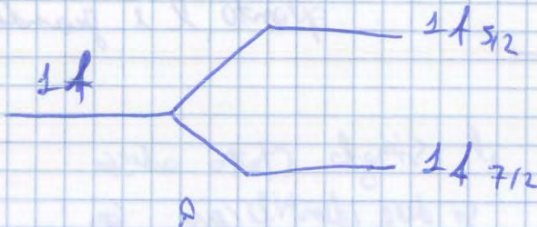
$\langle J, m_J, l, s | \vec{l} \cdot \vec{s} | J, m_J, l, s \rangle$  possiamo calcolarlo!

I livelli spettroscopici quindi combineranno! Ne combineranno da  $N=3$  in

Per dato che prima avevamo già ottenuto i numeri magici quindi possiamo dire che l'effetto spin-orbita anello non si fa sentire, i livelli magici si sommano però, quindi li consideriamo ancora insieme quando contrariamente al rientrimento.

$N \neq J$

$N=3$



C'è uno spostamento grande

VEDI GRADICO LIVELLI E PERMETTO!

Consideriamo

16

${}^8O_8 \rightarrow$  molto doppiamento magico

punte + punte  $J=0$

$J=0$   $\rightarrow$  non ha punte +, ha momento totale pari 0

(numero dopp. magici)

$1P_{1/2}$

$1P_{1/2}$

$2J+1$

$1P_{3/2}$

$1P_{3/2}$

punte in

$1S_{1/2}$

$1S_{1/2}$

ogni livello

$1P_7$

$1m_7$

16  ${}^8O_8$  è molto stabile, infatti la differenza di energia fra i due livelli è maggiore rispetto a  ${}^{15}O$  e  ${}^{17}O$  di hanno un solo numero magico (nodi parit. 6)

punte negative

${}^{15}O_7 \rightarrow J = \frac{1}{2}$

numero di punte

per indicare che essendo si usa  $(-1)^{-1}$

$1P_{1/2}^{-1}$

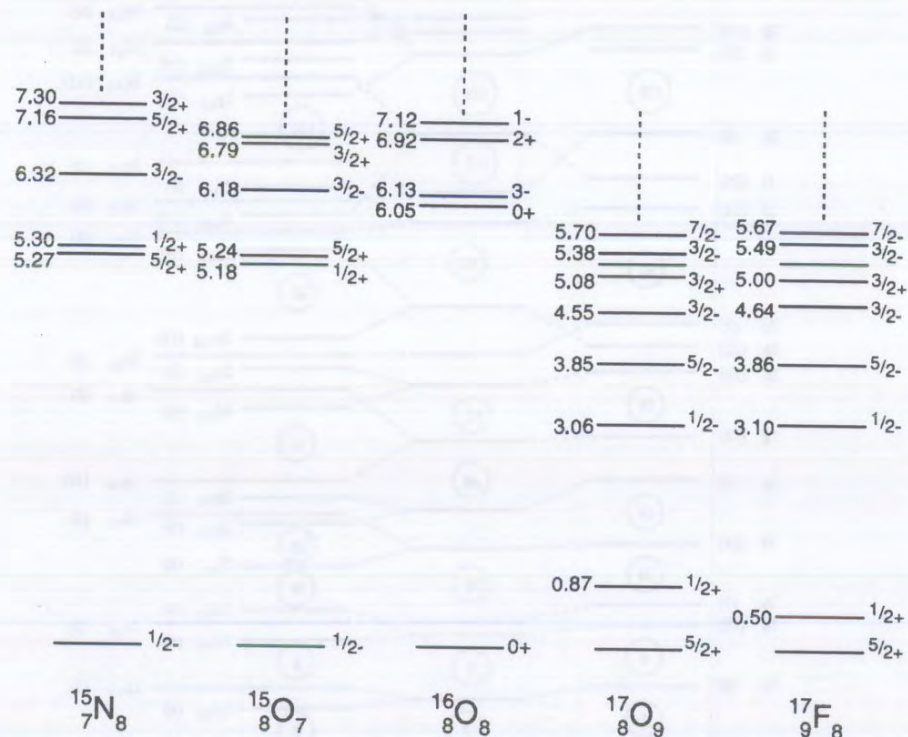
punte  $\rightarrow (-1)^{-1}$  con  $J=1$

$1P_{1/2}^{-1}$

$1P_{1/2}^{-1}$

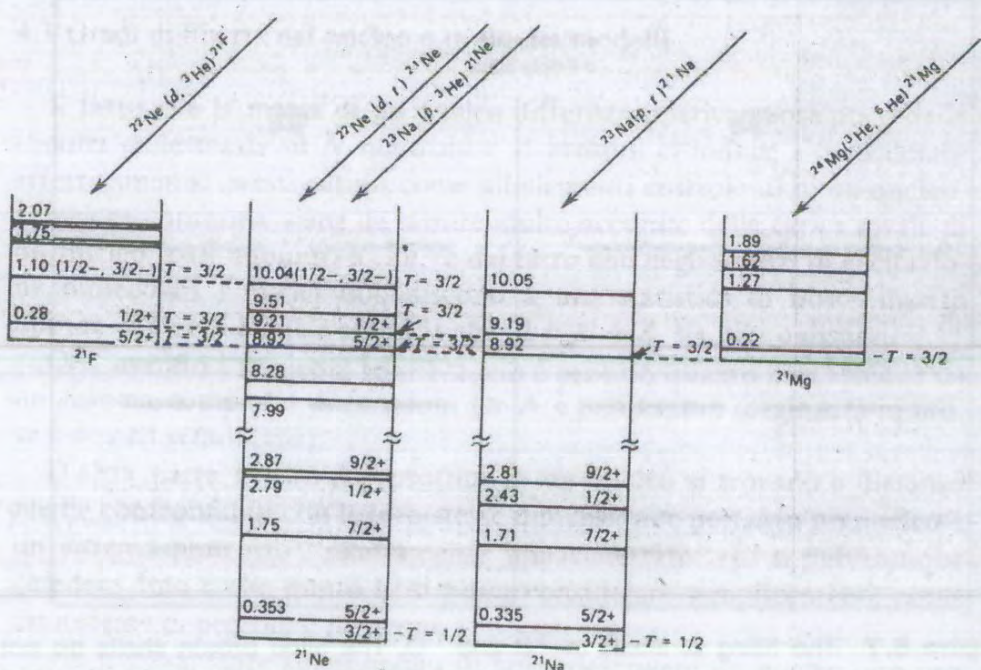
$1m_7$

$1S_{1/2}$  (il quinto del numero in meno)



**Fig. 17.7.** Energy levels of the  $^{15}\text{N}$ ,  $^{15}\text{O}$ ,  $^{16}\text{O}$ ,  $^{17}\text{O}$  and  $^{17}\text{F}$  nuclei. The vertical axis corresponds to the excitation energy of the states with the various ground states all being set equal, i.e., the differences between the binding energies of these nuclei are not shown.

### Indipendenza dalla carica delle forze nucleari



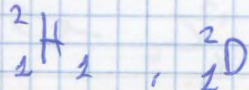
Spettro dei livelli energetici per i nuclei con  $A = 21$ ; per chiarezza di confronto gli stati isobarici ( $T = 3/2$ ) sono posti allo stesso livello (pur avendo energie diverse). (Da De Shalit-Feshbach, John-Wiley and Sons, Inc.).

in genere non sono uguale (i.e. qualche cosa deve essere ma in genere non lo sono).



### INDIPIZIENZA DELL'ATTRAZIONE NUCLEARE

STATO DEUTONE = 1 NEUTRONE + 1 PROTONE (dal nucleo di deutone)



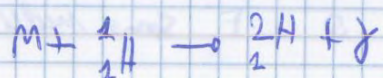
Possiamo calcolare l'energia di legame del deutone:

$$|B-E| = [M({}_{1}^2H) + M_n - M({}_{1}^2H)]c^2 = 2,2 \text{ MeV}$$

Investigammo meglio  ${}_{1}^2H_1$ , tramite raggi  $\gamma$



oppure vicino:



$$\uparrow \quad J = 1$$

Il nucleo del deutone ha momento angolare totale pari a 1

$\uparrow$   
osservato sperimentalmente Si trova in uno stato di momento

Il nucleo inoltre ha un dipolo magnetico non nullo.

$$\left( \begin{array}{l} \text{MA GRETONE DI BOTT} \\ M = \frac{e \hbar}{2 R} \end{array} \right) \quad M_0 = 0,857 \mu_N$$

Ha anche un quadrupolo momento di quadrupolo elettrico pari a:

$$Q = 0,288 \text{ fm}^2$$

Il quadrupolo dipende dalla distribuzione delle cariche elettriche, dipende dalla deformazione del nucleo rispetto alla distribuzione sferica.

$$Q = \int p(r) (3z^2 - r^2) d^3r$$

$$\text{Quindi } g_p^{(s)} = 2,73 \cdot 2 = 5,46$$

### MOMENTO MAGNETICO ANOMALO DEL PROTONE!

Capiamo che il proton è una particella NON puntiforme, le cariche elementari si distribuiscono su una regione finita di spazio

NB →  $g = 2$  per particelle puntiformi dalle tracce delle m-q. relativ.

- momento di doppio magnetico del neutrone

o esprimiamo  $M_m^{(s)} = 0$  dato che il neutrone è una particella neutra

$$\text{Inoltre Troviamo } \mu_m^{(s)} = -1,91 \mu_p \quad \frac{e \hbar}{2 M_N}$$

$$M_m^{(s)} = (0 - 1,91) M_p \quad g_m^{(s)} = 1,91 \cdot 2 \approx -3,83$$

### MOMENTO MAGNETICO ANOMALO DEL NEUTRONE!

Capiamo che il neutrone è una particella non puntiforme da è composto da cariche elementari (particelle elementari caricate) la cui somma algebrica è zero! Lo spieghi, ma vi assicuro che

Inoltre capiamo che protoni e neutrini sono particelle molto simili, dato che la parte anomala del loro momento magnetico anomalo è comparabile.

Quando in un nucleo ho un protone e un neutrino, per calcolare il momento totale, si sommano i momenti di doppio di proton e neutrino (trascriviamo per ~~che~~ avere il momento angolare orbitale)

$$\begin{array}{r} 2,73 \mu_p \\ -1,91 \mu_p \\ \hline 0,82 \mu_p \end{array} \quad \text{ptm}$$

Altro stato possibile ( $I=1$ )

$$^1P_1 \quad (s=0, l=1)$$

$$^3P_2 \quad (s=1, l=1)$$

$$^3D_1 \quad (s=1, l=2)$$

Ricopitando:

Vi sono varie виды взаимодействий, в которых мы можем сказать, что, по крайней мере, для ядерного взаимодействия протоны и нейтроны очень симметричны, имеют одинаковые взаимодействия. Импульс в основном определяется ядерным взаимодействием.

$$\left. \begin{array}{l} M-M \\ P-P \end{array} \right\} \quad \begin{array}{c} ^{21}N_2 \\ ^{10} \text{ " } \end{array} \quad \begin{array}{c} ^{21}N_2 \\ ^{11} \text{ " } \end{array} \quad \begin{array}{c} \rightarrow \text{transf. lo spettro di} \\ \text{eccitazione di questi} \\ \text{due nuclei} \end{array}$$

Sono uguali: ~~SI HANNO TRATTI DI CARICA DELLE FORZE NUCLEARI.~~

Sono invece diverse le interazioni

$$P-M \quad ^{21}_9 F_{12} \quad , \quad ^{21}_{12} Mg_9 \quad M \neq F; \quad N_2 \neq Mg$$

infatti gli spettri di eccitazione dei due nuclei sono diversi

$^{21}_{10} N_2$  esiste ed è considerato stabile ( $I=0$  è stabile di +1)

$\rightarrow$  ha un numero di protoni minimo

$$\left. \begin{array}{l} M-M \\ P-P \\ P-M \end{array} \right\} \quad \begin{array}{c} \text{non sono tutti e 3 uguali} \\ \rightarrow \text{INDIPENDENZA DELLA CARICA} \end{array}$$

Applichiamo la formula per  $M_{\text{nucleo}}$  ad un nucleo doppiamente magico ( $^{16}_8 O, I=0^+$ )

$$\sum_{i=1}^A (g_e^i \vec{l}_i + g_s^i \vec{s}_i) = g_e^p \sum_{i=1}^2 \vec{l}_i + g_s^p \sum_{i=1}^2 \vec{s}_i + g_s^n \sum_{k=1}^N \vec{s}_k = 0$$

Per nuclei doppiamente magici ~~non~~ e zero separatamente i 3 termini e il momento di dipolo magnetico totale è quindi zero e zero!

L'autovalore del isospin dà informazioni sullo stato di protoni e neutroni.

L'isospin segue le regole del momento angolare

$$1/2 \text{ isospin} \quad T = \frac{1}{2}$$

$$t_2 |p\rangle = \frac{1}{2} |p\rangle$$

$$t_2 |m\rangle = -\frac{1}{2} |m\rangle$$

$$\text{definisco } \vec{\tau} : \quad T = \frac{\vec{\tau}}{2}$$

(analogia di  $\sigma$  per le spin)

$$T_3 |p\rangle = |p\rangle$$

$$T_3 |m\rangle = -|m\rangle$$

Possiamo scrivere  $\vec{\tau}$  in forma matriciale (matrice di Pauli)

$$T_3 = \begin{pmatrix} 1 & 0 \\ 0 & -1 \end{pmatrix} \quad |p\rangle = \begin{pmatrix} 1 \\ 0 \end{pmatrix} \quad |m\rangle = \begin{pmatrix} 0 \\ 1 \end{pmatrix}$$

$$T_1 = \begin{pmatrix} 0 & 1 \\ 1 & 0 \end{pmatrix} \quad T_2 = \begin{pmatrix} 0 & -i \\ i & 0 \end{pmatrix}$$

$$T_i T_j = \delta_{ij} + i \epsilon_{ijk} T_k$$

$$\text{NB} \quad T_1 |p\rangle = \begin{pmatrix} 0 & 1 \\ 1 & 0 \end{pmatrix} \begin{pmatrix} 1 \\ 0 \end{pmatrix} = \begin{pmatrix} 0 \\ 1 \end{pmatrix} = |m\rangle$$

$$\vec{\tau}^2 = T_1^2 + T_2^2 + T_3^2 = 3 \mathbb{I}$$

$$T_1 |m\rangle = \begin{pmatrix} 0 & 1 \\ 1 & 0 \end{pmatrix} \begin{pmatrix} 0 \\ 1 \end{pmatrix} = \begin{pmatrix} 1 \\ 0 \end{pmatrix} = |p\rangle$$

2 NUOVI STATI

Stato di due nucleoni  $\rightarrow$  descrivendolo in termini di isospin

$$\vec{T} = \vec{\tau}_1 + \vec{\tau}_2$$

$$T = 1 \begin{pmatrix} 1 & |p\rangle \\ 0 & \frac{1}{\sqrt{2}}(|p\rangle + |m\rangle) \\ -1 & |m\rangle \end{pmatrix}$$

STATO DI  
TUTTO IL  
NUCLEO  
DI ISOSPIN

0 è una superposizione di due stati  $\rightarrow \frac{1}{\sqrt{2}}(|p\rangle + |m\rangle)$

Uno dei due stati ( $\Psi_{pp}$  o  $\Psi_{so}$ ) viene scartato dal confronto con il valore sperimentale

Succede sempre che  $M_0^{(pp)} \neq M_0^{(so)}$

Infatti, si ha che  $M_0^{(so)} = \mu^{exp}$  con opportuni coefficienti, ma sono:

$Q_0^2 = 0,04 \Rightarrow 9\% \text{ probabilità di trovar il deutone in } ^3D_2$

$Q_0^2 = 9,96 \Rightarrow 86\% \text{ probabilità di trovar il deutone in } ^3S_2$

(È compatibile con il fatto che  $Q \neq 0$ )

Le metà che preferisce  $^3S_2$  anche a  $^3D_2$  è ugualmente possibile.

Questo ci porta a dire che le forze nucleari sono forze non centrali

E (il momento angolare orbitale non è conservato) può trovari ( $\ell = 0$  o  $\ell = 2$ )

Le metà quindi preferisce gli stati  $|pm\rangle$  disposti in maniera antisimmetrica ( $|T=0\rangle$ ). Le forze nucleari hanno una forte dipendenza dell'isospin.

$$\left\{ \begin{array}{l} \Psi_{pp}(1,2) = \Psi^A(\bar{r}_1\bar{s}_1, \bar{r}_2\bar{s}_2) |T=1, T_z=1\rangle \\ \Psi_{so}(1,2) = \Psi^A(\bar{r}_1\bar{s}_1, \bar{r}_2\bar{s}_2) |T=1, T_z=-1\rangle \end{array} \right.$$

$$\left\{ \begin{array}{l} \Psi_{pm}(1,2) = \Psi^A(\bar{r}_1\bar{s}_1, \bar{r}_2\bar{s}_2) |T=0, T_z=0\rangle \end{array} \right.$$

$$\left\{ \begin{array}{l} \Psi_{pm}(1,2) = \Psi^A(\bar{r}_1\bar{s}_1, \bar{r}_2\bar{s}_2) |T=0, T_z=0\rangle \end{array} \right.$$

$$\Psi_{pm}(1,2) = \Psi^A(\bar{r}_1\bar{s}_1, \bar{r}_2\bar{s}_2) |T=0, T_z=0\rangle \quad \text{il deutone è in questo stato}$$

L'interazione è più elevata quando si ha  $p-m$ , invece

parte spaziale simmetrica, mentre quando le parti spaziali e di spin

e disposte in antisimmetria,  $p-p$ ,  $m-m$  e  $p-m$  hanno indennamente

proprietà una interazione più o meno identica

Quindi questo potenziale comunica con  $\vec{T}_1$ .

Mi aspetto quindi un potenziale  
(tra due punti)

$$V(n) = f(n, s) \vec{T}_1 \cdot \vec{T}_2$$

Questo potenziale soddisfa le simmetrie spaziali  
riguardanti l'angolazione tra le interazioni.

$m - m$  e  $p - p$   
può comunicare con il photon che scambi  $m - p$

Imoltre

$$H \Psi_{mp}^{(T=1)} = E_1 \Psi_{mp}^{(T=1)}$$

$$H \Psi_{mp}^{(T=0)} = E_0 \Psi_{mp}^{(T=0)}$$

Questo funzione del potenziale tiene conto che lo stato singletto

( $m-p$  con  $T=0$ ) è mediamente più legato dello stato  
tripletto lasciati con  $m-p$  e  $T=1$ ?

Confrontiamo  $E_0$  e  $E_1$ !

$$\vec{T} = \vec{T}_1 + \vec{T}_2$$

«i punti» adatto rappresentano  
le punti

$$\vec{T}^2 = \vec{T}_1^2 + \vec{T}_2^2 + 2\vec{T}_1 \cdot \vec{T}_2$$

$$\vec{T}_1 \cdot \vec{T}_2 = \frac{1}{2} (\vec{T}^2 - \vec{T}_1^2 - \vec{T}_2^2)$$

$$\frac{\vec{T}_1 \cdot \vec{T}_2}{4} = \frac{1}{2} \left( \vec{T}^2 - \frac{\vec{T}_1^2}{4} - \frac{\vec{T}_2^2}{4} \right)$$

$$\vec{T}_1 \cdot \vec{T}_2 = 2\vec{T}^2 - \frac{\vec{T}_1^2}{2} - \frac{\vec{T}_2^2}{2}$$

$$\langle \underbrace{T_1, T_2} | \underbrace{\vec{T}_1, \vec{T}_2} | T_1, T_2 \rangle = 2T(T+1) - 3 =$$

punti dell'isospin di  $\Psi$ !

$$\text{NB } \vec{C}^2 = 3\mathbb{1}$$

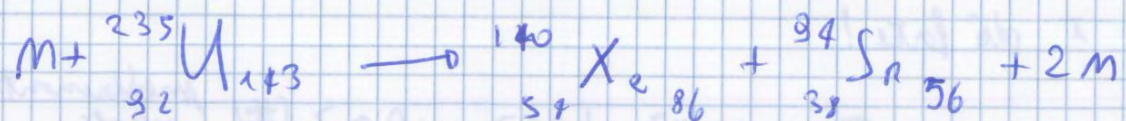
$$T_i T_j = \delta_{ij} + i \epsilon_{ijk} T_k$$

$$\begin{cases} 1^{\text{a}} \text{ upolare} \\ T=1 \end{cases}$$

$$T=0$$

↑  
punti dell'interazione  
che competi all'isospin

## ESEMPIO SULLA SEZIONE DI URTO



$$Q = \underbrace{M_m + M_u - M_{Xe} - M_{Sr}}_{\text{energia iniziale}} - 2M_n = K_{Xe} + K_{Sr} + K_{n1} + K_{n2}$$

solo termine d'urto

$$Q = \mu_u - \mu_{Xe} - \mu_{Sr} - \mu_m$$

$$|B.E.|_{Xe} + |B.E.|_{Sr} - |B.E.|_u = Q$$

↳ energia di libere libere

$$|B.E.|_{Xe} = [54 \mu_p + 86 \mu_n - \mu_{Xe}] c^2$$

$$|B.E.|_{Sr} = [38 \mu_p + 56 \mu_n - \mu_{Sr}] c^2$$

$$|B.E.|_u = [92 \mu_p + 143 \mu_n - \mu_u] c^2$$

$$Q = |B.E.|_{Xe} + |B.E.|_{Sr} - |B.E.|_u$$

$$Q = -\mu_m - \mu_{Xe} - \mu_{Sr} + \mu_u$$

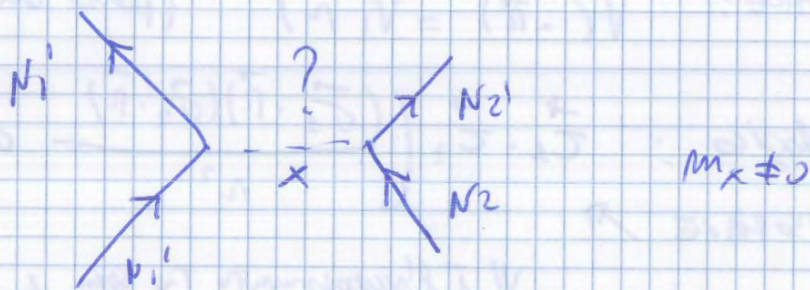
$${}_{32}^{235}U \longrightarrow \frac{Z}{A} = 0,392$$

$${}_{54}^{140}Xe \longrightarrow \frac{Z}{A} = 0,382$$

$${}_{38}^{94}Sr \longrightarrow \frac{Z}{A} = 0,402$$

} Vengono prodotti nuclei più  
leggari ma con simboli  $\frac{Z}{A}$   
sono nuclei molto radioattivi

$N \rightarrow$  nucleon



Se i nucleoni non sono particelle elementari! Non poss. usare la QED. Si studia considerando che i nucleoni sono formati da quark  $\rightarrow$  Chromodinamica quantistica: QCD

Possiamo invece pensare di studiare l'interazione nucleare pensando ai nucleoni come particelle elementari (differenze n/p+ e e-: raggio di interazione non infinito, ma finito e  $m_x \neq 0$  messa delle particelle che modifica l'interazione diverse da zero).

NB luce  $\Rightarrow m_f = 0$  se luce e qualsiasi particella con

massa  $\neq 0$  non è in quieto per nessun sistema di riferimento, è sempre in moto  $\Rightarrow$  stato e spin  $\neq 0$  (che implica stato e quieto) non possibili.

Possiamo pensare ad una equazione di Schrödinger simile in termini relativistici

NB in termini relativistici, anche il potenziale dipende dalle quantità di moto ( $V$  è indipendente da  $\vec{p}$  solo in termini non relativistici)

$$E \rightarrow -i\hbar \frac{\partial}{\partial t} \quad \vec{p} \rightarrow -i\hbar \vec{\nabla}$$

EQUAZIONE DI SCHRÖDINGER LIBERA, SENZA POTENZIALE

$$-\hbar^2 \frac{\partial^2}{\partial x^2} \phi(\vec{r}, t) = -\hbar^2 c^2 \nabla^2 \phi(\vec{r}, t) + m^2 c^4 \phi$$

$$\left( \nabla^2 - \frac{1}{c^2} \frac{\partial^2}{\partial t^2} \right) \phi(\vec{r}, t) = \frac{m^2 c^2}{\hbar^2} \phi(\vec{r}, t) \quad \text{equazione di Klein-Gordon}$$

$$\nabla^2 \phi = \frac{m^2 c^2}{h^2} \phi$$

non abbiamo le singolarità!  
ma non abbiamo la singolarità

Proviamo ad raggiungere un termine (in analogia con il caso  $m=0$ )

$$\nabla^2 \phi = \frac{m^2 c^2}{h^2} \phi - g \delta(\vec{r})$$

$$\frac{q}{E_0} \rightarrow g$$

quante le quantità dell'interazione!

Più seguendo l'equazione si trova:

$$\phi = \frac{g}{4\pi} \frac{1}{n} e^{-\frac{R}{R_0}}$$

dove  $R_0 = \frac{1}{mc}$   $\left( \nabla^2 \phi = \frac{1}{R_0^2} \phi - g \delta(\vec{r}) \right)$

per piccoli  $R$  va come  $\frac{1}{n}$

quando  $R$  aumenta l'esponentiale manda a zero l'espansione  $\phi$   
spunto vicamente? dipende da  $n$ !

$$\text{Se } m=0 \quad R_0 \rightarrow \infty \quad \left( \rightarrow e^{-\frac{R}{R_0}} = 1 \right)$$

più leggero i messo, più l'interazione è e più negativo.

Sappiamo, dagli esperimenti risulta che  $R_0 \approx 1 \div 2 \text{ fm}$

$$\text{quindi } m \times c^2 \approx (100 \div 200) \text{ MeV}$$

nucleo  
L'interazione nucleo è mediata da un ~~oggetto~~ oggetto messo,  
che rappresenta l'interazione nucleare.

Abbiamo quindi di mettere davanti l'interazione! È' accettabile?  
Io quando ho messo

SPIN

$$S = \frac{1}{2}, \frac{3}{2}$$

BARIONI (p, n)

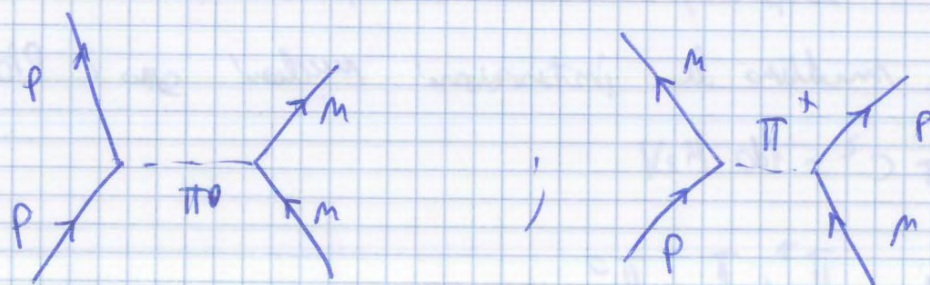
$$S = 0$$

MESONI ( $\pi$ )

↳ mesoni più leggeri = pion

isospin dei pion = 1

ESEMPIO DI ~~REBBE E VOLTAZIONE~~ POTENZIAZIONE DI SCAMBIO DEI PIONI

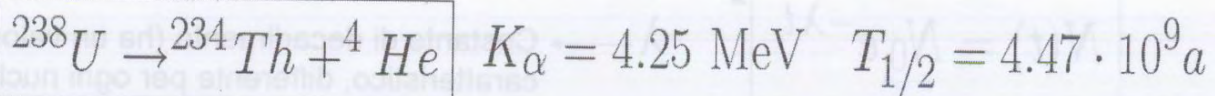
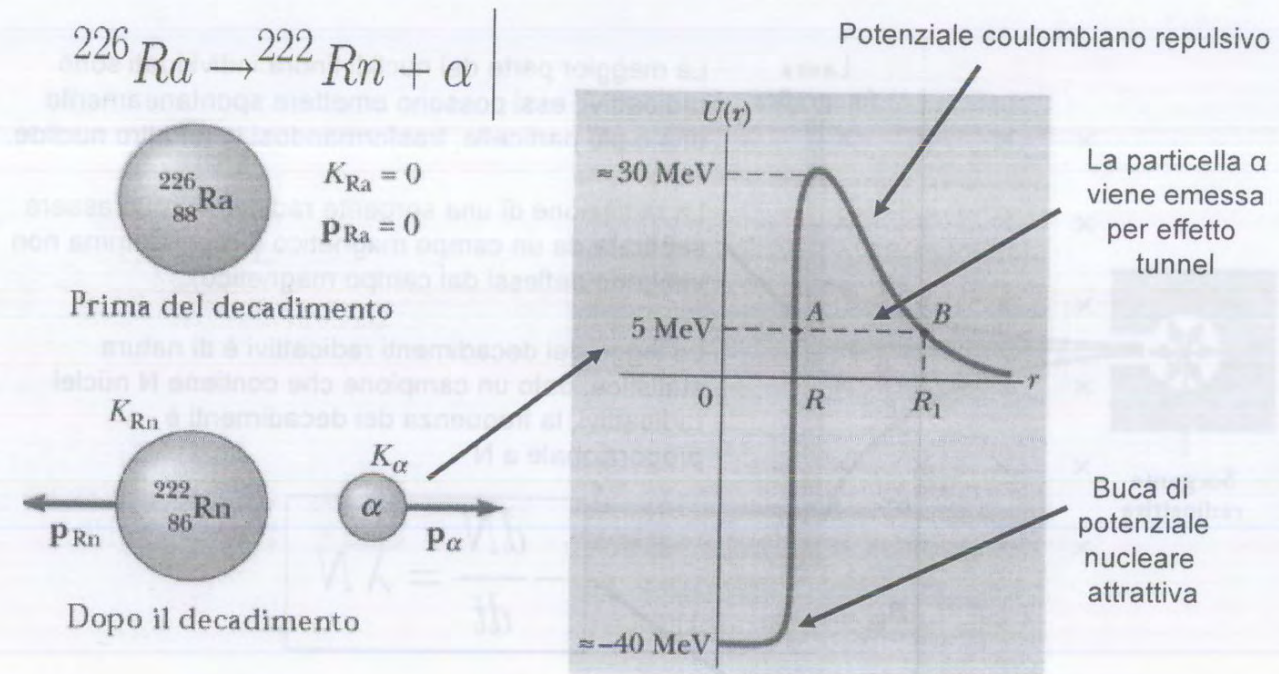


il pion trasporta le quantità di moto ed energia, viene cioè a descrivere in SE.

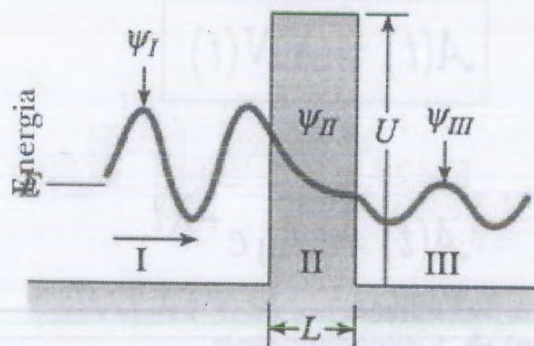
pioni VIRTUALI  $\rightarrow$  non li vediamo effettivamente, in questo contesto modellano l'interazione

Nelle reazioni nucleari, invece, vediamo i pioni! Li rileviamo sperimentalmente! Vengono cioè i non osservabili!

## Decadimento alpha



## Effetto Tunnel



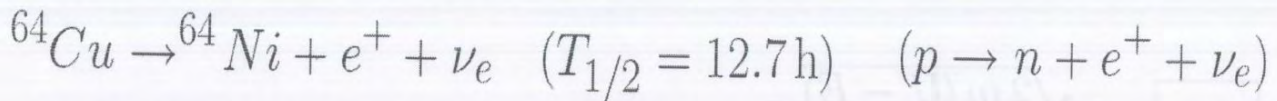
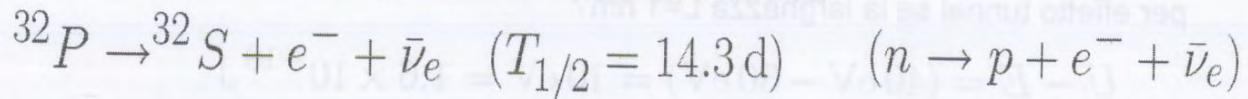
Coefficiente di trasmissione

$$T \approx \exp(-2CL)$$

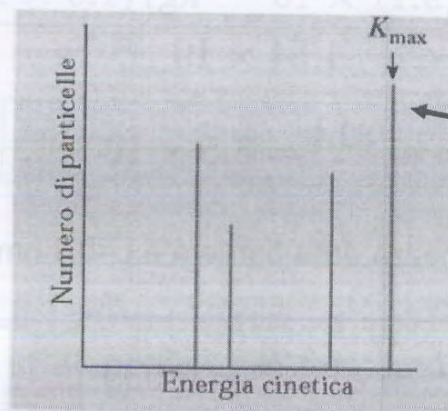
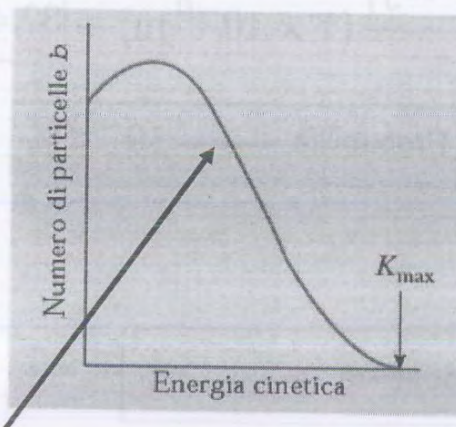
$$C = \frac{\sqrt{2m(U-E)}}{\hbar}$$

- Diodo tunnel
- Giunzione Josephson
- Decadimenti radioattivi (alpha)
- Microscopio a scansione ad effetto tunnel

## Decadimento beta

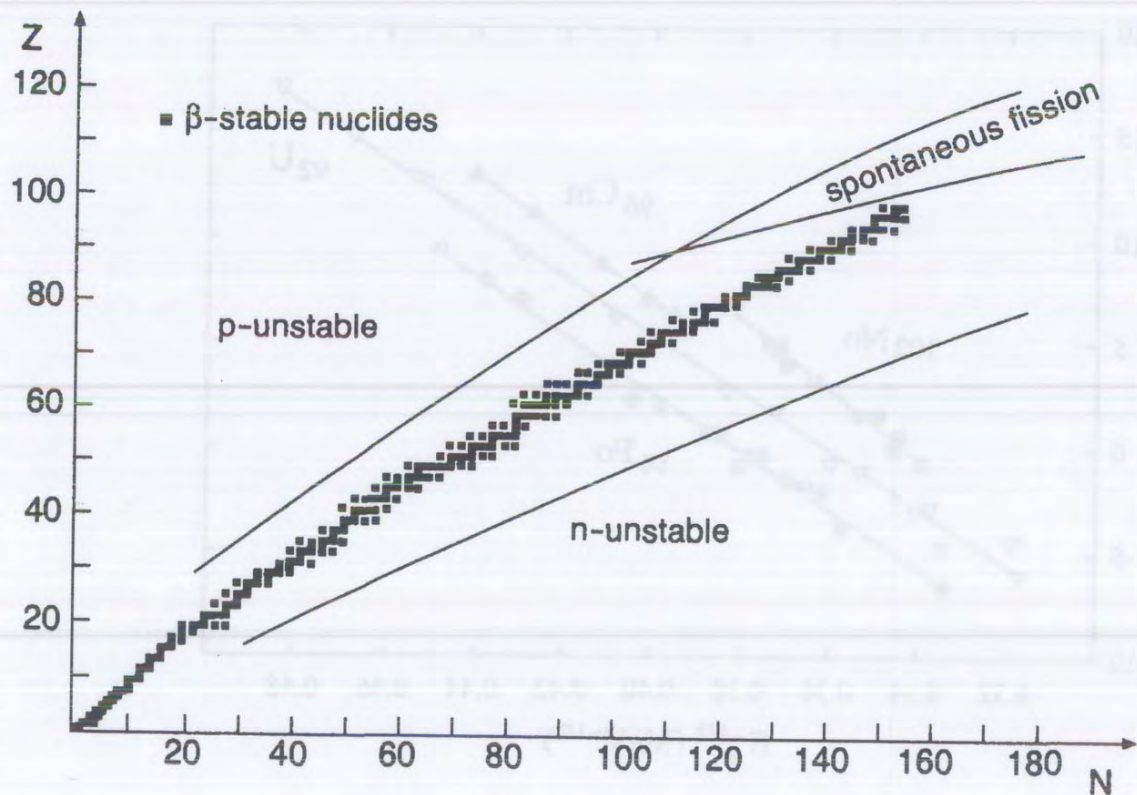


La caratteristica fondamentale dei decadimenti beta è che la particella beta emessa non ha sempre la stessa energia cinetica a fissato decadimento radioattivo



Energia delle particelle alpha emesse in diversi decadimenti (a fissato decadimento, l'energia cinetica è sempre la stessa)

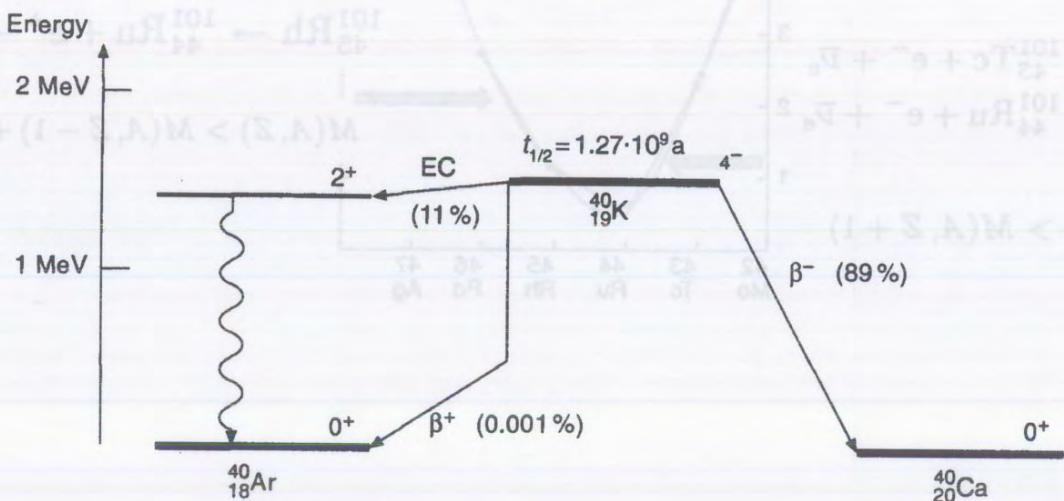
Spettro delle particelle beta emesse a fissato decadimento



## Cattura elettronica

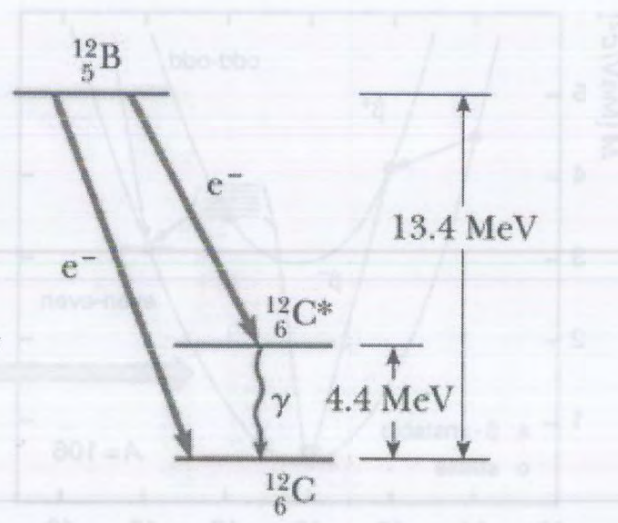


$$M(A, Z) > M(A, Z-1) + \varepsilon$$



## Decadimento gamma

Frequentemente, un nucleo che subisce un decadimento radioattivo rimane in uno stato energetico eccitato. Può quindi subire un ulteriore decadimento ad uno stato di energia più bassa emettendo un fotone con una energia dell'ordine del MeV (raggi gamma).



## REAZIONI NUCLEARI

I decadimenti radioattivi sono una particolare classe di reazioni che avvengono spontaneamente senza bisogno di alcun intervento esterno.

$$Q = \left[ \sum_k M_k^{in} - \sum_k M_k^{fin} \right] c^2 = \Delta E_k$$

- Se  $Q > 0$  la reazione è **ESTERNA** (avviene spontaneamente) e questa emette oppure come un incremento di energia cinetica.
- Se  $Q < 0$  la reazione è **ENDERNA** e queste emette rappresenta un aumento dell'energia e ~~mpre~~ <sup>la reazione</sup> avviene solo se la particella incidente (neutrina) ha una energia cinetica maggiore di  $|Q|$ .  
L'energia minima sufficiente la reazione avviene è detta **ENERGIA DI SOGLIA**.

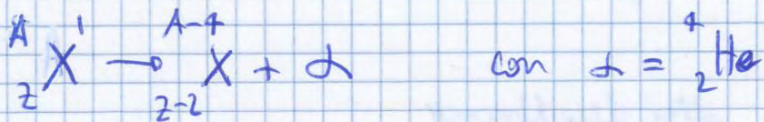
## DECADIMENTI RADIAATTIVI

I decadimenti radioattivi sono reazioni nucleari con  $Q > 0$ .

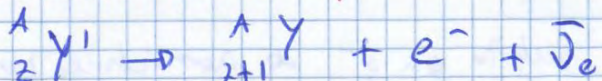
(Vi è la conservazione del numero bariovico, cioè del numero di particelle con spartim. semiintero, e delle cariche)

I decadimenti coinvolgono nuclei instabili che decadono in nuclei più stabili (con maggiore energia di legame) tramite emissione di particelle  $\alpha$ ,  $\beta$ ,  $\gamma$  ( $\alpha = {}^4_2 \text{He}_2$ ,  $\beta^+ = e^+$ ,  $\beta^- = e^-$ ,  $\gamma$ ). La massa del risultante è sempre inferiore a quella iniziale.

### • DECADIMENTO $\alpha$



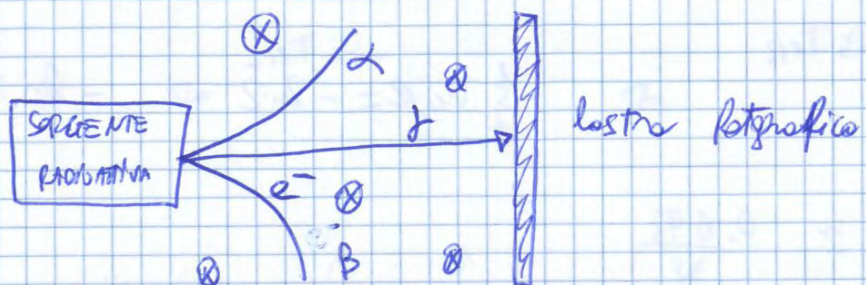
### • DECADIMENTO $\beta^-$



$\bar{\nu}_e$  dentro il neutrino essendo all'ant

È la radiazione elettromagnetica nello spazio dei raggi  $\gamma$ .

I tre decadimenti possono anche esser distinti in base alle differenti curvature dei prodotti quando immersi in un campo magnetico.



La legge dei decadimenti radioattivi è di natura statistica: dato un campione di sostanza  $N$  nuclei radioattivi, la frequenza dei decadimenti è proporzionale a  $N$  secondo la seguente legge empirica:

$$\frac{dN(t)}{dt} = -\lambda N(t) \quad \text{equazione differenziale del 1° ordine}$$

(il - indica che  $N$  diminuisce con i nuclei decaduti)

condizione iniziale ( $t=0$ )  $N(0) = N_0$

$$\int_{N_0}^{N(t)} \frac{dN'}{N'} = \int_0^t -\lambda dt' \Rightarrow \ln \frac{N(t)}{N_0} = -\lambda t$$

$$N(t) = N_0 e^{-\lambda t}$$

$$\lambda \rightarrow \text{costante di decadimento}$$

$$[\lambda] = \text{a}^{-1}$$

$\lambda$  è detta costante di decadimento ed ha un valore caratteristico differente per ogni nucleo radioattivo.

Nelle tabelle generalmente si specifica il tempo di diminuzione anche  $\lambda$ . Il tempo di dimezzamento è il tempo massimo affinché  $N$  sia dimezzato, quello che il campione impiega per decadere da  $N$  a  $\frac{N}{2}$ .

ATTIVITÀ DEL CAMPIONE RADIAZIONE (O FREQUENZA DI DECIMENTO)

= numero di decadimenti per unità di tempo  $\Rightarrow A(t) = \lambda N(t)$

$$(A(t) = \left| \frac{dN}{dt} \right|)$$

Sostituendo  $A(t)$  nella legge di decadimento radioattivo ottieniamo

$$A(t) = A_0 e^{-\lambda t}$$

La velocità decresce nel tempo, dato che diminuisce il numero di elementi

$$[A] = Bq \quad 1 Bq = 1 \text{ decadimento/s} \quad (\text{SI})$$

Per non portare il dato potenza elevata si usa il Curie (Ci)

$$1 \text{ Curie} = 3,7 \cdot 10^{10} Bq \quad (\text{rispettiva elettricità di 1 g di Ra})$$

ESEMPIO

$$\begin{aligned} {}^{238}U &\rightarrow T_{1/2} = 4,47 \cdot 10^9 \text{ y} & \rightarrow & \quad (\text{$T_{1/2}$ imparabile}} \\ {}^{235}U &\rightarrow T_{1/2} = 7,04 \cdot 10^8 \text{ y} & & \text{con l'età del Teo}) \\ {}^{232}Th &\rightarrow T_{1/2} = 1,4 \cdot 10^{10} \text{ y} & & \text{tutti decadono scade di!} \end{aligned}$$

ESEMPIO

Supponiamo  $t=0$ ,  $N(0)=N_0=0$

All'inizio non ci sono nuclei radioattivi di una certa specie -  $U_238$  poi un acceleratore di particelle che permette il bombardamento di neutroni nucleari producendo un dato numero  $N$  di decadimenti.

$$N = P = \phi_0 N_0 \sigma = \text{cost.}$$

L'onda di neutroni

$$N(t) = ?$$

$$\left[ \frac{1}{\lambda} R e^{\lambda t} \right]_0^t = N(t) e^{\lambda t}$$

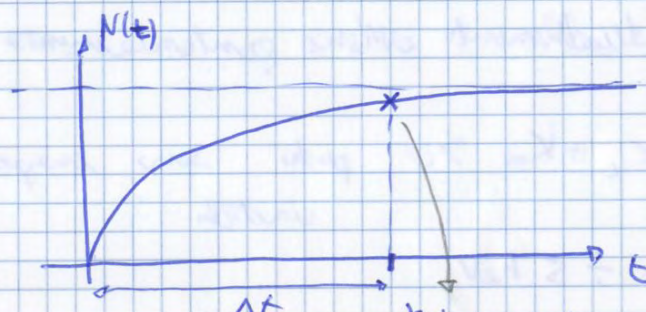
$$\frac{R}{\lambda} (e^{\lambda t} - 1) = N(t) e^{\lambda t}$$

$$N(t) = \frac{R}{\lambda} e^{-\lambda t} (e^{\lambda t} - 1) = \frac{R}{\lambda} (1 - e^{-\lambda t})$$

$$N(t) = \frac{R}{\lambda} (1 - e^{-\lambda t})$$

$$\lim_{t \rightarrow +\infty} N(t) = \frac{R}{\lambda}$$

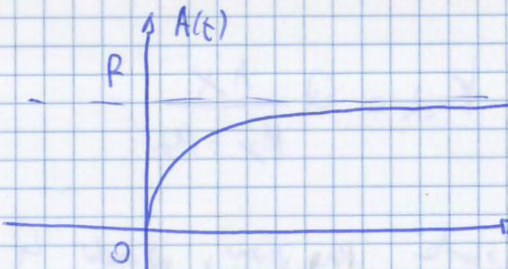
$$t \rightarrow 0 : N(t) = \frac{R}{\lambda} \lambda t + o(t)$$



in questo punto si dice che si è raggiunto l'equilibrio stabile

la specifica varia di caso, in caso, in genere è il valore dopo il quale non si registrano variazioni superiori al 1%.

$$A(t) = \lambda N(t) = R(1 - e^{-\lambda t})$$



mettendo i numeri nelle formule trovate si ha:

$$t \approx \frac{A T_{1/2}}{\ln 2 \cdot R} = 1,54 \text{ giorni}$$

$$t \approx \frac{A}{\lambda R}$$

$$Q = |B \Xi I_x| + |B \Xi I_x| - |B \Xi I_x|$$

L'energia di legame in valore assoluto è maggiore nello stato final

In base alle formule semiempiriche di mosse il guadagno di magia due avvolte del tunnel carburabili (il tunnel di paixing non inviabile dato che il nucleo niente PAR o DISPAR a seconda dello stato inviabile e mentre il tunnel di simmetria viene modificato più nuclei presenti).

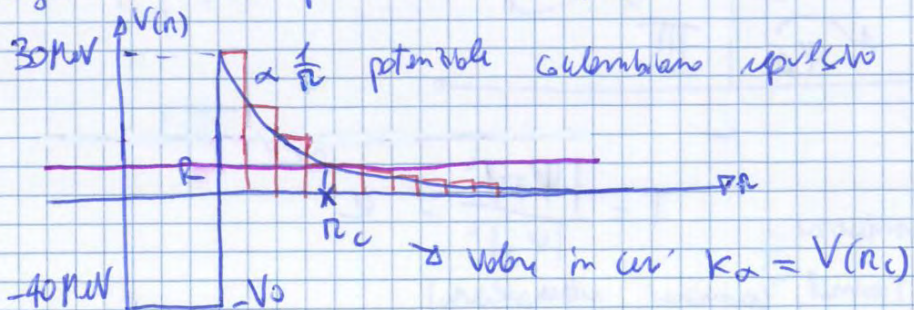
Di conseguenza per i due stabilità  $\Delta$  gli  $A$  sono dell'ordine di 200 e non arrivano più a  $A < 150$ .

I tempi di dimezzamento, o secondo del nucleo pesante, variano dai milioni di anni ai mili secondi. Ciò è una conseguenza dell'effetto tunnel. Il dimezzamento infatti avviene per effetto tunnel.

$$A = \textcircled{1} \textcircled{2} \Rightarrow \textcircled{1-4} \textcircled{2}$$

Un po' e pensare che all'interno del nucleo c'è uno stato fortemente legato tra  $2p$ ,  $2n$  (particelle  $L$ ). Possiamo pensare alle particelle  $L$  come un pezzo di nucleo molto stabile (fra i nuclei leggeri nessuno ha un picco di energia di legame come  $L$ , dato che  $L$  è un nucleo doppiamente magico all'interno del nucleo  $X$ ).

Si ragiona sulle probabilità di fluorescenza del nucleo



Più applicare l'effetto tunnel al caso dei decadimenti  $\lambda$ , bisogna suddividere il potenziale Coulombiano in tante barriere di potenziale rettangolari, sufficientemente piccole. Dunque le particelle  $\lambda$  dovranno attraversare  $N$  barriere per effetto tunnel.

La probabilità di attraversamento dell'intero potenziale sarà il prodotto delle probabilità di attraversamento di ogni singola barriera (assiunti indipendenti).

$$T^1 = e^{-2C_1 \Delta x_1} \cdot e^{-2C_2 \Delta x_2} \cdots e^{-2C_m \Delta x_m}$$

$$T = e^{-2 \sum_{k=1}^m C_k \Delta x_k} = e^{-2G}$$

( $G \rightarrow$  fatto di Gamov, da Gamov che sviluppò queste teorie)

$$G = \frac{1}{\hbar} \int_R^{R_C} \sqrt{2m(V(n) - K_0)} dn$$

$$R_C : V_C(n_C) = K_0 \Rightarrow \frac{1}{4\pi\epsilon_0} \frac{2(z-2)e^2}{R_C} = K_0$$

$$R_C = \frac{2(z-2)e^2}{4\pi\epsilon_0 K_0} \quad V(n) = \frac{1}{4\pi\epsilon_0} \frac{2(z-2)e^2}{n}$$

$$G = \frac{1}{\hbar} \int_R^{R_C} \sqrt{2mK_0} \sqrt{\frac{V(n)}{K_0} - 1} dn$$

$$\frac{V(n)}{K_0} = \frac{R_C}{n}$$

Quindi il fattore  $G$  è inversamente proporzionale alla velocità delle particelle  $\alpha$ .

Tanto più è grande  $T$ , tanto maggiore è la probabilità di decadimento nell'unità di tempo. Quindi  $T$  è legato a  $\lambda$ .

In realtà non si ottiene moltiplicando  $T$  per la probabilità di trovare le particelle  $\alpha$  sulla superficie della barriera. Si dimostra che il termine dominante è sempre quell'esponeziale legato a  $T$  (la probabilità di trovare le particelle sulla superficie da un contributo minore).

$$\lambda \propto T = e^{-2G}$$

$$T_{1/2} \propto e^{-2G} = e^{-2G} = e^{-\frac{2\pi(2-1)\alpha C}{2K_F \alpha^2}}$$

$$T_{1/2} \propto e^{-\frac{4\pi\alpha^2}{2K_F \alpha^2}}$$

Legge empirica di legge  $T_{1/2} \propto K_F$ :

$$\ln T_{1/2} = a + b \ln K_F$$

REAZIONE  $\alpha$   
GEIGER - MULLIK

Questa relazione si conosce già nel 1911, infatti ha molti dati delle osservazioni sperimentali da diversi isotopi di nuclei radioattivi (decaimenti  $\alpha$ ) e risulta di avendo un andamento del  $\ln T_{1/2}$  come  $\ln K_F$ , quindi  $T_{1/2}$  molto diverso tra loro.

Questo modellino ci spiega come i tempi di dimezzamento che molti con  $K_F$  diversi risultano essere diversi: esso infatti va bene al variare di  $K_F$  ( $K_F$  dipende dalla mezz'ora! diversi isotopi, grandi con  $M_F$  diversi, danno luogo a decadimenti con  $K_F$  diversi, quindi questo influenza sul tempo di dimezzamento)

Il modello che spiega il decadimento  $\alpha$  tramite l'effetto tunnel quando è in accordo con le osservazioni sperimentali (con le leggi empiriche (con lo stesso risultato delle leggi empiriche!))

$$A(t) = \frac{0,693}{T_{1/2}} \cdot \frac{1g \cdot N_A}{238,05} = 6 \cdot 10^{-11} \frac{\text{dec}}{\text{g} \cdot \text{s}}$$

(1g di decadimento  
per unità di tempo  
per grammo)

di Atopodio

$$P = A(t) \cdot K_d = 6 \cdot 10^{-11} \frac{\text{dec}}{\text{g} \cdot \text{s}} \cdot 33,6 \text{ MeV/g}$$

potenza istantanea per  
1 grammo di Plutonio

$$P = A(t) \cdot Q \cdot F_C = 0,6 \frac{\text{W}}{\text{g}}$$

$$\text{bitone di conversione} = 1,6 \cdot 10^{-13} \frac{\text{J}}{\text{per}}$$

La potenza prodotta è piccola, ma è una potenza costante, stimabile, esistente. Anche a piccole è sufficiente per alcuni applicazioni, come per esempio i decadimenti e i raggi X come generatori di corrente elettrica.

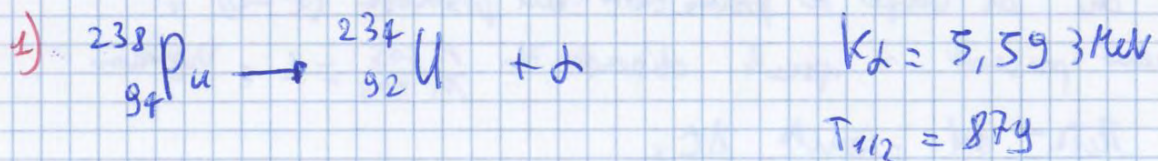
Le applicazioni più famose sono quelle in campo aerospaziale:

RTG → generatori termoelettrici a radioisotopi

(Il calore generato dalla pila cella è generato dal decadimento, viene convertito dal generatore termoelettrico)

Usati nelle missioni spaziali (Apollo), nelle sonde.

ESEMPI NUMERICI



Si vuole usare il Plutonio per dominare una sonda spaziale che viaggia verso un pianeta. Per farlo si impiega fission e l'efficienza di conversione del generatore termoelettrico è da  $\eta = 5\%$ . La potenza minima misurata è 200W.

Quindi le probabilità di trovare le particelle a determinate posizioni sono date da

$$T = e^{-2G} \quad \text{con } G \propto K_j^{-1/2}$$

Tanto più  $T$  è grande, tanto più sono grandi le probabilità di depositamento.  $T$  è strettamente legato a  $\lambda$ , costante di depositamento:

$$\lambda \propto e^{-2G}$$

$$T_{1/2} \propto e^{-2G}$$

$\lambda$  dipende anche dalle probabilità di trovare le particelle a determinate posizioni (quante volte stessa sulla barriera si possono posizionare le particelle e come come pelline che va avanti e indietro nella barriera), ma il termine  $e^{-2G}$  è dominante (probabilità di attraversamento).

$$\ln T_{1/2} = a + b Z K_j^{-1/2} \quad \text{LEGGE empirica}$$

→ RELAZIONE DI GEIGER - MUSSER

In questo modello i predominanti è l'effetto tunnel. Basta una piccola variazione di  $K_j$  (con  $K$  fissato), date da diverse messe iniziali e finali, per avere un cambiamento assolto molto molto grande di  $T_{1/2}$ !! Questo è dovuto alla presenza di un esponente, dominante dell'effetto tunnel. Questi valori assoluti enormi di  $T_{1/2}$  sono perfettamente osservati sperimentalmente e sono la conferma del modello quantistico e del modello che abbiamo visto finora.

Tuttavia le potenze i sufficienze ad alimentare microcircuetti elettrici per molto tempo.

In fisica medica vengono utilizzati per alimentare pacemaker.

Le potenze i costante per molto anni perché il tempo di dimezzamento i molto grandi!! (87Y)

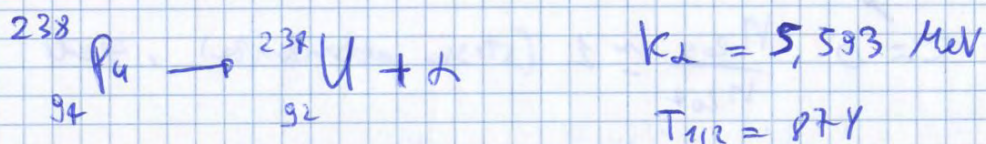
I dimezzamenti radioattivi vengono utilizzati soprattutto in campo aerospaziale  $\rightarrow$  RTG (generatori termoelettrici a radioisotopi)

↓

missioni spaziali, navi spaziali, spall 14

L'energia termica viene convertita in energia elettrica

Esercizio (tema d'esame)



Viaggia di  $\Delta t = 4 \text{ Y}$  con efficienza di conversione di energia

termica ad elettrica:  $\eta = 5\%$

Si vuole arrivare sul pianeta dopo 4 anni con una potenza <sup>minima</sup>

di  $P_m = 200 \text{ W}$ . Quanto plutonio dobbiamo caricare

sulle sonde di spazio?  $N_{\text{Pu}}(t) = ?$

Si colpisce prima l'atomo  $A - \lambda N$

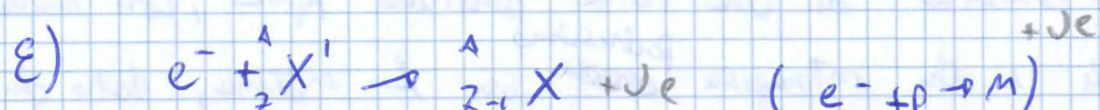
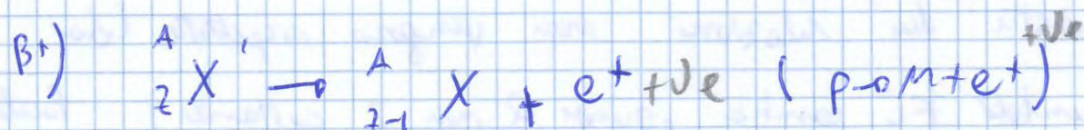
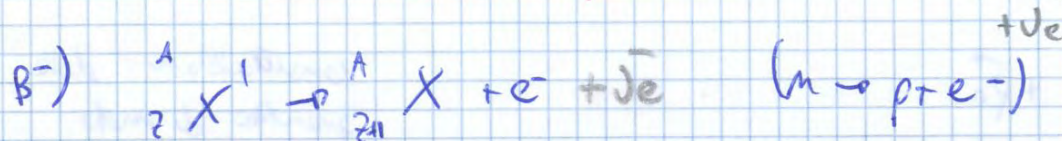
ATTIVITA' dopo 4 ANNI  $N_0 e^{-\lambda \Delta t}$

$$P(t=4 \text{ Y}) = N_0 e^{-\lambda \Delta t} k_2 \cdot \eta \underset{\downarrow}{F_c} \geq P_m$$

fattore di conversione  $\left(\frac{J}{\text{MeV}}\right)$

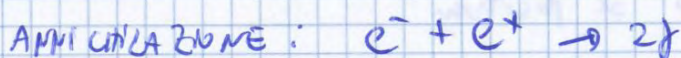
$$N_0 \geq \frac{e^{-\lambda \Delta t} \cdot 200 \text{ W}}{\lambda 905 \cdot 5,593 \text{ MeV}} = 1,85 \cdot 10^{-25} \text{ (nuclei di } ^{238} \text{Pu})$$

## DECADIMENTI $\beta$



Per esempio I decadimenti  $\beta$  avvengono per nucleo leggero

$\bar{\nu}e$  più facile studiare il decadimento  $\beta^-$ , dato che il positrone  $e^+$  magisce subito con la neutrino, decadendo subito,



e proton + legge del neutrino!

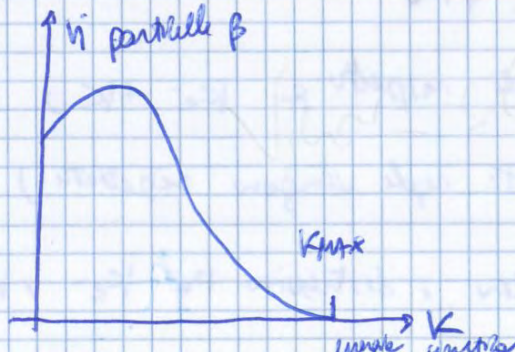
In il decadimento del neutrino allo stato libero  $n \rightarrow p + e^-$ , si ha:

$$\tau_n = 886 \text{ s} \approx 14,76 \text{ min}$$

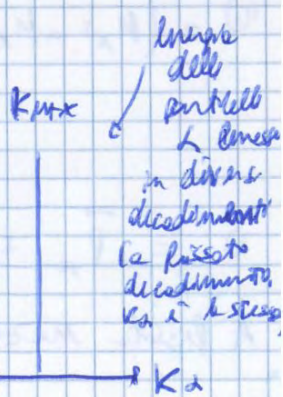
$$T_{1/2} = 10,2 \text{ min}$$

Se rilasciamo gli elettroni che vengono emessi in un decadimento  $\beta^-$ , troviamo che la partecipa  $\beta$  emessa (elettrone) non ha sempre la stessa energia cinetica e fissato decadimento (o differenze del decadimento  $\beta$ ). (decadimento  $\beta \rightarrow$  nucleo neutro - legge)

Confrontiamo i profili



n partecipa  $\beta$



linee delle partecipa  
La linea  
in diversi  
decadimenti  
la fissato  
decadimento  
Kα è la scia

$$Q \simeq K_e + K_\nu$$

è il neutrino si prendono tutte l'energia a disposizione.

$Q$  è fisso, ma può variare la distribuzione di queste energie tra elettrone e neutrino.

Calcolando  $Q$ , possiamo avere una stima indiretta delle masse dei neutrini.

Facciamo una misura sperimentale (quando  $K_e$  è massima)

$$K_e|_{\text{Max}} \simeq Q \quad (K_\nu \simeq 0)$$

Per molti anni si è pensato che  $m_\nu = 0$ , perché calcolando  $K_e$ , si trova proprio  $Q$  (all'interno delle precisioni sperimentali), quindi:  $\Delta$  senza il contributo di  $m_\nu$

$$K_e|_{\text{Max}} \simeq Q = (m_e - m_{e-m_\nu}) c^2 \Rightarrow m_\nu \simeq 0$$

Del punto di vista concettuale è bene capire che le masse dei neutrini non sono, ma nelle applicazioni si considera come una parentesi a masse nulle (le masse è già piccole da essere praticamente trascurabili).

Il neutrino è un oggetto relativistico:

$$K_\nu = E_\nu \simeq h\nu$$

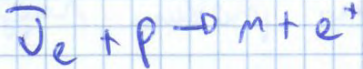
$$P_\nu = \frac{E_\nu}{c} \quad ?$$

I neutrini sono difficili da rilevare poiché hanno una sezione d'urto molto bassa. I neutrini interagiscono prevalentemente in moto, gli sperimenti durano anni.

E' possibile distinguere  $\bar{e}$  e  $\bar{\nu}_e$ ?

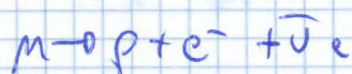
## ESPERIMENTI CHE HA FATTO STORIA (Reines - Courter 1953)

i) REINES - COURTER 1953



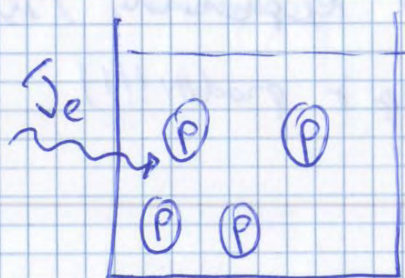
Avevano bisogno di neutrini e andarono vicino ad un reattore e fissione.

Con i neutrini ottinnero una sorgente di neutrini dal decadimento del neutrino:



I neutrini vennero fatto interagire con un'enorme tanica di idrogeno (quindi protoni).

Il flusso di neutrini era di  $\phi_0 = 10^{13} \text{ cm}^{-2} \text{ s}^{-1}$   
tanica = scintillatore liquido



Con una probabilità molto bassa (ma abbina tantissimi  $\bar{e}$ ) il neutrino interagisce con i protoni.

Quando interagiscono viene emesso un positrone. Si viene emessi un positrone, esso interagisce con gli elettroni dell'idrogeno e questi instantaneamente vengono prodotti 2 raggi  $\gamma$



Raggi  $\gamma$  emessi con stessa energia e quantità di moto opposte.

$$K\gamma \approx 0,5 \text{ MeV}$$

Vi è quindi un segnale tangibile del fatto che il neutrino ha interagito.

## ANALISI ZONE

$$e^+ + e^- \rightarrow \gamma_1 + \gamma_2$$

Conservazione dell'energia  $2mc^2 = h\nu_1 + h\nu_2$

Conservazione delle quantità di moto  $\vec{0} = \vec{p}_1 + \vec{p}_2 \Rightarrow \vec{p}_1 = -\vec{p}_2$

NB andamento delle nostre considerazioni delle linee

I due fotoni vengono emessi con  $\vec{p}$  uguali e opposti

$$|\vec{p}_1| = \frac{h\nu_1}{c} = |\vec{p}_2| = \frac{h\nu_2}{c} \Rightarrow \nu_1 = \nu_2 = \nu$$

$$2mc^2 = 2h\nu \Rightarrow h\nu = mc^2 = 0,5 \text{ keV}$$

massa e riposo di  $e^\pm$

L'energia del singolo raggi  $\nu$  ha la stessa  $\nu$  uguale alla massa  
di riposo dell'elettrone (= a quella del positrone)

$$\nu = \frac{mc^2}{h} = \frac{0,5 \text{ keV}}{h}$$

la frequenza  $\nu$  fissata

Calcoliamo il  $Q$  di un decadimento  $\beta^-$

$$\beta^-) Q_{\beta^-} = [M_N(^A_Z X') - M_N(^{Z+1}_{Z+1} X) - mc]c^2$$

$\downarrow$   
massa nucleare

mc nelle tabelle abbiamo la massa atomica

$$Q_{\beta^-} = [M_A(^A_Z X') - Zmc]c^2 - [M_A(^{Z+1}_{Z+1} X) - (Z+1)mc]c^2 - mc^2$$

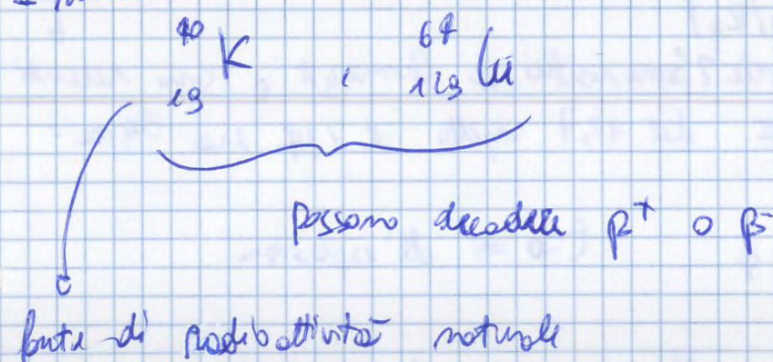
$$Q_{\beta^-} = [M_A(^A_Z X') - M_A(^{Z+1}_{Z+1} X)]c^2$$

$\downarrow$   
trascuriamo l'energia  
di legame degli  
elettroni (grado rispetto  
ai keV della massa)

Quando  $A$  è pari, se parto da pari-pari, ottengo un nucleo di "pari-dispari" dopo il decadimento (e viceversa). Per  $A$  pari, il numero di "pairing" è diverso da zero (ho due parate diverse per tutti pari-pari o dispari-dispari). Anche qui possiamo capire quali sono i nuclei stabili. I decadimenti avvengono generalmente per perdere un nucleo, che non è stabile, verso il nucleo delle parate (nucleo stabile e fissato  $A$ ). Decadimento  $\beta^+$  → uno smacco e decadimento  $\beta^-$  → uno smacco. Il Cediamo per decidere domande fai un doppio decadimento  $\beta^+$ , che è estremamente improbabile. Nuclei del genere hanno un tempo di vita molto lungo anche se sono instabili e sono considerati stabili perché il decadimento è improbabile.

molto

I nuclei



Per quanto tempo può tenere in frigo lo smaltibile effettuato il  
smaltibile risultato non potrà redibettato?

$$A_0 = 5600 \text{ Bq}$$

$$A(t_F) = \frac{A_0}{10} = A_0 e^{-\lambda_{137} t_F}$$

ossuniamo da le  
cause si è (temperatu)

$t_F \rightarrow$  tempo in frigo

$$\lambda_{137} t_F$$

$$e^{-\lambda_{137} t_F} = 10$$

$$t_F = \frac{T_{1/2}^{137}}{0,693} \ln 10 \approx 100 \text{ Y}$$

### Esercizio

metodo di datazione con il  $^{14}\text{C}$  (altra applicazione del decadimento  $\beta$ )

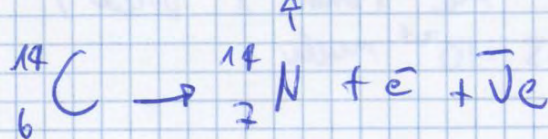
$$^{14}\text{C} \rightarrow T_{1/2} = 5730 \text{ anni}$$

↓

datazione di sostanze organiche (del punto di vista analogico)

$^{12}_6\text{C}$  stabile  
nucleo simmetrico  
stabili!

$^{14}_6\text{C}$  instabile, decade  $\beta^-$   
(diminuire il n di neutroni)



nell'atmosfera terrestre  
nelli molecule di anidride carbonica

$$\frac{N(^{14}\text{C})}{N(^{12}\text{C})} = 1,3 \cdot 10^{-12}$$

considernato costante in buone approssimazioni  
2 anni, per un caso fortuito!

Questa impetta  $\sqrt{N}$  ha un numero quasi uguale di  $^{14}\text{C}$  che decadono  
da  $^{14}\text{C}$  prodotti da raggi cosmici da anidride sulla atmosfera

Nei decadimenti  $\beta$  non vi sono stati finali che non hanno nulla a che fare con lo stato iniziale, infatti li abbiamo modellati con dissoluzione del nucleo in un nucleo figlio e le particelle  $\beta$ .

Nei decadimenti  $\beta$  invece ci sono stati finali che non hanno nulla a che fare con lo stato iniziale, vengono fuori infatti prodotti positroni, neutrini e neutrino che non costituivano nello stato iniziale  $\rightarrow$  è un indice che l'interazione è di natura diversa rispetto all'interazione nucleare che mette in tensione forte  $\rightarrow$  i presenti interazioni deboli.

Una proprietà generale ci dice che se in un decadimento ~~debole~~ vengono coinvolte particelle dette Leptoni, quindi i due decadimenti deboli, le parità non li conservano.

Decadimenti  $\beta$

$$\begin{pmatrix} e^- \\ \mu^- \\ \tau^- \end{pmatrix} \begin{pmatrix} \bar{e} \\ \bar{\nu}_\mu \\ \bar{\nu}_\tau \end{pmatrix} \text{LEPTONI}$$

Decadimenti  $\beta \rightarrow$  interazione nucleare forte

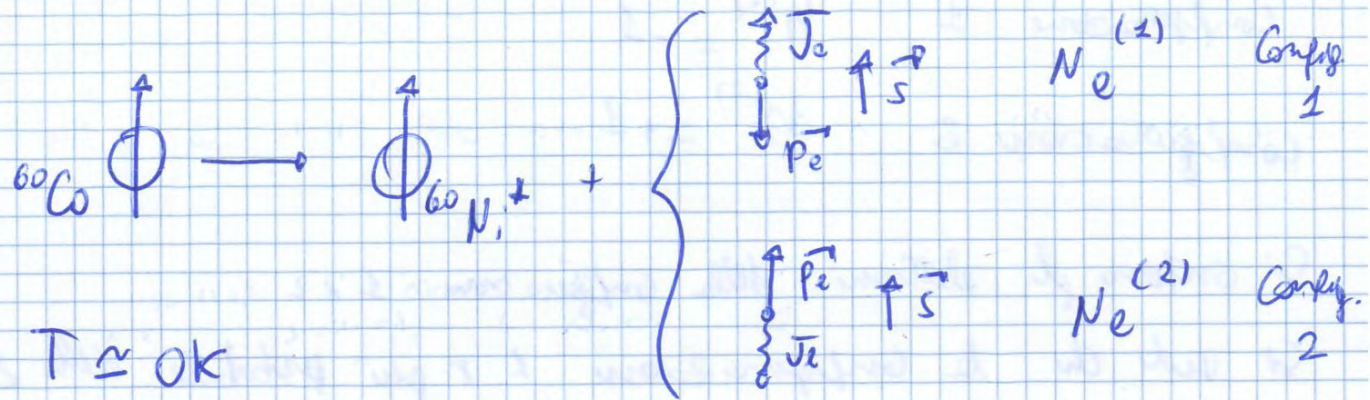
Decadimenti  $\beta \rightarrow$  interazione nucleare debole

Yang e Lee nel 1956 si affermano di verificare le VIOLAZIONI nella PARITÀ.

Parità  $\rightarrow$  operatore  $\hat{P}$   
di parità

$$\hat{P} \Psi(\vec{r}) = \Psi(-\vec{r})$$

Si invertono le coordinate



$N_e^{(i)}$  = n° di elettroni nelle configurazioni  $i$ .

Direzioni di risparmio: quelle dello spin  $\vec{T} \vec{S}$

L'operatore di parità sulle quantità di moto  $\vec{P}$  non tocca  $-\vec{P}$ :  $P(\vec{P}) = -\vec{P}$

Processo di inversione di parità = processo di inversione spaziale

L'operatore di parità applicato allo spin, non lo modifica

$$P(\vec{S}) = \vec{S}$$

$\vec{S}$  vettore tipo associabile (non si modifica se si modifica il coordinate)

$\vec{P}$  vettore di tipo polar (cambia se cambiano le coordinate)

ELICITÀ

$$h = \frac{\vec{S} \cdot \vec{P}}{|\vec{S} \cdot \vec{P}|}$$

$\vec{h}$  uno vettore -

vettore

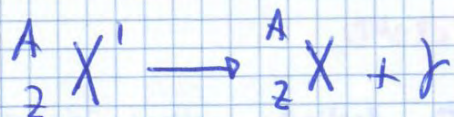
$\vec{h}$  una delle proprietà fondamentali  
delle particelle elementari

$h$  ha cambiato segno per inversione delle coordinate spaziali,  
quindi quando applichiamo l'operatore di parità.

## DECADIMENTI GAMMA

Avviene quando un nucleo eccitato ritorna nello stato non eccitato emettendo raggi  $\gamma$ .

L'energia dello stato iniziale minore dell'energia dello stato finale dei approssimativamente l'energia del raggio  $\gamma$ .



CONSERVAZIONE ENERGIA

$$M_{X'} c^2 = M_X c^2 + K_X + K_\gamma$$

$$K_\gamma \underset{(m_\gamma=0)}{=} E_\gamma$$

CONSERVAZIONE QUANTITÀ DI MOTORE

$$\vec{O} = \vec{P}_X + \vec{P}_\gamma$$

Il numero del nucleo  $X$  è trascurabile  $\Rightarrow S_X \ll S_\gamma$

$$K_X = \frac{P_X^2}{2M_X} = \frac{P_\gamma^2 c^2}{2M_X c^2} = \frac{E_\gamma^2}{2M_X c^2}$$

queste quantità  
sono molto piccole

ESEMPIO

$$E_\gamma \approx 2 \text{ MeV} , A = 50 \quad ; \quad K_X \approx 43 \text{ eV}$$

$K_X$  è 5 ordini di grandezza minore di  $E_\gamma$ !

$$E_\gamma \approx (M_{X'} - M_X) c^2 = Q$$

le lunghezze d'onda ~~dei~~ dei raggi  $\gamma$  sono di ordine di quelle dei raggi  $\gamma$ ! (Energia dell'ordine di MeV)

Sono onde estremamente ionizzanti! Ionizzano la metà

quando entro a contatto con esse.

$$(E = h \cdot \nu > 12,4 \text{ eV}) \rightarrow \text{onda ionizzante}$$

per

Si definisce quantità di energia equivalente

$$1 \text{ Sv} = 1 \text{ Gy} \cdot F_Q = 100 \text{ rem} \quad (\text{Sv} \rightarrow \text{Soviet})$$

Dose equivalenti raccomandate (escluse le sostanze tossiche): 2 mSv

### RISON

Il Rison è la principale fonte di radiazione naturale.

Il Rison è un gas radioattivo.

Per il pericolo perché le particelle di prodotti primari sono sub polveri contenuti e basta un leggero d'urto a sciamarsi, il pericolo quando viene inalato, quando si deposita l'organismo e deposita nell'organismo.

Quando vi è un terremoto, vi è un picco di emissione di raggi  $\gamma$ , dato che il Rison è contenuto nelle rocce.

### ESEMPIO

Tecnico di laboratorio esposto a radiazione nucleare:

$$- M = 70 \text{ kg}$$

- esposto ad una sorgente di  $^{60}_{27}\text{Co}$  per  $\Delta t = 4 \text{ h/d}$  (ogni giorno)

$$^{60}_{27}\text{Co} \rightarrow \left\{ \begin{array}{l} 1,33 \text{ MeV} \\ 1,17 \text{ MeV} \end{array} \right.$$

dusce con due raggi  $\gamma$ :  
doppia emissione

In totale somma 2,50 MeV.

$$A_{Co} = 40 \text{ mCi}$$

$$1 \text{ Ci} = 3,7 \cdot 10^{10} \text{ Bq}$$

Calcolo fatto nella RADIAZIONE IN UN LABORATORIO

## INTERAZIONE DELLA RADIAZIONE CON IL MATERIA

$$\text{Il rapporto di area è } \frac{S_{\text{nuovo}}}{S_{\text{atomo}}} \approx \frac{10^{-28} \text{ m}^2}{10^{-20} \text{ m}^2} \approx 10^{-8}$$

Quando le particelle incidenti entrano in contatto con le matrice, vi è una perdita graduale dell'energia che produce ionizzazione, cioè rottura del legame atomico.

Se  $M_e C^2 / p_{\text{particella}} > K$  è come una "palla di cannone" che colpisce gli elettroni, ionizza gli atomi. La perdita di energia è graduale. Ci vogliono molte ionizzazioni per far perdere tutta l'energia.

Se  $M_e C^2 < K$  la situazione è radicalmente diversa! Le particelle leggere incidente cedono tantissime energie cinetiche in un solo

frontale con un altro elettrone. Le particelle incidente per addirittura fermarsi e cedere tutta l'energia cinetica. La particelle incidente ha una perdita brusca di energia per fermamento

→ BREMSTRAHLUNG (perdita di energia per radiazione)

Questo fenomeno esiste per tutti i particelle pesanti ma è trascurabile! Vogliamo calcolare la perdita di energia massima trasferendolo in prima approssimazione agli elettroni liberi.

Le perdite di energia dati più belle particelle incidente sono seguite dall'elettrone alpino.

$$| \Delta K |_{\text{max}} = \frac{\Delta p^2}{2 M_e}$$

Intero frontale  
(classicamente)

$$\left\{ \begin{array}{l} \frac{1}{2} M_0 v^2 = \frac{1}{2} M_0^{-1} v^2 + \frac{1}{2} M_e v_e^2 \\ M_0 = M_0^{-1} + M_e v_e^{-2} \end{array} \right.$$

$$\int F_y dx = \frac{ze^2}{2\pi b \epsilon_0} = \frac{2ze^2}{4\pi \epsilon_0 b}$$

$$\int F_y dx = \int F_y \delta t$$

$$P_e = \int F_y dt \approx \frac{2ze^2}{4\pi \epsilon_0 b \delta t}$$

$$\frac{P_e^2}{2me} = \frac{2z^2 e^4}{(4\pi \epsilon_0)^2 b^2 \delta t^2 m_e}$$

5 espressione momenta costante  
→ 5 delle particelle pesante nel moto

Stime delle quantità di moto  
segistrate dall'elettrone più  
l'interazione con le particelle pesanti

Abbiamo studiato l'interazione con un singolo elettrone nella matrice.

Ogni materiale è caratterizzato da una certa densità di elettroni  
(N elettroni per unità di volume =  $N_e = \frac{N_A Z}{A}$  =  $Z \cdot N$  atomi)

quantià di elettroni nel volumetto infinitesimo  $db dx$ :

$$n_e = 2\pi b \delta t db dx$$

$$-\frac{dK}{dx} = -\frac{dK}{dx} = \int_{b_{\min}}^{b_{\max}} \frac{2z^2 e^4 n_e Z}{(4\pi \epsilon_0)^2 b^2 \delta t^2 m_e} 2\pi b db$$

b<sub>max</sub> → particelle con z pesanti  
 b<sub>min</sub> → degli atomi della matrice

b<sub>max</sub> → Velocità limite di E che si può trasferire (non andiamo a E → ∞)

b<sub>min</sub> → V' è un b per il quale l'energia non è sufficiente per la ionizzazione

$$-\frac{dK}{dx} = \frac{4\pi z^2 e^4 N_e Z}{(4\pi \epsilon_0)^2 \delta t^2 m_e} \cdot \ln\left(\frac{b_{\max}}{b_{\min}}\right)$$

$-\frac{dK}{dx} \propto Z^2$ , ma aumenta di 100 volte

## CURVA DI BRAGG

Rappresenta il n. di ionizzazioni in funzione della distanza percorso nel mezzo.

Le particelle entra nel mezzo e perde energia gradualmente, ionizzando gli atomi. Entro in profondità. Ionizzando perde energia e la sua velocità diminuisce. Ad un certo punto, riesce ad un certo velo di energia (ad una certa distanza), le probabilità di ionizzazione va bruscamente a zero: le particelle l'arriverà al minimo velo di  $J$  che può raggiungere le ionizzazioni. Nell'intorno di  $J_{\text{min}}$   $\bar{R}$  è un massimo di ionizzazioni, il numero cessa rapidamente e dopo il picco le ionizzazioni vanno rapidamente a zero.  $\rightarrow$  Poco di Bragg

Possiamo calcolare il velo medio delle distanze percorse nel mezzo delle particelle:

$$\bar{R} = \int_0^R dx = \int_{K_0}^0 \frac{dx}{dk} dk = \int_0^{K_0} \left( -\frac{dk}{dx} \right)^{-1} dk \approx C \int_0^{K_0} k dk \approx C' K_0^2$$

$\downarrow$   
 $\propto \frac{1}{v^2}$

tengono il termine logaritmico

Dal punto di vista empirico:

$$-\frac{dk}{dx} \approx C_2 k^{-\lambda} \quad \lambda \neq 1$$

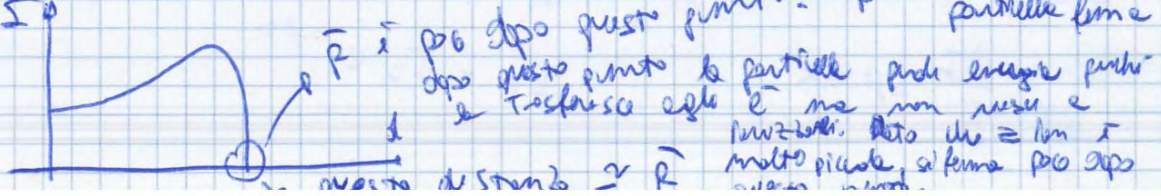
pochi cui il termine logaritmico

$\lambda \approx 0,8$

Il termine logaritmico diminuisce di:

$$\bar{R} \approx K_0^{1+\lambda}$$

MB



μ dipende dal m<sub>c</sub> e dagli effetti fisici che vengono nel m<sub>c</sub>

$$\mu = \mu_c + \mu_e + \mu_p$$

coefficiente di attenuazione  
lineare

effetto  
Compton

effetto fotoelettrico → Prodotto di oppure

3 fenomeni che fanno perdere energia!

effetto Compton e effetto fotoelettrico avvengono in maniera

molto simile ma l'effetto Compton avviene ad alte energie,  
con elettroni liberi.

A basse energie prevale l'effetto fotoelettrico, poi prevale l'effetto Compton e per alte energie ( $E \gg 1 \text{ MeV}$ ) prevale l'effetto di produzione di oppure:  $\gamma \rightarrow e^+ + e^-$

$$I = I_0 e^{-\mu x} = I_0 e^{-\left(\frac{\mu}{\rho}\right) \rho x}$$

$\frac{\mu}{\rho}$  = coefficiente di attenuazione di massa

$\rho$  = densità volumica di massa

PRODUZIONE DI OPPURE ELETTRONE - POSITRONE

$$E^2 = p^2 c^2 + m^2 c^4$$

Il fatto che negli stadi di eccitazione si stenti ad energie negative  $\rightarrow$  occupati degli elettroni  $\rightarrow$  possono ad uno stadio ad energie positive  $\rightarrow$  occupati dei positroni

$$-(-e) = e^+$$

$$-(-M_e c^2) = M_e c^2$$

Ma allora le nature i sono stabili, non decadono, poiché gli stadi a E negativa sono tutti occupati da elettroni

conservazione energia

$$h\nu = K_e^- + K_{e^+} + 2M_e c^2$$

conservazione quantità di moto

$$\bar{p}_\nu = \bar{p}_{e^-} + \bar{p}_{e^+}$$

disegnamento  
sistema passi finali

si passa ad uno  
stato a E negativa

Esercizi~~Biologia~~

1) Un operaio con  $M=85\text{kg}$  ha ingerito  $M_{\text{Pu}} = 2,5\text{mg}$  ( $^{239}\text{Pu}$ )

$$T_{1/2} = 27\text{ (00) Y}$$

Il Pu divide  $\rightarrow$  con  $K_2 = 5,2\text{ MeV}$ ,  $FQ=13$

Il Pu risiede nel GPO per  $\Delta t = 17\text{ h}$ . Stimiamo che il 95% delle particelle  $\rightarrow$  rimanga nel GPO. Vogliamo stimare la dose biologica che l'operaio riceverà.

Nell'intervalle  $\Delta t > T_{1/2}$  si può considerare costante la messa all'Photonib.

$$N(\Delta t) = N_0 e^{-\lambda \Delta t}$$

Noturni all'istante  $\Delta t$

h diluimenti  $N_0 - N(\Delta t)$

$$N_0 = \frac{6,02 \cdot 10^{23} \text{ mol}^{-1} \cdot 2,5 \cdot 10^{-3} \text{ g}}{244 \text{ g/mol}} = 6,2 \cdot 10^{18} \text{ Atomi}$$

$$\lambda = \frac{\ln 2}{T_{1/2}}$$

$$N_0 - N(\Delta t) = 2,5 \cdot 10^{11}$$

$$E_d = 0,95 \cdot 2,5 \cdot 10^{11} \cdot 5,2 \text{ MeV} \cdot 1,6 \cdot 10^{-13} \frac{\text{J}}{\text{MeV}} \approx 0,2 \text{ J}$$

$$\text{Dose} = \frac{E_d}{M} = 2,3 \text{ mGy}$$

$$\text{Dose EQUIVALENTE} = 2,3 \text{ mGy} \cdot 13 \approx 30 \text{ mSv}$$

## RIVELATORI DI PARTICELLE

Il meccanismo di base è sempre lo stesso per i vari rivoltori di particelle: si mette in focus di particelle (elettroni da un acceleratore) su un bersaglio impedito per scontrarsi. Studiamo le proprietà, grazie allo ~~possibile~~ studio del fascio dopo il voto, indotto da un rivelatore. Le particelle devono avere una energia tale che  $\lambda = \frac{h}{P}$  per poter scontrarsi il bersaglio.

$\lambda = \frac{h}{P}$   
relazione di DeBroglie

tempo molto  
in permanenza

### RIVELATORI A GAS

#### CAMERAT DI IONIZZAZIONE

Arriva una particella ionizzante all'interno di un gas: provoca ionizzazioni nel gas che vengono indotte e studiate. La ionizzazione produce elettroni e ioni che migrano rispettivamente verso anodo positivo e catodo negativo (il gas è immerso in un campo elettrico). Le risposte di questo rivoltore è molto debole.

Le differenze di potenziale applicato al gas è piccolo.  
Le corrente prodotta è direttamente proporzionale all'energia delle particelle incidenti.

#### CONTATTORE PROPORTIONALE

È un rivoltore a gas diverso dalla camera di ionizzazione perché il potenziale è maggiore: gli ioni vengono maggiormente accelerati e sono a loro volta in grado di dare ionizzazioni, quindi viene amplificato il segnale. Il vantaggio sta nel fatto che il segnale è più leggibile, è orante e più intenso, anche se le correnti misurate sono ~~proporzionali~~ direttamente proporzionali all'energia di tutte le particelle incidenti.

#### CONTATTORE GEIGER

Il potenziale è ancora più elevato, abbiamo un segnale molto intenso, ma si perde l'informazione ~~legata~~ all'energia delle part. incidenti.

APPLICAZIONE MEDICA

RADIOPATIA  $\rightarrow$  utilizzo dei raggi X (radiazione esterna, raggi mandati dall'esterno sul corpo)

Si ottengono immagini studiando l'attenuazione delle radiazioni sulle matrici.

La variazione di intensità (flusso = energia per unità di tempo per unità di superficie) è proporzionale alla profondità di penetrazione.

$$\frac{dI}{I} = -\mu dl \Rightarrow \ln\left(\frac{I_1}{I_2}\right) = \int_1^2 \mu dl$$

Nel corpo i raggi X mostrano penetrazione non omogenea, con  $\mu$  diverse! ( $\mu =$  coefficiente di attenuazione)

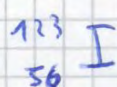
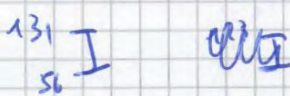
$\mu$  dipende <sup>particolarmente</sup> dalla densità e da  $Z$  (numero atomico).

Vi è un'attenuazione maggiore per osso (organi con  $Z$  elevato, ad esempio  $\text{Ca}(Z=20)$ ); solo siano fatti in prevalenza di acque ( $Z$  prob), se si vuole fare un'immagine buona d'organi che sono inclusi da osso, le radiografie non funzionano. Bisogna immettere radiazioni dell'interno  $\rightarrow$  immagini con radiazione interna

Si possono monitorare le cellule tumorali perché consumano più zucchero.

PPM  $\rightarrow$  fotomoltiplicatori

isodio:



$$T_{1/2} = 8 \text{ d}$$

prodotto in laboratorio da un coltore  
non radioattivo! Decade 8

decade  $\beta^-$ :  $^{131}\text{Xe} \sim \gamma$  (360 keV)

t

energia media 200 keV

Radio  $\rightarrow$  scarto dei protoni diffusi

Non va bene dal punto di vista diagnostico! si usano raggi  $\gamma$

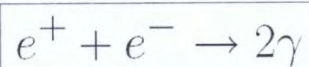
Venne utilizzato del punto di vista terapeutico  
con bambini con cellule malate: INTRARADIA  $\rightarrow$  22 mSv per kBa

## Tomografia a emissione di positroni (PET)

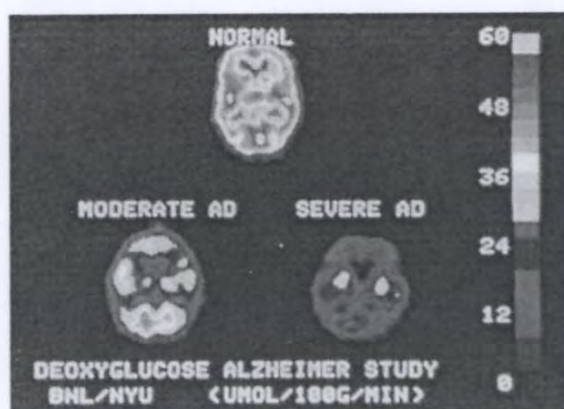
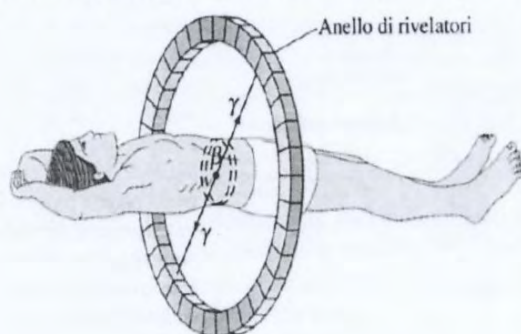
Si utilizzano degli emettitori di positroni come:



Questi isotopi vengono incorporati nelle molecole che, inalate o iniettate, si accumulano nell'organo o nella regione del corpo da studiare. Quanto un nuclide di questo tipo decade  $\beta$ , il positrone emesso percorre al massimo pochi millimetri prima di urtare un elettrone. Nella collisione positrone ed elettrone annichiliscono emettendo due raggi gamma, ciascuno con energia di 510 keV e con versi opposti.



Poiché i fotoni sono diretti sulla stessa area in versi opposti, vengono rivelati simultaneamente dagli anelli dei rivelatori che si trovano attorno al paziente, permettendo di stabilire (mediante tecniche di elaborazione tomografica) la reale posizione del radioisotopo che li ha emessi.



Scansione PET del cervello di una persona anziana sana e quella di un paziente con malattia di Alzheimer. Le regioni chiare contengono concentrazioni più alte di glucosio radioattivo, ad indicare un tasso più alto del metabolismo e quindi aumento dell'attività cerebrale.

degenerazione Coulombiana (i protoni sono più leggeri). Anche il termine di volume non cambia.

Queste variazioni possono dare un contributo positivo o negativo.

Se le trasformazioni i vantaggi se il nucleo non si muove in queste trasformazioni e si dice che si tratta di uno stato.

$$\left. \begin{aligned} E_S &= \alpha_S t^{2/3} \\ E_C &= \alpha_C Z^2 A^{-1/3} \end{aligned} \right\} \text{Sfera}$$

Superficie di un ellissoide piano  $S = 2\pi \left[ b^2 + a b \frac{k}{\sin k} \right]$

$$k = \alpha_C \cos\left(\frac{b}{2}\right)$$

Si sviluppa queste in serie (a formazione e  $\varepsilon^2$ )

$$E_S = \alpha_S t^{2/3} \left( 1 + \frac{2}{5} \varepsilon^2 + \dots \right) \quad \left. \right\} \text{ellissoide}$$

$$E_C = \alpha_C Z^2 A^{-1/3} \left( 1 - \frac{\varepsilon^2}{5} + \dots \right) \quad \left. \right\} \text{ellissoide}$$

$$\Delta E = (E_S + E_C)_{\text{ellissoide}} - (E_S + E_C)_{\text{sfera}} = \frac{\varepsilon^2}{5} \left( 2 + s A^{2/3} - \alpha_C Z^2 A^{-1/3} \right)$$

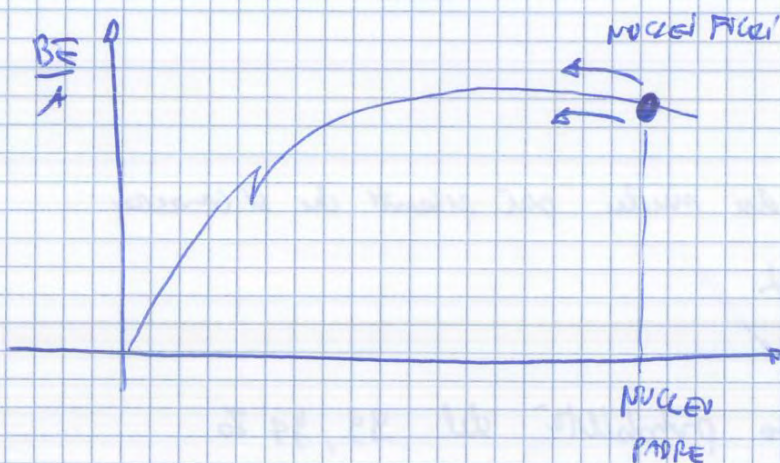
Se  $\Delta E < 0$  la deformazione è conveniente e non si forma più  $\rightarrow$  il nucleo si schiude  $\rightarrow$  FISSONE SPONTANEA

$$2 \alpha_S t^{2/3} < \alpha_C Z^2 A^{-1/3}$$

$$\frac{Z^2}{A} > \frac{2 \alpha_S}{\alpha_C} \approx 49 \quad \left( \frac{2 \alpha_S}{\alpha_C} \text{ numero ben definito e} \right) \text{costante}$$

Per questi valori di  $t \propto A$  la fissione è spontanea.

Vi è un vantaggio nella separazione dei due nuclei, ma il processo non avviene spontaneamente.



\* M Si vengono  
neutroni lenti!

M "triumfo" con  
energia critica

$$k_M \approx 9025 \text{ eV}$$

(per  $e k_B T = 25^\circ$ )

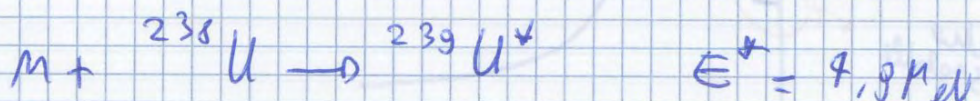
Quando il nucleo viene bombardato da un neutrino, il nucleo va in uno stato eccitato, che ha una geometria deformata.



i neutroni vengono assorbiti!

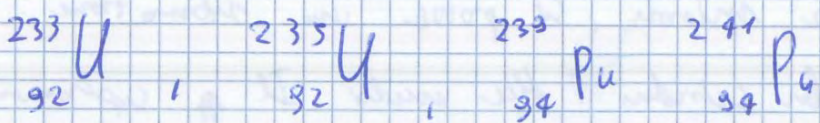
Lo stato eccitato ~~perché~~ permette di superare la barriera di potenziale; il processo è instabile e il nucleo si sciode.

La fissione dipende anche dalla struttura del nucleo bombardato.

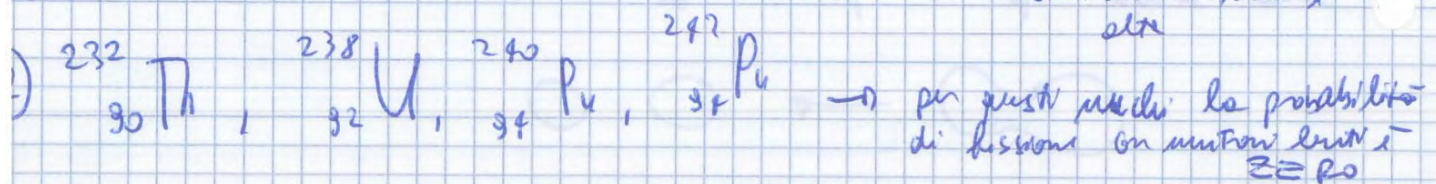


è analogo alla precedente

$E^*$  non è tale da superare la barriera di potenziale: si dissociate e forma un uno stato instabile (prossimo a quello stabile).



→ per questi nuclei la probabilità di fissione  
con neutroni lenti è alta



→ per questi nuclei la probabilità  
di fissione con neutroni lenti è  
alta

I frammenti prodotti delle fissioni non sono prevedibili.

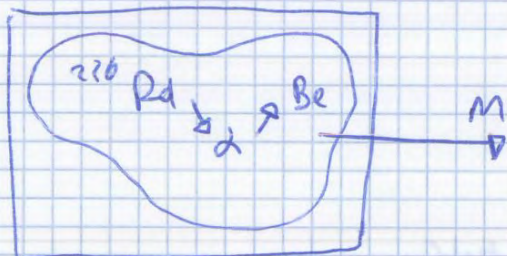
Nel grafico che rappresenta i frammenti prodotti appare in notazione due picchi. Questo prova i dati sperimentali, fenomenologici, non ha ancora spiegazione microscopica.

I neutrini emessi possono essere prodotti tramite reazione le più feroci è quella relativa alle ~~di~~ esplosioni dei neutroni:



$$Q = 5,7 \text{ MeV}$$

Le particelle che in genere vengono prodotte dal decadimento del  ${}^{226}Rb$ .



Se non sono schermati con piombo, i neutrini escono (interagiscono con le metà)

Il veleno medico di Km è  $\langle Km \rangle \approx 1 \text{ MeV}$

Si fissa una singola reazione prodotta in laboratorio, in questo caso stessa energia cinetica, ma gli  $\Delta$  non hanno sempre stessa

Velocità dato che gli nuclei sono tutti vicini, non c'è uno nello spazio vuoto (gli  $\Delta$  vengono rallentati)

Bisogna rallentare i neutrini: sono un oggetto di messa disponibile.

Il protone non va bene perché interagisce con il neutrino, mentre in pioggia le forze nucleari  $\rightarrow$  si forma il deutone.

In genere vengono rallentati con sezioni pesanti (isotopi pesanti dell'idrogeno) o carbonio.  $\rightarrow$  con nuclei leggeri

Colluttare abbastanza i neutroni e delle sezioni d'urto dei nuclei.

## REATORI A FISSIONE

Problematiche  $\rightarrow$  bisogna avere artificiamente  $^{235}\text{U}$  per portarlo da 0,7% (percentuale in natura) al 3%

### PROCESSO DI URGIMENTO

( centrifuga per separare i nuclei più leggeri, ma ci sono anche altri modi)

Problematiche relative ai neutroni:

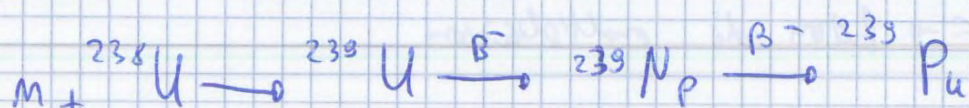
- buchi fughi di neutroni  $\rightarrow$  esiste del materiale, bisogna regolarmi
- energie dei neutroni  $\rightarrow$  bisogna rallentarli  $\rightarrow$  barri di controllo con legno, piombo e carbonio
- metodo per fermare le neutroni si sta divergendo  $\rightarrow$  si usa la cattura dei neutroni, gli nuclei con sezioni d'urto d'assorbimento di neutroni molto grandi  $\rightarrow$  CADMIUM (camere in barri di controllo)

Le reazioni di fissione liberano calore.

Il problema maggiore è lo smaltimento delle scorie, che sono radioattive.

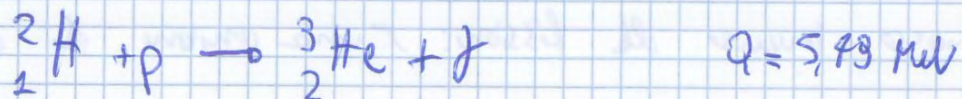
I nuclei prodotti hanno un eccesso di neutroni e decadono  $\beta$  o  $\beta^+$ .

Inoltre il combustibile nucleare  $^{235}\text{U}$  è limitato

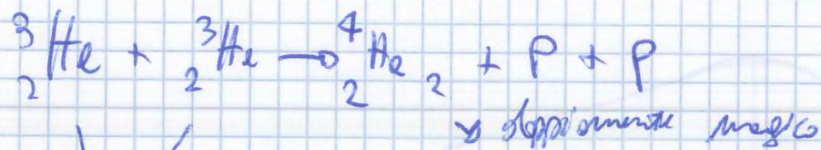


$^{239}\text{Pu}$  è un nucleo fissile. Decadrà anche e ha  $T_{1/2} = 2,4 \cdot 10^4$  anni e quindi non è rilevante, lasciando il 97% del nucleo  $^{239}\text{Pu}$  rimanente costante in un reattore a fissione.

il passo successivo è:



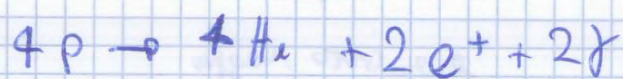
ultima fusione:



no bisogno di  
due opposte forze  
non + forza precedente

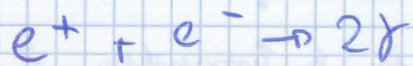
Salvo d' energia di legame

In totale



Il passo è nel mezzo: metà elementi ionizzati

Le matrice è in uno stato di plasma (l'agitazione termica è di gran lunga superiore all'energia di legame dell'elettrone nell'idrogeno)



Energie prodotte:  $0,42 \times 2 = 0,84 \text{ MeV}$

$$1,02 \times 2 = 2,04 \text{ MeV}$$

$$5,49 \times 2 = 10,98 \text{ MeV}$$

$$1286 \times 1 = 12,86 \text{ MeV}$$

$$\underline{26,72 \text{ MeV}}$$

Tanto più  $Z$  è elevato, tanto più grande energicamente avvengono i due nuclei, ~~toccando~~ vicine la repulsione coulombiana e ha' intuizione le forze nucleari.

$$M_{\odot} = 2 \cdot 10^{30} \text{ kg}$$

$$L = 4 \cdot 10^{26} \text{ W}$$

$$Q_{\text{fusion}} = 26,2 \text{ MeV}$$

$$\dot{N}_p = \frac{4 \cdot 4 \cdot 10^{26} \text{ W}}{26,2 \text{ MeV} \cdot 10^{13} \text{ J/MeV}} \approx 0,4 \cdot 10^{39} \frac{\text{W atoms}}{\text{sec.}}$$

↓

w di atomi che vengono bruciati al secondo nelle fusione

$\downarrow {}^1 \text{H}$   
protoni

$$M_H = 4,002603 \text{ g} \quad (1 \text{ u} = 1,66 \cdot 10^{-27} \text{ kg})$$

$$M_H = 1,007825 \text{ g}$$

$$4M_H - M_H = 9,048 \cdot 10^{-27} \text{ kg}$$

è la perdita di massa di una fusione

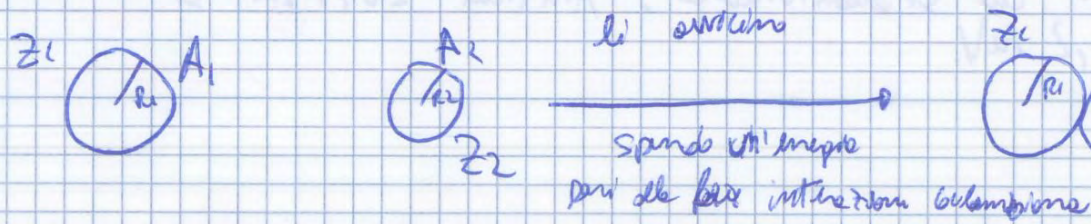
$$9,048 \cdot 10^{-27} \text{ kg} \cdot \frac{0,4 \cdot 10^{39} \text{ No}_p}{s}$$

$$\Delta M = 0,48 \cdot 10^{-10} \text{ kg/s}$$

Come avvengono le reazioni di fusione?

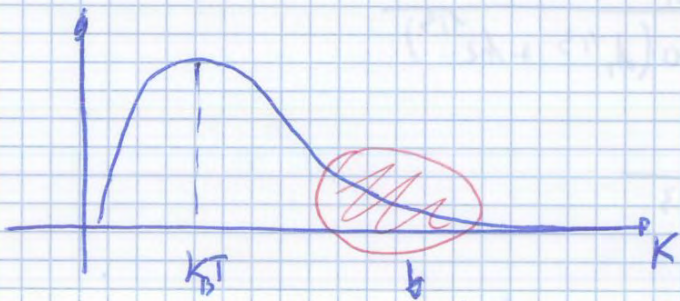
Ragioniamo classicamente.

Possiamo pensare che i nuclei interagiscono secondo la forza nucleare quando sono a contatto



Se ragioniamo da un punto di vista classico, il processo di fusione nucleare non dovrebbe mai avvenire sul solo, perché le temperature non sono sufficienti.

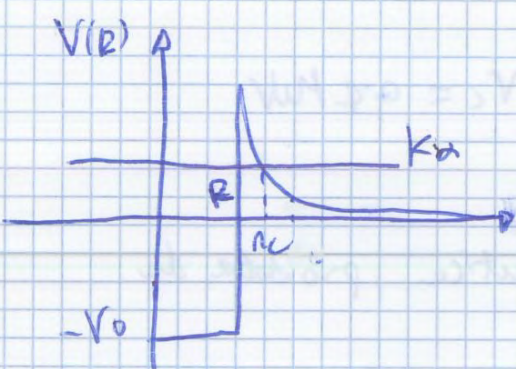
Entrano in gioco effetti quantistici e di Termodinamica statistica (distribuzione di Maxwell-Boltzmann) che rendono possibile la fusione.



c'è una falda con particelle con energia cinetica ben superiore a  $K_B T$

I due protoni per venire a contatto dovranno superare la barriera di potenziale Coulombico  
probabilità di attraversamento di una barriera di potenziale

$$T = e^{-2G} \rightarrow G = \frac{1}{h} \int_{E=0}^{E=K} \frac{n_c}{2\pi m (E - V)} dE$$



$$G \approx \frac{\pi \lambda^2 (Z-2)}{5h}$$

per il decadimento  $\lambda$

$$\text{In questo caso invece: } G = \frac{\pi \lambda^2 Z_1 Z_2}{5h}$$

Ci aspettiamo una sezione d'urto di fusione strettamente legata a  $T$ :

$$\sigma \propto e^{-2G}$$

La dipendenza di  $\sigma$  dalla dell'energia viene parametrizzata con:

$$\sigma(\varepsilon) = \frac{S(\varepsilon)}{\varepsilon} e^{-\left(\frac{\varepsilon_0}{\varepsilon}\right)^{1/2}}$$

effetto tunnel

perché  
prende in conto  
per facilitare il  
confronto con la  
misura sperimentale

$S(\varepsilon)$  fattore estetico  
dipende debolmente dall'energia  
 $S(\varepsilon) \approx S_0 \approx \text{cost.}$

Dato che  $\lambda = \frac{h}{p} \rightarrow \lambda \propto \frac{1}{\sqrt{\varepsilon}}$

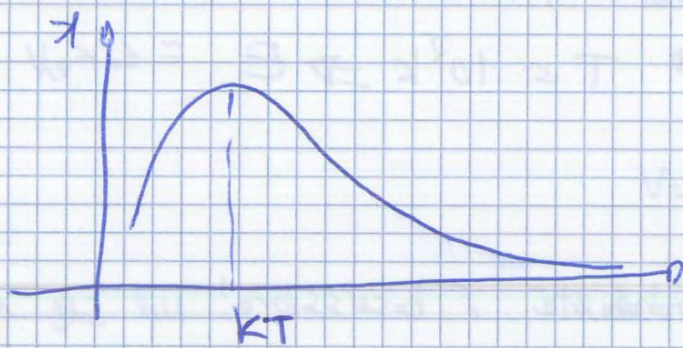
considerando l'aspetto geometrico della sezione d'urto (probabilità di entrare nel bersaglio), quindi dipendenza delle dimensioni del bersaglio, si ha:

$$\sigma \propto \lambda^2 \rightarrow \sigma \propto \lambda^2 \propto \frac{1}{\sqrt{\varepsilon^2}} \propto \frac{1}{\varepsilon}$$

— o — o — o —

L'energia cinetica media non è l'energia di tutte le particelle

DISTRIBUZIONE DI MAXWELL BOLTZMANN

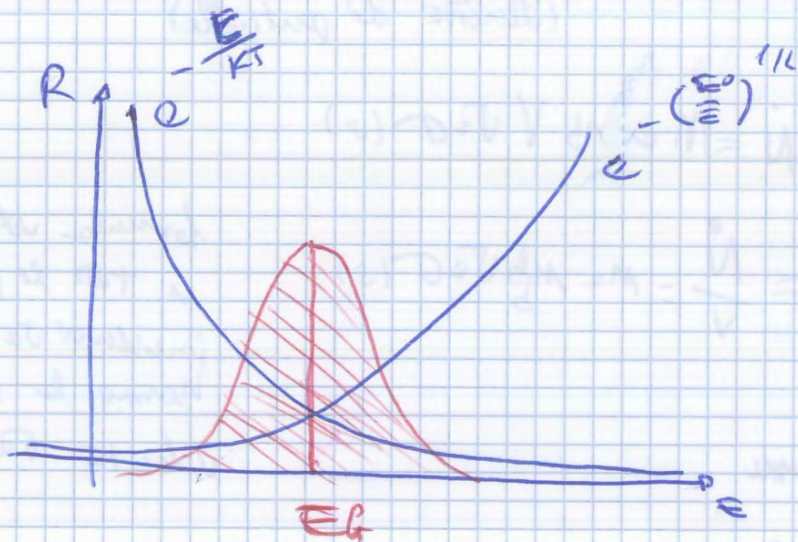


ci sono probabilità non nulle di avere particelle con energie molto superiori a  $kT$ , anche se la temperatura del sistema è  $T$ .

Le particelle nelle code hanno energie molto alte, ma più alte di  $kT$ , che del resto non è, e sono in grado di superare le barriere di potenziale. Anche se questi poteri sono pochi rispetto a quelli ad energia  $kT$ , ma esistono e dovranno farlo alla fusione.

$$= \left( \frac{8}{\pi \hbar m} \right)^{1/2} \left( \frac{1}{kT} \right)^{3/2} \int_0^{\infty} S(\epsilon) e^{-\left( \frac{\epsilon_0}{\epsilon} \right)^{1/2} - \frac{\epsilon}{kT}} d\epsilon$$

$\approx 50$



Scrivo il prodotto tra i due esponenziali e ottengo il picco.

$E_G \rightarrow$  Vabbi di energia per il quale si ha il massimo probabilità di fusione.

Nei prossimi riconosco le energie in cui è possibile la fusione.

$$E_G \mid \frac{d}{d\epsilon} \left( \frac{\epsilon}{kT} + \left( \frac{\epsilon_0}{\epsilon} \right)^{1/2} \right) = 0$$

$$\frac{1}{kT} - \frac{\epsilon_0^{1/2}}{2\epsilon^{3/2}} = 0$$

$E_G$  è il vabbi tale per cui lo sproporzionamento dell'esponente è nullo

$$\frac{E_G^{3/2}}{kT} = \frac{\epsilon_0^{1/2}}{2} \Rightarrow E_G = \left( \frac{1}{4} (kT)^2 \epsilon_0 \right)^{1/3}$$

$E_G \rightarrow$  massimo del picco di Gramm.

ESEMPIO

$$PTP, T = 2 \cdot 10^7 K, \epsilon_0 = 493 \text{ eV}, kT = 1,7 \text{ eV}$$

$$E_G = 7,2 \text{ eV}$$

L'energia libera è difficile da sfruttare perché i 17,59 MeV (Q delle reazioni) se le prende il neutrone, che è una particella neutra e interagisce poco con le materie! Il neutrone perciò mette spazio senza rubare l'energia.

$$Q = 17,6 \text{ MeV} \rightarrow K_n \approx 14 \text{ MeV}$$

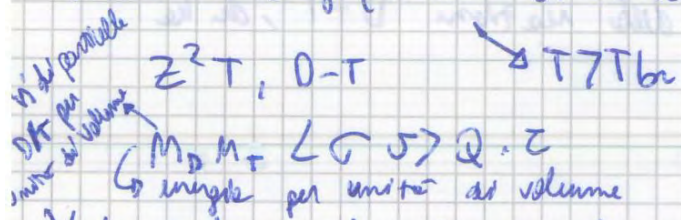
Inoltre, sempre a causa del neutrone non avete  $K_n$ , c'è un problema di sfruttamento!

### Scalatore termonucleare

La temperatura a cui avviene la fusione è di circa 200 MeV (le si calcola valutando il giro di Coulomb)

Inoltre vi è una perdita di energia a causa degli elettroni: gli elettroni vengono accelerati e fumetti nel plasma e perdono energia irradiando onde elettromagnetiche  $\rightarrow$  effetto Bremsstrahlung.

Quindi bisogna trovare ad una temperatura per le quali l'energia prodotta dalle reazioni nucleari è maggiore delle perdite di energia per Bremsstrahlung (immaginando che le reazioni avvengano con questo tipo energetico)



$T_{br} \rightarrow$  temperatura per cui le perdite per B e l'energia prodotta dalle reazioni sono uguali!

Vediamo perché che compare la perdita dovuta al bremsstrahlung in

la potenza in uscita delle reazioni nucleari ( $T_{br} \rightarrow$  interazione tra le due curva)

$\star M_D M_T \text{ } \mathcal{L} \text{ } v \text{ } Q \cdot \tau$   $\text{Energia libera delle reazioni}$

in corrispondenza di  $T$  abbiamo una energia cinetica data da un modello cinetico:

$$\star \frac{3}{2} K_B T (M_D + M_T + 2m_e)$$

$\rightarrow$  energia per unità di volume  
6.870 per mantenere il plasma  
ad una temperatura  $T$